

سُلُوكُ الْعِبَاتِ الْمَسْبُوقَةِ الْأَجْهَادِ
بِدَرَجَاتٍ إِجْهَادٍ مَتَّفَاوَتَةٍ وَتَحْمِلُهَا الْأَفْصَى

رسالة مفصلة لك

فِي مَهَنْدَسَةِ الْبِنَاءِ وَالْأَنْشَاءِ فِي الْجَامِعَةِ التَّكْنُولُوجِيَّةِ
كجزء من متطلبات نيل درجة الماجستير في الهندسة الأنشائية

مرفق

شالان سعيد عبدالرحمن

اقرب أن اعداد هذه الرسالة جرى تحت اشرافي في قسم هندسة
البناء والانشاءات - الجامعة التكنولوجية - ، وهي جزء من متطلبات
نيل درجة الماجستير في هندسة البناء والانشاءات .

التوقيع:

المشرف: الدكتور هاشم محمد سعيد عبدالوهاب
أستاذ

بناءً على التوصيات المتوفرة، ارشح هذه الرسالة للمناقشة

التوقيع:



الاسم: الدكتور العام عبدالله النوري
رئيس لجنة الدراسات العليا
لقسم هندسة البناء والانشاءات


التاريخ: / /

الموافق الى


/ /

نشهد بأننا اعضاء هيئة المناقشة اطلعنا على هذه الرسالة
وقد ناقشنا الطالب ثالان سعيد عبدالرحمن في محتوايتها وفيما له
علاقة بها فوجدناه مستوفيا لمتطلبات نيل درجة ماجستير في هندسة
البناء والانشاءات اختصاص هندسة انشائية .

التوقيع: 
الاسم: د. قيس فؤاد سرسم
مدرس
عضو
التوقيع: 
الاسم: د. د. هاشم محمد سعيد عبدالوهاب
أستاذ
عضو

التوقيع: 
الاسم: د. سعد علي الطعان
أستاذ مساعد
رئيس اللجنة

مصادقة الجامعة التكنولوجية

التوقيع: 
الاسم: الدكتور الهام عبدالله
النوري
رئيس قسم هندسة البناء
والانشاءات

التاريخ: / /
الموافق الى
/ /

بِسْمِ اللّٰهِ الرَّحْمٰنِ الرَّحِیْمِ

شكـر و تقـديـر

احمد الله غز وجل واشكره على توفيقه لانجاز هذا الجهد
ولا يسعني الا ان اقدم شكرى واعرب عن بالغ تقديرى وامتنانى
الى استاذى الفاضل الدكتور هاشم محمد سعيد عبد الوهاب للتوجيه
الرشيد والجهد العظيم الذى ابداه نحوى في كل مراحل عملى
هذا

كما واقدم شكرى الى رئيس قسم هندسه البناء والانشاءات والاساتذ
التدريسيين *

واقدم فائق شكرى الى العاملين في مختبر الخرسانه واخص بالذكر
السيد بطرس ياقو وكل من الانسه احلام والانسه سـراب
كما واشكر جميع الاخوان والاصدقاء الذين ابدوا المساعده . . .

واخيرا اتقدم بالشكـر لكل من قـدم لي نصـحا او عـونا

الخلاصة

تضمن هذا البحث دراسة سلوك العتبات المسبقة الاجهاد جزئيا (ذات الشد اللاحق والمرتبطة بالخرسانة) بدرجات اجهاد متفاوتة تتراوح بين المفرد والواحد ، وتحملها الاقصى مع مقارنة النتائج العملية مع النتائج المستحتملة باستخدام الطرق التحليلية النظرية المتوفرة وكذلك مع نتائج بعض البحوث السابقة .

اذ تضمن برنامج البحث صب وفحص اربعة عشر نموذجا لعتبات خرسانية مسندة اسنادا بسيطا بابعاد 350×175 ملم بفضاءات مافية تساوي 3000 ملم محملة بحملين مركزين على منطقة الثلث وقد توزعت النماذج الى اربعة مجاميع لدراسة تأثير المتغيرات التالية :
تغيير مساحات الحديد مسبق الاجهاد ، تغيير مساحات حديد تسليح الشد العادي ، تغيير نسب الاجهاد الجزئية وثبات التحمل الاقصى ، اضافة الى سلوك العتبات المجهددة جزئيا عندما لايتجاوز اقصى عرض للشقوق 3ر، ملم عند الاحمال الخدمية .

واظهرت نتائج البحث العملية ازدياد التحمل الاقصى بنسبة 13% بزيادة مساحة حديد تسليح الشد العادي بنسبة 50% في العتبات المسبقة الاجهاد جزئيا ، علاوة على تأثير الحديد العادي في انتظام توزيع الشقوق وتقليل مسافاتهما البيضية وعرضها . وكذلك تأثيره في زيادة العزم المطلوب لتكوين شق عرضه 3ر، ملم التي تفيد في تقليل فواقد قوة الاجهاد بحماية الحديد مسبق الاجهاد من التآكل .

ومن مقارنة النتائج العملية لهذا البحث وبحوث اخرى مع اربع طرق تحليلية نظرية تقريبية فقد ظهر بان الطرق الاربعة التي استخدمت كانت متقاربة كثيرا مع بعضها ،ولو ان افضلها كانت طريقة نعمان .

وكانت اكثر الطرق امانا لاحتماب المطيلية هي طريقة دليل تفسير الكود الامريكي .

٤٤	٢ - ٥ - ٣ حساب المطيلية
٤٦	٣ - ٥ - ٣ حساب عزم الانحناء عند شق عرضه ٣ر. ملم
٤٦	٤ - ٥ - ٣ حساب قواعد قوة الاجهاد
٤٨	الفصل الرابع :- مراحل العمل المختبري
٤٨	١ - ٤ مقدمة
٤٨	٢ - ٤ المتغيرات المعتمدة في البحث
٥٢	٣ - ٤ المواد المستعملة
٥٢	١ - ٣ - ٤ حديد التسليح
٥٢	٢ - ٣ - ٤ الاسمنت
٥٢	٣ - ٣ - ٤ الخصى
٥٤	٤ - ٣ - ٤ الرمل
٥٤	٥ - ٣ - ٤ الخرسانة
٥٤	٤ - ٤ القوالب المستعملة
٥٤	٥ - ٤ فحوص السيطرة
٥٦	٦ - ٤ اجهزة القياس
٥٧	٧ - ٤ هيكل التحميل
٥٧	٨ - ٤ المكانن المختبرية لعص نماذج السيطرة
٥٧	٩ - ٤ مراحل تهيئة النموذج
٥٧	١ - ٩ - ٤ تهيئة القوالب والتسليح
٥٨	٢ - ٩ - ٤ الصب
٥٨	٣ - ٩ - ٤ المعالجة
	٤ - ٩ - ٤ عملية تسليط الاجهاد مع ضخ مونة
٥٨	الاسمنت
٥٩	٥ - ٩ - ٤ تهيئة النماذج وفحصها
٦٠	الفصل الخامس :- نتائج العمل المختبري
٦٠	١ - ٥ مقدمة
٦٠	٢ - ٥ التحمل الاقصى للعتبات وكفاءتها

٦١	٣ - ٥ سلوك النماذج في اثناء التحميل
٦١	١ - ٣ - ٥ المجموعة الاولى أ
٦٧	٢ - ٣ - ٥ المجموعة الثانية ب
٦٩	٣ - ٣ - ٥ المجموعة الثالثة ج
٧٠	٤ - ٣ - ٥ المجموعه الرابعة د
٧١	٤ - ٥ نتائج الانفعالات في الخرسانة والحديد
٧٢	٥ - ٥ نتائج الهطول مع علاقه الهطول بالحمل الكلي
٧٣	٦ - ٥ التفوس وعلاقته بعزم الانحناء
٧٣	٧ - ٥ نتائج التشقق
٧٣	٨ - ٥ نتائج فحوص السيطرة
٩٦	<u>الفصل السادس :- تحليل النتائج</u>
٩٦	١ - ٦ مقدمة
٩٦	٢ - ٦ تاثير المتغيرات في التحمل الاقصى والكفاءة
٩٦	١ - ٢ - ٦ تاثير نسبة الحديد مسبق الاجهاد
٩٧	٢ - ٢ - ٦ تاثير نسبة حديد الشد العادي
٩٩	٣ - ٦ تاثير المتغيرات في التشقق
	١ - ٣ - ٦ تاثير نسبة الحديد مسبق الاجهاد في
٩٩	التشقق
١٠٣	٢ - ٢ - ٦ تاثير نسبة الحديد العادي في التشقق
١٠٧	٤ - ٦ تاثير المتغيرات في انفعالات الحرسانة
١٠٨	٥ - ٦ تاثير المتغيرات في الهطول
١١٠	٦ - ٦ تاثير المتغيرات في التفوس
١١٤	٧ - ٦ مقارنة النتائج العملية مع النظرية
١١٩	<u>الفصل السابع :- الاستنتاجات والبحوث المقترحة</u>
١١٩	١ - ٧ الاستنتاجات
١٢١	٢ - ٧ البحوث المقترحة

قائمة الرموز

الرموز	التعريف
A	مساحة الخرسانة المحيطة بحديد تسليح واحد في منطقة الشد .
A _{ns}	مساحة حديد تسليح الشد العادي
A _{ps}	مساحة الحديد مسبق الاجهاد
A _s	المساحة الكلية للحديد (الحديد مسبق الاجهاد + حديد تسليح الشد العادي .
A _t	المساحة المتعرضة لاجهادات الشد من مقطع الخرسانة .
A _s '	مساحة حديد تسليح الانضغاط.
A _c	مساحة المقطع الخرساني.
b	عرض النموذج .
β_1	النسبة بين عمق مستطيل الاجهاد المكافئ الى عمق محور التعادل.
c	عمق محور التعادل عند الفشل مقاساً من الشريحة المعرضة لاقصى انضغاط.
C _b	المسافة من الشريحة العليا للمقطع المعرضة لاقصى اجهاد انضغاط الى محور التعادل في حالة تعادل الانفعال .
C _s	عمق محور التعادل بتأثير حديد الشد العادي فقط.
C _s '	عمق محور التعادل بتأثير حديد الانضغاط العادي فقط.
C _{sf}	عمق محور التعادل بتأثير الحديد العادي والحاجة البارزة من المقطع (Flange) .

عمق محور التعادل بتأثير حديد مسبق الاجهاد فقط.	C_p
سمك الغطاء الخرساني.	C_s
عمق الحديد (مسبق الاجهاد + العادي) مقاساً من اعلى شريحة .	d
العمق المؤثر الى مركز قوة الشد .	d_e
عمق الطبقة (i) من الحديد .	d_i
عمق الحديد مسبق الاجهاد .	d_p
عمق حديد الشد العادي .	d_s
عمق مركز قوة الشد باعتبار $f_{pu}=f_{ps}$.	d_u
معامل مرونة الحديد والخرسانة على التوالي .	E_c, E_s
مقاومة تحمل انضغاط الاسطوانات والمكعبات الخرسانية .	f_{cu}, f_c
الاجهاد في حديد الشد العادي .	f_{ns}
الاجهاد المؤثر (ماعدا الفواقد) .	f_{pe}
الاجهاد الاقصى في حديد مسبق الاجهاد عند فشل النموذج .	f_{ps}
اجهاد الخضوع في الحديد العادي وحديد مسبق الاجهاد على التوالي .	f_{py}, f_y
اقصى اجهاد شد مباشر لحديد مسبق الاجهاد .	f_{pu}
اقصى اجهاد شد مباشر للحديد العادي .	f_{su}
مقاومة انفلاق الشد في الخرسانة .	f_t
عمق المقطع الخرساني .	h
عامل لتعديل قيم معادلات القطع الزائد والقطع المكافيء على التوالي لنسب مختلفة من f_{py}/f_{pu} .	K_p, K_n
طول النموذج .	L
عزم الانحناء بتأثير الاحمال الخدمية .	M_s
عزم التشقق الاولي .	M_{cr}
التحمل الاقصى .	M_n

الحمل المسلط من جهاز الفحص.	P
معامل تسليح الحديد مسبق الاجهاد.	W_p
معامل تسليح حديد الانضغاط العادي.	W'
معامل تسليح حديد الشد العادي.	W
معامل التسليح الكلي.	\bar{W}
نسبة حديد مسبق الاجهاد.	P_p
نسبة حديد التسليح العادي.	P_s
التقوس .	
نسبة الفواقد .	η
اقصى انفعال انضغاط للخرسانة .	ϵ_{cu}
الانفعال في الحديد .	ϵ_s
الانكماش الطييق .	ϵ_{sh}
فواقد قوة الاجهاد بتأثير الارتخاء .	f_r

المصطلحات

Advantages	مميزات
Anchorage	تثبيت
Beam	عتبة
Behaviour	سلوك
Bending moment	عزم انحناء
Bonded	مرتبط بالخرسانة
Brittle failure	فشل قصيف
Buckling	التواء
Camber	تحذب
Composite sections	مقاطع مركبة
Compressive strain	انفعال انضغاط
Compressive zone	منطقة الانضغاط
Concentrated load	احمال مركزة
Concentric	تطابق المراكز
Concrete cover	الغطاء الخرساني
Confinement	تقييد
Continuous	مستمر
Crack	شق ، فطر
Creep	زحف
Curvature	تقوس
Curvature ductility	مطيلية التقوس
dead load	احمال ميتة
Decompression	رفع الانضغاط عن الخرسانة
Deformation	تشوه
Deformed	مخزز

Deflection	هطول
Natural axis	محور التعادل
Nominal	اسمي
Nonlinear analysis	التحليلات اللاخطية
Parabolic	قطع مكافئ
Parametric studies	دراسات معاملية
Partially prestressed	مسبق الاجهاد جزئيا
Partial prestressing ratio	نسبة الاجهاد الجزئي
Pilot test	فحص تجريبي
Precompression	مسبق الانضغاط
Prestressing	الاجهاد المسبق
Prestressing index	معامل الاجهاد
Pretensioned	مسبق الشد
Post-tensioned	شد لاحق
Recovery	استرجاع
Reinforcing index	معامل التسليح
Relaxation	الارتخاء
Shrinkage	انكماش
Side effects	تأثيرات عرضية
Sieve analysis	التحليل المنخلي
Static	ساكن
Statistics	احصاء
Statically determinate	محدد سكونا
Stirrups	ركائب - اطواق
Strain compatibility	توافق الانفعالات
Strain gauge	مقياس انفعال
Structural	انشائي
Superposition	تراكب

Symmetric	متناظر
Degree of prestress	درجة الاجهاد
Details	تفاصيل
Dial gauge	مقياس قرصي
Design aids	معينات تصميمية
Disadvantages	محددات
Distributed loads	احمال منتظمة
Effective force	القوة الفعالة (ماعداء الفواقد)
Efficiency	كفاءة
Element	عنصر
End anchorage	تشبيث النهايات
Equilibrium	توازن
Experimental	عملي ، مختبري
Flange	شفة او حافة بارزة
Fully prestressed	مسبق الاجهاد كلياً
Grouting	حقن
Hyperbolic	قطع زائد
Improvement	تحسين
Inelastic hinge rotation	الدوران غير المرن للمفصل
Limit state	الحالة الحدية
Live loads	احمال حية
Losses	فواقد
Lower bound	الحد الادنى
Measures	اساليب عمل
Method of loading	طريقة تحميل
Modulus of Elasticity	معامل المرونة
Modulus of rupture	معامل التصدع
Time dependent	معتمدة على الزمن

Ultimate capacity	التحمل الاقصى
Ultimate tensile strength	مقاومة الشد القصوى
Prestressed wires	اسلاك مسبقة الاجهاد
Working loads	احمال خدمية
Yielding of reinforcement	خضوع الحديد

قائمة الاشكال

<u>الصفحة</u>	<u>العنوان</u>	<u>الشكل</u>
	تفاصيل العتبات كما في بحث	(٢-١)
٥	Hutton and Loov	
٦	تفاصيل العتبات كما في بحث	(٢-٢)
	stevens	
	تفاصيل العتبات كما في بحث	(٢-٣)
٨	Bishara and Brar	
	العلاقة بين الاحمال والهطول كما في بحث	(٢-٤)
٨	Bishara and Brar	
	تفاصيل العتبات كما في بحث	(٢-٥)
٩	Naaman and Harajli	
	مقارنة بين النتائج العملية لبحث	(٢-٦)
١٠	Naaman and Harajli مع طرق نظرية	
	اساس تحليل الاجهادات على المقطع المتشقق	(٢-٧)
١٩	كما في بحث Nilson	
	مقطع الخرسانة المتشقق المتعرض لعزم	(٢-٨)
٢٢	انحاء متناظر كما في بحث Nielsen	
	القوى التي يجب ان تسلط في مستوى الحديد	(٢-٩)
	لرفع الانضغاط عن الخرسانة كما في بحث	
٢٤	Suri and Dilger	
	محصلة الاجهادات عند التحميل الاقصى كما	(٢-١٠)
٣٤	في بحث Bachmann	
٣٩	العلاقة بين تعاريف شدة الاجهاد	(٣-١)
٤٠	تعريف حالة رفع الانضغاط عن الخرسانة	(٣-٢)
	ابعاد وتسلح نماذج البحث مع موقع ضخ	(٤-١)
٤٩	مونة السمنت	

- (٤-٢) طريقة تحميل النماذج مع مواقع أجهزة القياس
- ٤٩
- (٤-٣) علاقة الاجهاد والانفعال للحديد المستعمل
- ٥٣
- (٤-٤) القالب قبل صب الخرسانة
- ٥٥
- (٥-١) فشل وتطور التشققات للنماذج (A₆ - A₁)
- ٧٤ (C₂ , C₁)
- (٥-٢) فشل وتطور التشققات للنماذج (D₂,D₁) , (B₄-B₁)
- ٧٥
- (٥-٣) توزيع الانفعالات للمجموعة (٦) بعد اجهاد الحديد مباشرة
- ٧٦
- (٥-٤) توزيع الانفعالات للنماذج بعد اجهاد الحديد مباشرة
- ٧٧
- (٥-٥) توزيع الانفعالات للنموذجين D₂,D₁ بعد اجهاد الحديد مباشرة
- ٧٨
- (٥-٦) تغيير الانفعال مع عزم الانحناء للنموذج A₄
- ٧٩
- (٥-٧) تغيير الانفعال مع عزم الانحناء للنموذج A₅
- ٨٠
- (٥-٨) تغيير الانفعال مع عزم الانحناء للنموذج B₂
- ٨٠
- (٥-٩) تغيير الانفعال مع عزم الانحناء للنموذج C₁
- (٥-١٠) توزيع الانفعالات لمستويات عزوم مختلفة للنماذج A₄-A₁
- ٨٦
- (٥-١١) توزيع الانفعالات لمستويات عزوم مختلفة للنماذج A₆,A₅
- ٨١
- (٥-١٢) توزيع الانفعالات لمستويات عزوم مختلفة للنماذج B₄-B₁
- ٨٣
- (٥-١٣) توزيع الانفعالات لمستويات عزوم مختلفة للنماذج (D₁,C₂,C₁)
- ٨٤
- (٥-١٤) توزيع الانفعالات لمستويات عزوم مختلفة للنموذج D₂
- ٨٥

- (٥-١٥) تغيير الانفعال مع الاحمال في الحديد
 ٨٦ العادي للنموذج (A3)
- (٥-١٦) تغيير الانفعال مع الاحمال في الحديد
 ٨٦ العادي للنموذج (A4)
- (٥-١٧) علاقة الهطول بالاحمال للنماذج (A6-A1)
 ٨٧
- (٥-١٨) علاقة الهطول بالاحمال للنماذج (B4-B1)
 ٨٨
- (٥-١٩) علاقة الهطول بالاحمال للنماذج
 ٨٩ (D2, D1, C2, C1)
- (٥-٢٠) علاقة الهطول على طول النماذج (A6-A1)
 ٩٠ مع اختلاف مستويات عزم الانحناء
- (٥-٢١) علاقة الهطول على طول النماذج (B4-B1)
 ٩١ مع اختلاف مستويات عزم الانحناء
- (٥-٢٢) علاقة الهطول على طول النماذج
 (D2, D1, C2, C1) مع اختلاف مستويات عزم
 الانحناء
- ٩٢
- (٥-٢٣) علاقة عزم الانحناء مع التقوس للمجموعة (أ)
 ٩٣
- (٥-٢٤) علاقة عزم الانحناء مع التقوس للمجموعة (ب)
 ٩٣
- (٥-٢٥) علاقة عزم الانحناء مع التقوس للنماذج
 ٩٤ (D2, D1, C2, C1)
- (٥-٢٦) علاقة عزم الانحناء مع التقوس للمجموعة ج
 ٩٥
- (٦-١) العلاقة بين العزم الاقصى ونسبة الحديد
 مسبق الاجهاد لقيمة واحدة من نسبة الحديد
 العادي
 ١٠٠
- (٦-٢) العلاقة بين الكفاءة ونسبة الحديد مسبق
 الاجهاد
 ١٠٠
- (٦-٣) العلاقة بين العزم الاقصى ونسبة الحديد
 العادي
 ١٠١
- (٦-٤) العلاقة بين الكفاءة ونسبة الحديد العادي
 ١٠١

- (٦-٥) العلاقة بين العزم الاقصى ومعامل التسليح الكلي
١٠٢
- (٦-٦) العلاقة بين العزم الاقصى ونسبة الاجهاد الجزئي
١٠٢
- (٦-٧) مقارنة هطول مراكز نماذج المجموعة (أ)
١١١
- (٦-٨) مقارنة هطول مراكز نماذج المجموعة (ب)
١١١
- (٦٦-٩) مقارنة هطول مراكز نماذج المجموعة (ج)
١١٢
- (٦٦-٩ب) مقارنة هطول مراكز نماذج المجموعة ج
١١٤
- (٦-١٠) مقارنة هطول مراكز النماذج D_2, D_1, C_1, A_2
١١٣
- (٦-١١) العلاقة بين عزم الفشل الفعلي وعزم التصميم
١١٦

الجدول

المفحة

العنوان

الجدول

	المعادلات المقترحة من قبل	٢ - ١
١٥	Naaman, Harajli and wight	
	القيم المقترحة لاجهاد الحديد المسموح	٢ - ٢
١٨	Suri and Dilger	به كما في بحث
٣٧	اهم المعادلات المقترحة من البحوث السابقة	٢ - ٣
	المعادلات المقترحة من البحوث السابقة	٣ - ١
	لقياس المطيلية التي تم استخدامها في	
٤٥	هذا البحث	
٥٠	نماذج العتبات التي تم صيغها	٤ - ١
٥١	المتغيرات الرئيسية في البحث	٤ - ٢
٥٢	تفاصيل الحديد المستعمل ومواصفاته	٤ - ٣
٥٦	عدد قوالب نماذج السيطرة وابعادها	٤ - ٤
٦٢	نتائج فحوص النماذج الخرسانية	٥ - ١
٦٣	قيم معامل التسليح ونسبة الاجهاد الجزئي	٥ - ٢
٩٥	خواص خرسانة نماذج السيطرة	٥ - ٣
١٠٤	نتائج فحص التشقق	٦ - ١
	مقارنة النتائج العملية للبحث الحالي	٦ - ٢
١١٥	وبحوث اخرى مع نتائج البحوث النظرية	
	حدود التسليح لمتطلبات المطيلية	٦ - ٣
١٢٨	بموجب الطرق النظرية	

الفصل الاول

المقدمة

ان الاجهاد المسبق "Prestressing" يعني تعريف منطقة الشد "Tensile Zone" لاي عنصر انشائي Structural element الى اجهادات ضغط مسبقة "Precompression" قبل تسليط الاحمال ، لتقليل تولد اجهادات الشد او لمنعها ، وذلك لتحسين سلوك الخرسانية مع زيادة تحملها الاقصى تحت تاثير الاحمال الخدمية "Working loads" .

ونظرا لتاثيرات الاجهاد المسبق الكلي العرضية "Side effects of Full Prestressing" مثل التحدب Camber ، والهطول على المدى البعيد بتاثير الزحف Creep من جهة ، والتشقق والهطول العالي للخرسانة المسلحة تسليحا عاديا من جهة اخرى ، فقد اتجهت الابحاث الى دراسة امكانية الاستعاضة عنها بما يسمى الاجهاد المسبق الجزئي "Partial Prestressing" .

وكانت بداية الفكرة في عام ١٩٣٩ حين اقترح الباحث النمساوي [Emperger] اضافة عدد قليل من اسلاك السحب Pretensioning Wires ذات المقاومة العالية الى الحديد الاعتيادي في الخرسانة العادية (٢٠١) .

وقد طور الباحث Abeles في عام ١٩٤٥ الفكرة حين اقترح اجهاد جزء من اسلاك السحب "Prestressing Wires" (٢٠١) .

ويقصد حاليا بالخرسانة مسبقة الاجهاد جزئيا "Partially Prestressed concrete" تلك العناصر الانشائية التي تحتوي على الحديد مسبق الاجهاد Prestressing steel زيادة على حديد التسليح العادي "ordinary reinforcement" (٣) وتشمل كافة الحالات المحصورة بين الخرسانة المسبقة الاجهاد كليا والخرسانة المسلحة تسليحا عاديا .

خلال السنوات السابقة اجريت بحوث ودراسات كثيرة اغلبها كانت نظرية .

اما البحوث العملية المتوفرة فلم تعط صورة كافية عن سلوك الخرسانة مسبقة الاجهاد جزئيا .

ومن خلال البحوث النظرية والعملية السابقة فقد تبين ان تصميم الخرسانة مسبقة الاجهاد جزئيا هو اكثر تعقيدا لسببين :-

١- تسلك الخرسانة المسبقة الاجهاد جزئيا سلوكا يماثل سلوك الخرسانة المسبقة الاجهاد كليا قبل تعرضها الى التشقق .
اما بعد حدوث التشقق فان سلوكها يشبه سلوك الخرسانة المسلحة تسليحا عاديا والمعرضة الى قوة انضغاط وعزم انحناء "Bending Moment and compression" .

٢- اما من ناحية التصميم فان العناصر الانشائية يجب ان تحقق متطلبات التحميل الاقصى ، التي تصمم بموجبها الخرسانة المسلحة تسليحا عاديا ، وكذلك متطلبات التصرف "Behavior" ضمن الحدود المسموح بها تحت تأثير الاحمال الخدمية "Working loads" التي تصمم على اساسها العناصر الانشائية المسبقة الاجهاد كليا .
وفي الوقت الذي تتوفر فيه معلومات وافية عن سلوك وتصرف الخرسانة المسلحة تسليحا عاديا وتلك المسبقة الاجهاد كليا فان المعلومات مازالت مقتنبة عن الحالات التي تقع بينها اذ ان تقليل قوة السحب وبالتالي درجة الاجهاد تؤدي الى التشقق تحت تأثير جزء من الاحمال الحية Live loads لذا يستوجب دراسة المعايير الخدمية Serviceability للتشقق والهطول الى حد الفشل عن طريق الابحاث والدراسات العملية لملاحظة عرض الشقوق وتوزيعها ومدى تأثير الحديد العادي فيها ومن هنا تأتي اهمية البحث والضرورة الى التوسع في دراسة المتغيرات لمعرفة مزايا الاجهاد المسبق الجزئي فيما يتعلق بالتحمل الاقصى ومعايير الاحمال الخدمية Serviceability

لجميع الحالات الانشائية للتعرف على التصرف الحقيقي لتسهيل مهمة وضع طريقة تصميم موحدة .

ويهدف هذا البحث الى دراسة سلوك وتصرف العتبات المستطيلة الشكل المسبقة الاجهاد جزئيا بدرجات اجهاد متفاوتة تتراوح بين المفرد والواحد من حيث توزيع الانفعالات وعلاقتها بالاجهادات ، وتغير الهطول والتقوس تحت تأثير الاحمال او العزوم الخارجية بالاضافة الى التحمل الاقصى .

وكذلك مقارنة النتائج العملية مع ما متوفر من طرق نظرية تحليلية .

الفصل الثاني

البحوث السابقة

١ - ٢ المقدمة

يتضمن هذا الفصل في بدايته معلومات عامة عن الاجهاد المسبق الجزئي "Partial Prestressing" من خلال استعراض اساليب العمل Measures ، والمميزات advantages وكذلك المحددات disadvantages . علاوة على عرض موجز لما تم بحثه والتوصل اليه من خلال البحوث السابقة التي اجريت حول الموضوع خلال العقدين الماضيين (١٩٦٦ - ١٩٨٨) التي تم تجزئتها الى :-

- ١- بحوث تجريبية مختبرية اعتمدت على دراسات عملية .
- ٢- بحوث نظرية اعتمدت على دراسات معاملة

"Parametric studies"

٢ - ٢ اساليب عمل الاجهاد المسبق الجزئي :- (٤)

يمكن الحصول على خرسانة ، مسبقة الجهد جزئيا باحد الاساليب الاتية :

١ - ٢ - ٢ بتقليل مساحة الحديد مسبق الاجهاد فقط

"Prestressed steel"

٢ - ٢ - ٢ بتقليل مساحة الحديد مسبق الاجهاد وازافة كمية

من الحديد العادي ليعطي التحمل المطلوب زيادة على السيطرة على التشقق crack control .

٣ - ٢ - ٢ باستعمال مساحة الحديد مسبق الاجهاد نفسها ولكن بتسليط

قوة الشد (tensioning) على جزء منه .

٤ - ٢ - ٢ باستعمال مساحة الحديد مسبق الاجهاد نفسها ولكن بتسليط

قوة شد اقل .

٣- ٢ - ميزات الاجهاد المسبق الجزئي : - (٤)

١ - ٣ - ٢ يحتاج الى كمية اقل من الحديد مسبق الاجهاد

٢ - ٣ - ٢ يقلل من التحدب camber .

٣ - ٣ - ٢ يقلل من قوة الشد وبالتالي يوفر من قوة الشد

ومن متطلبات تثبيت النهايات end anchorage

٤ - ٢ محددات الاجهاد المسبق الجزئي : - (٥،٤)

١ - ٤ - ٢ الهطول الكبير عند التعرض للاحمال العالية

. Overloads

٢ - ٤ - ٢ يقلل من التحمل الاقصى لنفس المحتوى من الحديد .

٣ - ٤ - ٢ ظهور التشققات في وقت مبكر .

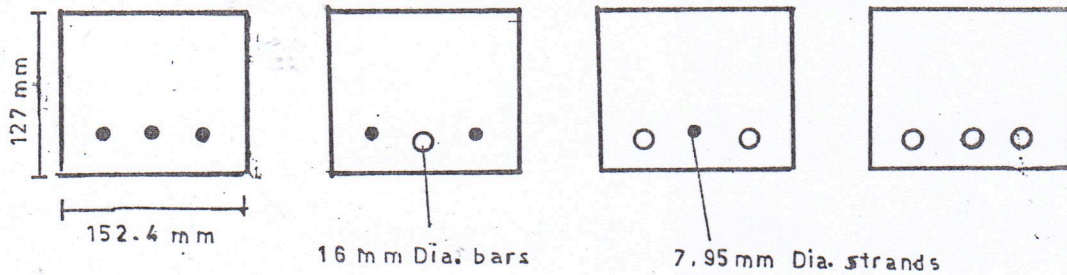
٥ - ٢ البحوث المختبرية السابقة :-

قام الباحثان Hutton and Loov (٦) في عام ١٩٦٦ بتنظيم برنامج

فحص لمقارنة سلوك ثمان عتبات خرسانية مستطيلة الشكل متماثلة

الابعاد لها فرضيا التحمل الاقصى نفسه ولكن بنسب مختلفة من الحديد

مسبق الاجهاد والحديد العادي كما في الشكل (١ - ٢) :-



شكل ١ - ٢ تسليح العتبات كما في بحث Hutton and Loov

وقد كان اجهاد الشد المسلط على الحديد قبل الصب يعادل $0.7f_{pu}$.

حيث ان :-

f_{pu} = مقاومة الشد القموى للحديد مسبق الاجهاد

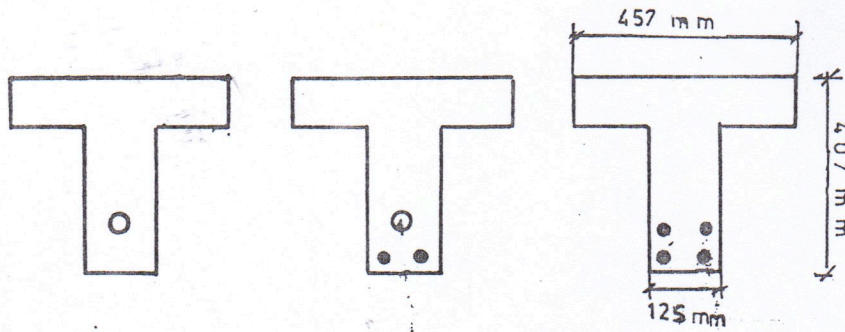
. Ultimate tensile strength

وقد تم صب نموذجين لكل نوع من العتبات الواردة في الشكل
١ - ٢ بحيث تفحص واحدة منها بعد (١٤) يوما والاخرى بعد (١٠٠)
يوم .

ومن النتائج التي توصل اليها :-

- ١ - يمكن السيطرة على مقدار هطول العتبات المسبقة الاجهاد جزئيا الواقعة بين عتبات مسلحة تسليحا عاديا وعتبات مسبقة الاجهاد كليا وذلك باختيار قوة سحب ملائمة .
- ٢ - تؤخذ بنظر الاعتبار الاجهادات المتولدة في الحديد العادي نتيجة الانكماش shrinkage والهطول الناتج من الزحف creep في العتبات الحاوية على حديد التسليح العادي والحديد مسبق الاجهاد .

اما الباحث Stevens (٧) فقد قام في عام ١٩٦٩ باجراء تجربة لمقارنة سلوك (١٣) عتبة خرسانية كما في الشكل ٢ - ٢ :-



شكل (٢ - ٢) تفاصيل العتبات كما في بحث Stevens

وقد كانت العتبات باطوال (٥) خمسة امتار محملة في نقطتين
باحمال ساكنة ماعدا ثلاث عتبات تم تحميلها باحمال دورية .
وقد تم تصميم جميع العتبات لتحمل الاقصى نفسه .

وفيما يخص العتبات المحملة باحمال ساكنة Static فقد كانت على شكل مراحل يتم بعدها ازالة الاحمال وملاحظة مقدار الرجوع الى الوضع الاعتيادي recovery ثم تحمل مرة اخرى الى حد الفشل . وقد توصل الى : -

١ - ان العتبات المسبقة الاجهاد جزئيا تشبه في سلوكها وتصرفها سلوك وتصرف العتبات المسبقة الاجهاد كليا قبل حدوث التشقق . اما بعد التشقق فان تصرفها يشبه تصرف العتبات المسلحة تسليحا عاديا .

٢ - يمكن الحصول على نتائج جيدة للحالات الحديدية للفشل والتشقق والكلل Ultimate limit states of collaps, cracking & fatigue بشرط عدم تجاوز مقدار الاجهاد المتولد في الحديد العادي عن ٢٢٨ ميكا باسكال او $0.55 f_y$ ايهما اقل حيث ان

f_y = مقاومة الخضوع للحديد العادي (Yield strength)

٣ - اقتراح طريقة تصميم بسيطة مرنة متمثلة بالمعادلة ١ - ٢

$$f'_{ct} = k \rho_s f_{ct} \quad ٢ - ١$$

حيث ان : -

f'_{ct} = اجهاد الشد الاسمي في الخرسانة

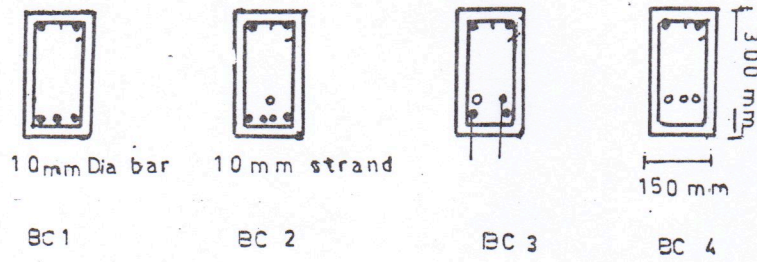
Nominal tensile stress in concrete

k = ثابت constant

ρ_s = نسبة الحديد العادي المضاف الى منطقة الشد

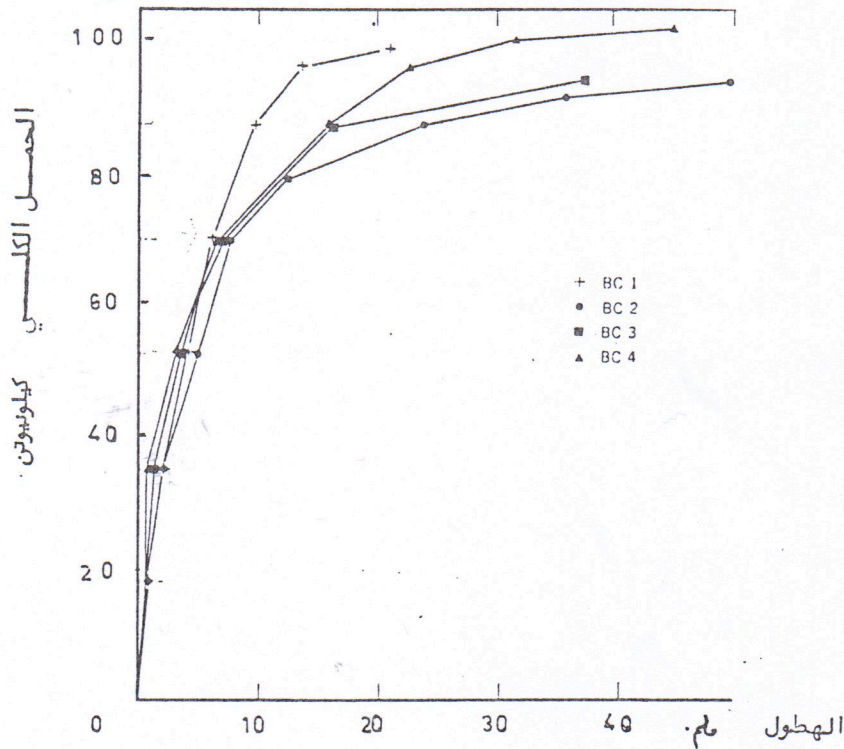
f_{ct} = اعلى اجهاد شد مسموح به في الخرسانة .

واجرى الباحثان Bishara and Brar (٨) في عام ١٩٧٤ دراسة على اربع عتبات مستمرة "continuous beams" محملة باحمال مركزة متساوية في مركز كل فضاء كما في الشكل ٣ - ٢ ولها ابعاد المقطع والتحمل الاقصى لنفسها .



شكل (٢-٣) تفاصيل العتبات كما في بحث Bishara and Brar
وقد توصلنا الى النتائج التالية :-

١ - ان العلاقة بين الحمل والهطول موضحة في الشكل ٢-٤



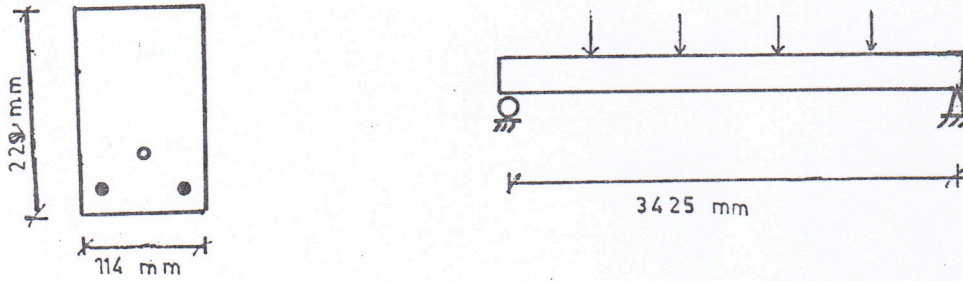
شكل ٢-٤ العلاقة بين الحمل والهطول كما في بحث

(A) Bishara and Brar

- ٢ - تزداد قيمة المطيلية ductility زيادة ملحوظة باضافة حديد التسليح العادي في العتبات المسبقة الاجهاد .
- ٣ - يقل نسبيا الدوران غير المرن للمفصل (inelastic hinge rotation) بزيادة درجة الاجهاد

"degree of prestress"

وقام الباحثان Naaman & Harajli (٩) في عام ١٩٨٥ باجراء دراسة مكثفة لحساب اعلى قيمة للاجهاد الذي يمكن ان يصل اليه الحديد مسبق الاجهاد عند فشل العناصر الانشائية "f_{ps}" للعتبات المسبقة الاجهاد جزئيا بطريقتين احدهما تجريبية والاخرى نظرية بطريقة التحليلات اللاخطية "Non Linear Analysis".
فمن الجانب المختبري من البحث فقد تم صب وفحص وتحليل تسعة عتبات خرسانية مسبقة الاجهاد بدرجات مختلفة وكانت لها مقاطع مستطيلة الشكل محملة باحمال مركزة كما في الشكل (٥ - ٢).



Ordinary steel ●
Prestressing steel ○

شكل (٥-٢) تفاصيل العتبات كما في بحث Naaman & Harajli

وكانت متغيرات البحث كالاتي:

١ - نسبة الاجهاد المسبق الجزئي
"PPR" Partially Prestressing Ratio الذي يعرف بالمعادلة (٢-٢).

$$PPR = \frac{A_p f_{ps}}{A_p f_{ps} + A_n s_f y} \quad ٢ - ٢$$

حيث ان:

A_p = مساحة الحديد مسبق الاجهاد الكلية.

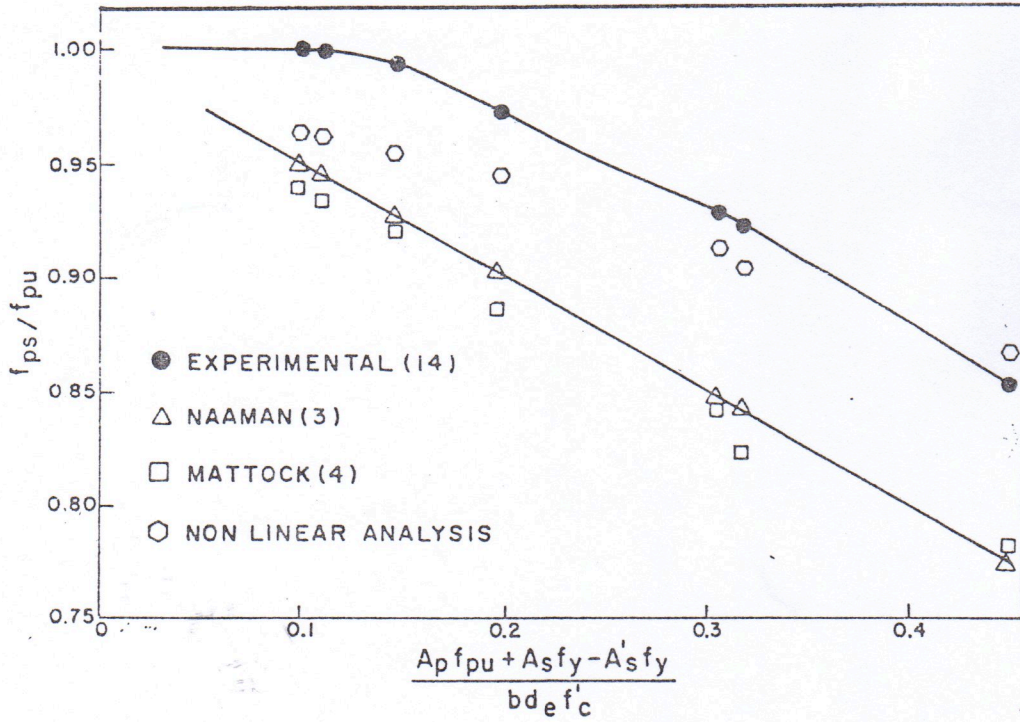
A_{ns} = مساحة حديد التسليح العادي .

f_{ps} = الاجهاد الاقصى للحديد مسبق الاجهاد عند فشل المقطع الخرساني.

f_y = اجهاد خضوع الحديد العادي.

اما نتائج البحث العملي فلم يشر اليها ، ولكن تم اجراء مقارنة تشمل النتائج العملية مع معادلات لبحوث نظرية كما في

الشكل ٦ - ٢ .



شكل (٦ - ٢) مقارنة بين النتائج العملية لبحث

Naaman and Harajli مع طرق نظرية

وقد استنتج الباحثان انه هناك تقاربا كبيرا بين النتائج العملية والنتائج التي حصلوا عليها باستخدام التحليلات الالخطية . Nonlinear analysis

وفي عام ١٩٨٥ قام الباحثان Du & Tao (١٠) باجراء بحث مختبري لدراسة تأثير اختلاف كميات الحديد العادي في اجهاد الحديد مسبق الاجهاد غير المرتبط بالخرسانة Unbonded عند الفشل " f_{ps} " للعتبات المسبقة الاجهاد جزئيا .

وقد كانت المتغيرات المعتمدة في البحث :

- ١ - مساحة حديد التسليح العادي A_{ns} .
- ٢ - مساحة الحديد مسبق الاجهاد A_p .
- ٣ - قوة تحمل الخرسانة f'_c .

وقد استند البحث على فحص ٢٦ عتبة خرسانية بابعاد ٢٢٨×١٦٠ ملم وبطول ٤ر٢ متر محملة باحمال مركزية في نقطتين تبعدان مسافة ٤ر١ متر عن بعضهما .

وتوصل الباحثان الى النتائج الاتية : -

- ١ - عندما تكون نسبة طول العتبة الى عمقها L/h تساوي ٢٠ محملة باحمال منتظمة distributed loads او باحمال مركزية concentrated في نقطتين تبعدان عن بعضهما مسافة تساوي ثلث طول العتبة فانه يمكن كتابة العلاقة (٣-٣) .

$$f_{ps} = f_{pe} + (786 - 1920 q_0) \text{ for } f_{ps} < f_{0.2} \quad ٣-٣$$

حيث ان : -

f_{pe} = الاجهاد المؤثر في الحديد مسبق الاجهاد قبل التحميل ويتراوح

من $(0.55 - 0.65) f_{0.2}$

$f_{0.2}$ = الاجهاد في الحديد مسبق الاجهاد عند أنفعال قدره ٢ر٠ % .

q_0 = معامل التسليح ويمكن ايجاده من المعادلة (٤-٤)

$$q_0 = \frac{A_p f_{pe}}{b d_p f'_c} + \frac{A_{ns} f_y}{b d_p f'_c} \quad ٤-٤$$

اما تحديرات المعادلة (٤-٤) فهي ان $q_0 < .3$

حيث ان : -

b = عرض العتبة

d_p = موقع الحديد مسبق الاجهاد مقاسا من السطح العلوي للعتبة

f'_c = مقاومة انضغاط الاسطوانات الخرسانية بابعاد ٣٠٠X١٥٠ ملم

٢ - لاحظ الباحثان بانه هناك تشابها كبيرا بين العتبات مسبقة الاجهاد المرتبطة بالخرسانة bonded وبين تلك غير المرتبطة بالخرسانة unbonded من حيث عدد الشقوق في منطقة العزم الثابت على ان تكون ادنى نسبة للحديد العادي تساوي 0.004 $\frac{A_{ns}}{b d_p}$ في الحالتين .

٣ - نقل المطيلية ductility بزيادة معامل التسليح " q_o ".

٤ - تكون قيمة التغير في الاجهادات المتولدة في الحديد مسبق الاجهاد " Δf_{ps} " عالية لنسب واطئة من معامل التسليح .

٦ - ٢ البحوث النظرية

١ - ٦ - ٢ حساب المطيلية ductility

قام الباحثان Thompson and Park (١١) في عام ١٩٨٠ باجراء دراسة تحليلية لبيان مدى تأثير الحديد مسبق الاجهاد وتوزيعه ونسبة وتوزيع حديد التسليح العادي ونسبة الحديد العرضي Transverse steel علاوة على الغطاء الخرساني concrete cover على مطيلية التقوس Curvature ductility للعتبات المستطيلة الشكل . وكان الهدف من البحث هو وضع مقترحات لمتطلبات التماميم

الانشائية في المناطق التي يمكن ان تتعرض للهزات الارضية والتي تتعلق بتوزيع حديد التسليح الطولي والعرضي في المناطق التي يمكن ان تتكون فيها المفاصل اللدنة Plastic hinges للعتبات المسبقة الاجهاد كليا وجزئيا .

كانت اهم النتائج التي تم التوصل اليها : -

١ - تم اقتراح تحديد معين في العتبات الخرسانية المسبقة الاجهاد لمعامل الحديد مسبق الاجهاد الذي يقع خارج مركز ثقل العتبة "eccentric" للحمول على مطيلية جيدة للتماميم الزلزالية كما في المعادلة ٧-٥ : -

$$A_{ps} f_{ps} / b d_p f'_c \leq 0.2$$

٧-٥

حيث ان : -

f_{ps} = الاجهاد الاقصى للحديد مسبق الاجهاد عند فشل المقطع الخرساني

b = عرض المقطع الخرساني .

d_p = عمق الحديد مسبق الاجهاد

f'_c = مقاومة تحمل انفطاط الاسطوانات الخرسانية بابعاد

١٥٠ X ٣٠٠ ملم .

٢ - المقاطع الخرسانية المسبقة الاجهاد التي ينطبق فيها مركز ثقل الحديد مسبق الاجهاد في مركز ثقل المقطع الخرساني concentric تكون ذات مطيلية جيدة بشرط عدم التواء buckling الحديد مسبق الاجهاد .

٣ - تزداد مقاومة التحمل والتشقق Flexural and cracking strength للمقطع الخرساني المسلح تسليحا عاديا بشكل متناظر في اعلى المقطع واسفله في حالة اضافة الحديد مسبق الاجهاد في وسط المقطع دون تأثير يذكر في المطيلية .

٤ - ان لسمك الغطاء الخرساني concrete cover تأثير محدود جدا في العلاقة بين تغير العزم والتقوس للعتبات المسبقة الاجهاد الحاوية على حديد تسليح عادي .

وقام الباحثون Naamon, Harajli and Wight (١٢) في عام ١٩٨٦
 باجراء دراسة معاملية Parametric study لايجاد العوامل المؤثرة في
 المطيلية، وكانت المتغيرات المعتمدة :-

١- مقطع العتبة .

٢- نسبة الاجهاد الجزئي Partial Prestressing ratio PPR كما

في المعادلة ٢-٢ .

٣- معامل التسليح \bar{W} كما حسب المعادلة (٢-٦) :

$$\bar{W} = .85 \beta_1 C / d_e \quad ٢-٦$$

حيث ان :-

C = عمق محور التعادل عند الفشل مقاسا من الشريحة المعروفة

لاقصى انضغاط .

$$\beta_1 = 0.85 \quad \text{for } f'_c \leq 30$$

$$\beta_1 = 0.65 \quad \text{for } f'_c \geq 55$$

$$\beta_1 = 0.85 - 0.008 (f'_c - 30) \quad \text{for } 30 < f'_c < 55$$

d_e = عمق نقطة تأثير قوة الشد في الحديد .

٤- مقاومة انضغاط الخرسانة f'_c .

٥- مساحة الحديد مسبق الاجهاد وحديد التسليح العادي

ومواصفتها .

ومن اهم النتائج التي تم التوصل اليها :-

١- تقل المطيلية بزيادة معامل التسليح \bar{W} المعرف بالمعادلة

٢ - ٦ .

٢- تزداد المطيلية وبزيادة قيمة الاجهاد المؤثر " f_{pe} " (الذي يساوي

اجهاد الشد مطروحا منه الفواقد) ولنفس نسبة الاجهاد

الجزئي PPR المعرف بالمعادلة (٢ - ٢) .

٣- تم ايجاد العلاقة ٢-٧

$$C / d_e = .008 + 1.37 \bar{W} \quad ٢-٧$$

حيث ان :-

C = عمق محور التعادل N.A مقاساً من السطح العلوي للمقطع.

d_e = عمق مركز قوة الشد.

W̄ = معامل التسليح المعرف بالمعادلة (٦ - ٢).

٤- اقترح الباحثان المعادلات الواردة في الجدول (١-٢).

جدول (١ - ٢) المعادلات المقترحة من قبل Namaan and Hrajlj.

Average	Lower bound	Upper bound	Parameter
1	1	1	curvature ductility ratio
1.5W̄-0.075	1.94W̄-0.08	W̄ - .045	
1.07-1.58W̄ L _p	1.05-1.65W̄ L _p	1.05-W̄ L _p	Plastic rotation
1050W̄-45 dp/2	1300W̄-40 dp/2	850W̄-35 dp/2	(radians)

حيث ان :-

W̄ = معامل التسليح المعرف بالمعادلة (٦ - ٢).

L_p = طول المفصل اللدن Plastic hinge lengthd_p = عمق الحديد مسبق الاجهاد.

واقترح الباحثون Skogman, Tadros and Grasmick (١٣) في عام ١٩٨٨ معادلة موحدة (المعادلة ٨ - ٢) لحساب المطيلية ductility للعناصر الانشائية الاعتيادية والمسبقة الاجهاد.

$$C/h \leq 120 \quad (cu) \quad (٢-٨)$$

حيث ان :-

c = عمق محور التعادل عند الفشل مقاساً من الشريحة

المعرضة لاقصى انضغاط.

$h =$ العمق الكلي للمقطع .

$\epsilon_{cu} =$ أقصى انفعال انضغاط للخرسانة وتساوي ٠.٠٠٣ ر. مالم يتم

تحديد قيم أخرى أعلى.

واقترحوا استعمال المعادلة ٨ - ٢ كحد أدنى لمتطلبات

المطيلية بدلا من الحد الأعلى لكمية حديد التسليح الواردة في

الكود الأمريكي (code-83) - ACI ضمن الفقرة 10.3 للخرسانة

العادية والفقرة 18.8.1 للخرسانة المسبقة الاجهاد ؛ خاصة في

الحالات التالية : -

١ - $d_p > 0.85 h$ للخرسانة المسبقة الاجهاد

٢ - $d_s > 0.816 h$ للخرسانة الاعتيادية

حيث ان :

$d_p =$ عمق الحديد مسبق الاجهاد

$d_s =$ عمق حديد التسليح العادي

$h =$ العمق الكلي للمقطع الخرساني

ومن خلال اجراء مقارنة (من قبل الباحثين) بين الطريقة

المقترحة ومعادلات مقترحة اخرى من قبل Naaman (١٧) ، الكود

الكندي (٣٦) الكود الأمريكي (٣٤) ، ودليل الكود الأمريكي (٣٧) .

فقد لاحظوا ان جميع النتائج قابلة للمقارنة ماعدا معادلة

الكود الأمريكي (٣٤) فهي لاتعطي نتائج مقبولة للاشكال غير

المستطيلة .

٢ - ٦ - ٢ تقدير وحساب عرض الشقوق بتأثير الاحمال الخدمية

قام الباحثان Suri and Dilger (١٤) في عام ١٩٨٦ بدراسة

تحليلية احصائية Statistical analysis من خلال الاستفادة من نتائج

بحوث عملية (لم يمكن الحصول عليها نظرا لان معظمها مأخوذ من

اطروحات غير متوفرة) .

وكان الهدف من البحث هو ايجاد معادلات لتقدير عرض الشقوق التي تحدث في المنشآت المسبقة الاجهاد جزئيا .

وتوصل الباحثان الى ما يلي :

١ - يمكن تقدير اقصى عرض للشقوق تحت تأثير الاحمال الخدمية للعتبات التي تحتوي على حديد تسليح عادي مبروم deformed bar زيادة على حديد مسبق الاجهاد بشكل اسلاك wires من المعادلة ٩ - ٢ .

$$W_{max.} = 0.894 \times 10^{-3} f_s = 0.185 \quad ٢ - ٩$$

٢ - تم اقتراح المعادلة (١٠ - ٢) لتقدير اقصى عرض للشقوق :

$$W_{max.} = k f_s C_1 (A_t / A_s)^{0.5} \quad ٢ - ١٠$$

حيث ان :

f_s = الاجهاد في الحديد بعد رفع الانضغاط عن الخرسانة

steel stress after decompression

$W_{max.}$ = اقصى عرض للشقوق تحت تأثير الاحمال الخدمية

k = ثابت constant

C_1 = سمك الغطاء الخرساني

A_t = مساحة الخرسانة الواقعة تحت محور التعادل

المتأثرة باجهادات شد

A_s = المساحة الكلية للحديد في منطقة الشد

٣ - اقتراح الباحثان (لاغراض التصميم) قيما للزيادة المسموح

بها في اجهاد الحديد بعد مرحلة ازالة الضغط عن الخرسانة

"Post - decompression" حسب عرض الشقوق ، كما في الجدول

(٢ - ٢)

القيم المقترحة لاجهاد الحديد المسموح

جدول ٢ - ٢ به كما في بحث Suri and Dilger

عرض الشق (مم)	اجهاد الحديد f_s بموجب افضل خط (ميكا باسكال)	اجهاد الحديد f_s المقترح للتصميم (ميكا باسكال)
٠١	١٥٠	١٠٠
٠٢	٢٤٠	١٧٥
٠٣	٣٢٠	٢٥٠
٠٤	٣٩٠	٣٢٥

٤ - وتوصل الباحثان الى ان لقياس اقصى عرض مسموح به للشقوق في العتبات المسبقة الاجهاد جزئيا يمكن استعمال المعادلة ١٢ - ٢ هي نفس المعادلة التي اقترحها من قبل Gergely - Lutz ولكن بتعديل قيم K_1 .

$$W_{max.} = K_1 f_s (C_1 \cdot A)^{1/3} \quad ٢ - ١١$$

حيث ان :

$$W_{max} = \text{اقصى عرض مسموح به للشقوق}$$

$$K_1 = \text{ثابت}$$

$$f_s = \text{اجهاد الحديد بعد مرحلة ازالة الانفعاظ عن الخرسانة}$$

$$C_1 = \text{سمك الغطاء الخرساني}$$

$$A = \text{مساحة الخرسانة المتعرضة لقوى الشد والتي تحيط بكل}$$

واحد من حديد التسليح

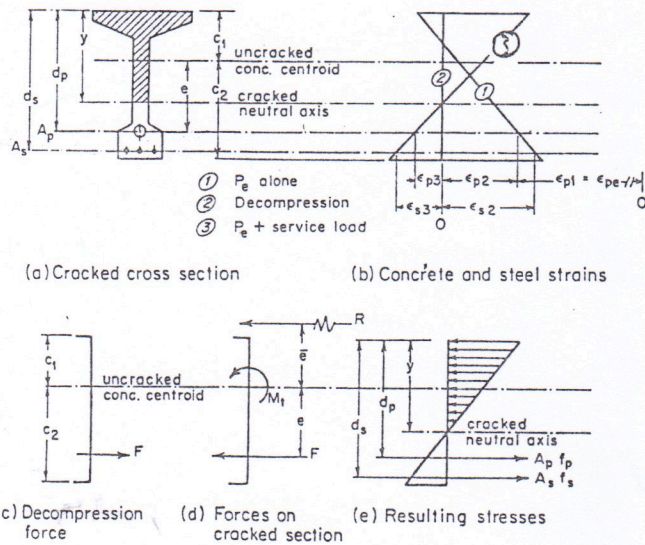
٣ - ٦ - ٢ حساب اقصى اجهاد في حديد السحب عند الفشل f_{ps}

قام الباحث Nilson (١٦ ، ٦٥) في عام ١٩٧٦ باقتراح طريقة

لحساب اجهادات الانثناء المرنة elastic flexural stresses في

الخرسانة والحديد مسبق الاجهاد والحديد العادي في المقاطع
الخرسانية المسبقة الاجهاد جزئيا والقابلة للتشقق تحت تأثير
الاحمال الخدمية .

والاساس الذي استند اليه في تحليل المقاطع المتشققة
Cracked cross sections هو الافتراض بان المقطع معرض الى قوة
خارجية وهمية F تؤدي الى زوال الضغط عن مقطع الخرسانة
Decompression of whole section والذي يلغي تأثيره بعد ذلك
بتسليط القوة F باتجاه معاكس كما هو موضح في الشكل ٧ - ٢ :



الشكل (٧-٢)

اساس تحليل الاجهادات في المقطع المتشقق كما في بحث

(١٦ ، ١٥) Nilson

اما محملة القوى R فتسلط على مسافة \bar{e} كما في المعادلة

$$\bar{e} = [M_t - F_e] / R \quad ٢ - ١٢$$

حيث ان :

\bar{e} = المسافة بين نقطة تأثير القوة R ومركز ثقل المقطع غير المتشقق

$M_t =$ العزم بتأثير الاحمال الخارجية والوزن

$F =$ القوة المعاكسة والمساوية بالمقدار للقوة الوهمية

$e =$ المسافة بين نقطة تأثير قوة السحب ومركز ثقل المقطع

غير المتشقق

$$F = R$$

ثم يتم تحليل المقطع بنفس طريقة تحليل العتبات المسلحة

تسليحا عاديا والمجموع الكلي للاجهادات يكون بموجب المعادلة

١٣ - ٢

$$f_{ps} = f_{p1} + f_{ps} + f_{p3} \quad \text{١ ٢ - ١٣}$$

$$f_{ns} = f_{ns3} \quad \text{ب ٢ - ١٣}$$

$$f_c = f_{c3} \quad \text{ج ٢ - ١٣}$$

حيث ان :

$f_{ps} =$ الاجهاد في حديد مسبق الاجهاد

$f_{p1}, f_{p2}, f_{p3} =$ الزيادات الحاصلة في اجهاد الحديد مسبق

الاجهاد للمراحل الثلاث المبينة في الشكل

٧ - ٢ ب

$f_{ns3} =$ الزيادة الحاصلة في اجهاد الحديد العادي

في المرحلة الثالثة

$f_{ns} =$ الاجهاد في الحديد العادي

$f_c =$ الاجهاد في الخرسانة

$f_{c3} =$ الزيادة في اجهاد الخرسانة في المرحلة

الثالثة

وقام الباحث Naaman (١٧) في عام ١٩٧٧ بوضع طريقة للتحليل

اللاخطي كمحاولة لدراسة تصرف الخرسانة المسبقة الاجهاد كليا

وجزئيا عند التحمل الاقصى للمقاطع الخرسانية .

وكان الهدف من البحث هو دراسة وتحليل تأثير بعض المتغيرات المهمة (حسب رأي الباحث) مثل مواصفات الحديد مسبق الاجهاد وكمية حديد التسليح العادي واقصى انفعال ضغط يمكن ان تصله الخرسانة " ϵ_{cu} " على سلوك وتصرف المقاطع الخرسانية عند التحميل الاقصى .

واقترح احتساب قيمة اقصى اجهاد للحديد مسبق الاجهاد عند فشل المقاطع المستطيلة او التي على شكل حرف "T" بموجب المعادلة (١٤ - ٢) :

$$f_{ps} = A / (\epsilon_{ps} + B) + C \epsilon_{ps} + D \quad ٢-١٤$$

حيث ان :

f_{ps} = الاجهاد الاقصى في الحديد مسبق الاجهاد عند فشل المقطع الخرساني .

A, B, C, D = شوابت تعتمد على مواصفات المواد المستعملة ، والاجهاد بالاضافة الى الخواص الهندسية للمقطع .

ولحل المعادلة (١٤ - ٢) اقترح الباحث طريقة رسم بيانية حيث يتم ايجاد نقطة تقاطع المنحني الذي يمثل المعادلة (١٤ - ٢) مع منحني الاجهاد والانفعال الحقيقي لحديد مسبق الاجهاد المستعمل ، والتي تمثل قيمة اقصى اجهاد لحديد مسبق الاجهاد .

واقترح ايضا طريقة تحليل مبرمجة لتحليل العناصر ذات المقاطع الخرسانية المتعددة وانواع مختلفة من الحديد مسبق الاجهاد والحديد العادي .

ومن خلال قيام الباحث بمقارنة هذه الطريقة مع طرق اخرى توصل الى ان معادلات الكود الامريكي (٣٤) لحساب التحميل الاقصى تعطي نتائج اقل بنسبة ١٠% من تلك المحسوبة بطريقة التحليلات اللاحظية . (١٧)

ووضع الباحثان Ghali and Tadros (١٨) في عام ١٩٨٥ طريقة لتخمين الاجهادات والانفعالات في مقاطع العتبات الخرسانية المسبقة الاجهاد جزئيا بافتراض كونها لاتتعرض للتشقق تحت تأثير الاحمال الثابتة وانما تتشقق بتأثير الاحمال الحية .

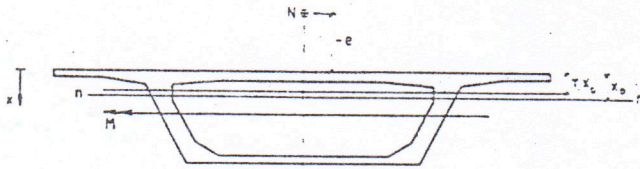
واعتمد الباحثان طريقة التراكب Super Position

لحساب تأثير قوة الشد الاولى Initial Prestressing force والتغير في الاجهاد بتأثير الانكماش Shrinkage والهطول بسبب الزحف creep والارتخاء relaxation بفترات زمنية مختلفة .
اذ يتم حساب الانفعال المحوري axial strain والتقوس curvature والاجهاد في الخرسانة والحديد مسبق الاجهاد والحديد العادي على ثلاث مراحل : الاولى قبل تسليط الاحمال والثانية بعد تسليط الاحمال وقبل التشقق والثالثة بعد تسليط الاحمال وبعد حدوث التشقق ويتم جمع نتائج المراحل الثلاث للحمول على قيم الانفعال والتقوس والاجهاد النهائية .

اما الباحث Brondum - Nielsen (١٩) فقد اجرى في عام ١٩٨٦ دراسة بيسن فيها طريقة حساب التحمل الاقصى للعتبات الخرسانية المسلحة تسليحا عاديا والمسبقة الاجهاد كليا وجزئيا والتي يمكن ان تتعرض لعزم انحناء متناظر "Symmetric bending" .

وكان الهدف من البحث هو تحليل المقاطع الخرسانية على اساس الحالة الحدية لاقصى عزم يتحمله المقطع في حالة تعرض المقطع الى عزوم فقط . (Ultimate limit state value , Mu)

اما في حالة تعرض المقطع الخرساني الى قوة محورية فيتم حساب الحالة الحدية لأكبر قوة (Ultimate limit state value , Nu) والتي تتفح مواقعها من الشكل ٩ - ٢ .



شكل (٢-٨) مقطع الخرسانة المتشقق المتعرض لعزم

انحناء متناظر كما في بحث Nielsen

واقترح الباحث المعادلتين (٢ - ١٥) ، (٢ - ١٦) لحساب التحمل

الاقصى عندما تكون القوة المحورية تساوي صفرا ($N = 0$) وكذلك لحساب اعلى قيمة للقوة المحورية التي يمكن ان يتعرض لها المقطع الخرساني على التوالي

$$M_u = \sum X A_s f_s - f_c \int_{x=0}^{x=x_c} X b (X) dx \quad ٢ - ١٥$$

$$N_u = e^{-1} \left[f_c \int_{x=0}^{x=x_c} X b (X) dx - \sum X_s A_s f_s \right] \quad ٢ - ١٦$$

حيث ان :

A_s = مساحة مقطع الحديد مسبق الاجهاد او الحديد العادي

f_s = الاجهاد في الحديد

f_c = اجهاد انضغاط الخرسانة

b = عرض المقطع الخرساني

X_s = الاحداث الافقي للحديد مسبق الاجهاد او الحديد العادي

e = الاحداثي الافقي للقوة N .

اما الباحثان Suri & Dilger (٢٠) فقد اعدا في عام ١٩٨٦ معينات تصميمية "design aids" على شكل جداول ومنحنيات لتسهيل عملية حساب الاجهاد المتولد في الحديد مسبق الاجهاد بعد مرحلة رفع الانضغاط عن السطح السفلي للخرسانة "decompression" في المقاطع الخرسانية المسبقة الاجهاد كليا وجزئيا التي تعرضت للتشقق .

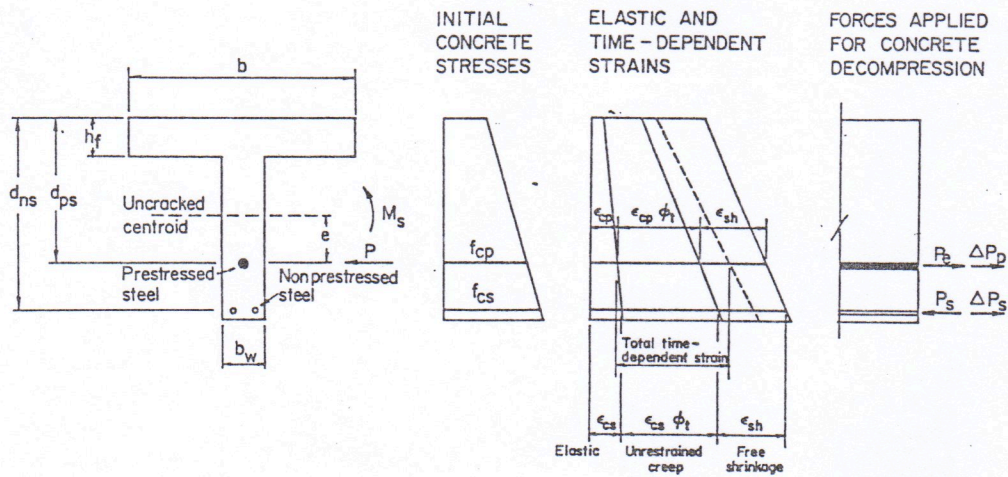
واقترح الباحثان طريقتين الاولى تفصيلية والثانية مبسطة :

١ - الطريقة التفصيلية :

وتعتمد على رفع الانضغاط عن السطح السفلي لخرسانة المقطع

وذلك عن طريق تسليط قوة وهمية " P_{dec} " "decompression" كما يتضح

من الشكل ٩ - ٢ .



شكل (٢-٩) القوى التي يجب ان تسلط في مستوى الحديد لرفع الانضغاط عن الخرسانة كما في بحث Suri & Dilger

واقترح الباحثان المعادلات (٢ - ١٧)، (٢ - ١٨)، (٢ - ١٩)، (٢ - ٢٠)، (٢ - ٢١)، (٢ - ٢٢)، لحساب الاجهادات .

$$P = P_e + \Delta P_p + P_s + \Delta P_s \quad ٢ - ١٧$$

$$\Delta P_p = -[f_{cpe} / E_c] E_s A_{ps} \quad ٢ - ١٨$$

$$\Delta f_{ps} = n f_c \phi_t + \epsilon_{sh} E_s + f_{re} / 1 + n (\rho_p + \rho_s) (1 + e^2 / r^2) (1 + 0.8 \phi_t) \quad ٢ - ١٩$$

$$f_{ns} = n f_c \phi_t + \epsilon_{sh} E_s / 1 + n (\rho_p + \rho_s) (1 + e^2 / r^2) (1 + 0.8 \phi_t) \quad ٢ - ٢٠$$

$$f_{ps} = f_s [d_p - C / d - C] \quad ٢ - ٢١$$

$$f_{ns} = f_s [d_s - C / d - C] \quad ٢ - ٢٢$$

حيث ان :

f_{ps} = قوة السحب المؤثرة (مطروحا منها الفواقد)

ΔP_p = القوة اللازمة لجعل الاجهاد في الخرسانة الواقعة في

مستوى الحديد مسبق الاجهاد (f_{cp}) يساوي صفرا تحت

تأثير قوة السحب والاحمال الميئة

$P_s =$ القوة المتولدة في حديد التسليح العادي بتأثير

الانفعالات المعتمدة على الزمن

$E_s =$ معامل مرونة الحديد

$\epsilon_{sh} =$ الانكماش الطليق

$\Delta P_s =$ القوة اللازمة لجعل الاجهاد في الخرسانة الواقعة في

مستوى حديد التسليح العادي f_{cse} يساوي صفرا بتأثير

الاحمال الميئة وقوة السحب .

$n =$ نسبة معامل مرونة الحديد الى معامل مرونة الخرسانة

$f_c =$ اجهاد انضغاط الخرسانة في مستوى الحديد مسبق الاجهاد

تحت تأثير الاحمال الثابتة وقوة السحب الاولية .

$\phi_t =$ معامل الهطول بتأثير الزحف "creep coefficient"

$f_{re} =$ الارتخاء الحقيقي intrinsic

$A_{ps} / A_c = \rho_p$

$A_{ns} / A_c = \rho_s$

$e =$ المسافة بين مركز ثقل الحديد مسبق الاجهاد ومركز ثقل

المقطع الخرساني

$r =$ نصف قطر الدوران ،

$A_c =$ مساحة المقطع الخرساني الكلي ،

$I_c =$ عزم القصور الذاتي للمقطع الخرساني الكلي .

$d_{ns}, d_p =$ مواقع الحديد مسبق الاجهاد والحديد العادي على التوالي

مقاسا من الشريحة الخرسانية العليا المتعرضة لاعلى

اجهاد انضغاط .

$c =$ عمق محور التعادل عند التحمل الاقصى .

$d =$ عمق الحديد (حديد الشد العادي + حديد مسبق الاجهاد) .

$f_s =$ الاجهاد في الحديد (حديد الشد العادي + حديد مسبق

الاجهاد) .

اما الطريقة المبسطة فتعتمد في حساب الاجهاد في الحديد بعد مرحلة ازالة الانضغاط عن الخرسانة decompression على المعادلة (٢٣ - ٢) .

$$f_s = \frac{M_s - M_{dec.}}{(A_{ps} + A_{ns}) d} \quad ٢ - ٢٣$$

حيث ان :

M_s = عزم الاحمال الخدمية service moment

$M_{dec.}$ = العزم الذي يجعل اجهاد انضغاط الخرسانة يساوي صفرًا .

اما الجانب النظري للبحث الذي تم التطرق اليه ضمن البحوث المختبرية والذي تم دراسته من قبل الباحثين Naaman and Harajli (٩) في عام ١٩٨٥ فقد استند الى دراسة مكثفة لحساب اقصى اجهاد يمكن ان يصله حديد السحب " f_{ps} " عند فشل العناصر الانشائية المسبقة الاجهاد جزئيا وذلك باستخدام التحليلات اللاخطية . Nonlinear analysis

وكانت المتغيرات المعتمدة في البحث (٩) :

١ - مقطع العتبة

٢ - معامل التسليح \bar{W} (كما في المعادلة ٦ - ٢)

٣ - نسبة الاجهاد الجزئي PPR (كما في المعادلة ٢ - ٢) .

٤ - مقاومة الخرسانة للانضغاط

٥ - مساحة الحديد مسبق الاجهاد A_p والحديد العادي A_{ns} مع

مواصفاتهما .

٦ - قوة الشد المؤثرة f_{ps} وهي قوة الشد مطروحا منها كافة

الفواقد .

وكانت اهم النتائج التي تم التوصل اليها :

١ - اقصى اجهاد في الحديد مسبق الاجهاد " f_{ps} " عند فشل العتبة

لايتأثر بمواقع الحديد في المقطع .

٢ - تعكس المعادلة الواردة في الكود الأمريكي (٣٤) برقم (3-18) والتي سييلي ذكرها لاحقا في الفصل الثالث - تعقيدا ليس له مبرر ان اقمى اجهاد في الحديد مسبق الاجهاد يتاثر بمقدار قليل جدا بقيمة " f_p " التي تعكس خواص الارتخاء relaxation للحديد مسبق الاجهاد زيادة على انها لا تتاثر بقيمة d/d_p .

حيث ان :

d_{ns} = عمق حديد التسليح العادي الواقع في المنطقة المعرمة

لاجهاد شد .

d_p = عمق حديد مسبق الاجهاد .

٣ - قوة تحمل الخرسانة للانضغاط لها تاثير محدود على اقمى اجهاد لحديد مسبق الاجهاد عند الفشل " f_{ps} ".

٤ - اقترح الباحثان المعادلات (٢٤ - ٢)، (٢٥ - ٢)، (٢٦ - ٢)، (٢٧ - ٢) . (٢٨ - ٢)

$$f_{ps} = f_{pu} [1 - .3 C/d_u] \quad ٢ - ٢٤$$

$$d_u = (A_{ps} f_{pu} d_p + A_{ns} f_y d_s) / (A_{ps} f_{pu} + A_{ns} f_y) \quad ٢ - ٢٥$$

$$C = (A_{ps} f_{pu} + A_{ns} f_y - A_s f_y) / (.85 \beta_1 f'_c + .3 A_{ps} f_{pu} / d_u) \quad ٢ - ٢٦$$

$$d_e = PPR d_p + (1 - PPR) d_s \quad ٢ - ٢٧$$

$$M_n = (A_{ps} f_{ps} + A_{ns} f_y) (d_e - \beta_1 C / 2) - (A_s f_y - \beta_1 C / 2) \quad ٢ - ٢٨$$

حيث ان :

f_{pu} = اقمى اجهاد شد مباشر يتحمله الحديد مسبق الاجهاد

c = عمق محور التعادل عند الفشل

d_u = مركز تاثير قوة الشد بفرض ان $f_{ps} = f_{ps}$

d_e = مركز تاثير قوة الشد .

A_s, A_{ns}, A_{ps} = مساحة الحديد مسبق الاجهاد والشد وحديد الانضغاط

على التوالي

f_{ps} = أقصى إجهاد للحديد مسبق الإجهاد عند فشل المقطع

الخرساني .

f'_c = مقاومة انضغاط الاسطوانات الخرسانية بأبعاد

٣٠٠x١٥٠ ملم

f_y = إجهاد خضوع حديد التسليح العادي .

وقام الباحثون Skogman , Tadros & Grasmick (٢١) في عام ١٩٨٨ بدراسة وتحليل نظريية مقاومة الانحناء، "Flexural strength theory" للعتبات الخرسانية المسبقة الإجهاد كليا أو جزئيا بطريقة توافق الانفعالات Strain compatibility . وافترض الباحثون بأن الإجهاد في حديد الانضغاط "Compressive reinforcement" يساوي صفرا ، كما أن الإجهاد المتولد في الحديد مسبق الإجهاد وحديد التسليح العادي يساوي إجهاد الخضوع لكليهما .

وتوصل الباحثون الى اقتراح طريقة تقريبية لحساب إجهادات الحديد مسبق الإجهاد والحديد العادي عند فشل العتبة ، يمكن تطبيقها على مختلف المقاطع الخرسانية وكما يلي :-

١ - لايجاد عمق محور التعادل للمقاطع الخرسانية المركبة "composite section" تطبق العلاقة (٢٩ - ٢) الواردة في الكود

الأمريكي في الفقرة 10-2

$$c = a / \beta_1$$

٢ - ٢٩

حيث أن :

c = عمق محور التعادل عند الفشل

a = عمق المستطيل المكافئ للإجهاد

أما قيمة β_1 فيمكن إيجادها من المعادلة ٣٠ - ٢

حيث ان :

$$\beta_1 = \sum_k .85 (f'_c A_c \beta_1)_k / F_c \quad ٢ - ٣٠$$

مقاومة انضغاط الاسطوانات الخرسانية = f'_c مساحة المقطع الخرساني = A_c القوة في الخرسانة = f'_c

٢ - لايجاد الانفعال في الحديد تطبق المعادلة ٣١ -

$$\epsilon_i = \epsilon_{cu} (d_i/C - 1) + \epsilon_{i,dec}. \quad ٢ - ٣١$$

حيث ان :

الانفعال في الطبقة "i" من الحديد = ϵ_i اقصى انفعال ضغط في الخرسانة = ϵ_{cu} عمق الطبقة i من الحديد = d_i

الانفعال في الطبقة i من الحديد بعد مرحلة ازالة

الانضغاط عن الخرسانة "after decompression".

٣ - ولايجاد الاجهاد في الحديد يمكن تطبيق المعادلتين (٢ - ٣٢) ،

(٢ - ٣٣) .

$$f_i = \epsilon_i E_s \left[Q + \frac{1-Q}{(1 + \epsilon_i * R)^{1/R}} \right] < f_{pu} \quad ٢-٣٢$$

$$\epsilon_{i*} = \epsilon_i E_s / K f_{py} \quad ٢-٣٣$$

حيث ان :

الاجهاد في الطبقة i من الحديد = f_i الانفعال في الطبقة i من الحديد = ϵ_i معامل مرونة الحديد = E_s ثوابت تعتمد على خواص الحديد = Q, R, K اجهاد خضوع الحديد مسبق الاجهاد = f_{py} اقصى اجهاد شد مباشر للحديد مسبق الاجهاد = f_{pu}

وقد اقترح الباحث Loov (٢٢) في عام ١٩٨٨ معادلات نظرية

تقريبية يمكن استخدامها لحساب اقصى اجهاد في حديد مسبق الاجهاد

" f_{ps} " عند فشل العنصر الانشائي .

وتوصل الباحث الى المقترحات التالية : -

١ - ان متطلبات الكود الامريكي (٣٤) الواردة في الفقرة 18.7.2 من الكود والتي بموجبها توضع حدا اعلى لموقع حديد الانضغاط في المقطع الخرساني (d') لاتناسب جميع الحالات اذ انها لاتضمن وصول حديد الانضغاط الى حالة الخضوع .

وكذلك فقد اقترح الباحث العلاقة (٣٤ - ٢) للتأكد من وصول الاجهاد في حديد الانضغاط الى حالة الخضوع Yield .

$$C > d' / (1 - \epsilon'_y / \epsilon_{cu}) \quad 2 - 34$$

حيث ان :

C = موقع محور التعادل عند الفشل مقاسا من الشريحة المعرضة لاقصى انضغاط .

d' = موقع حديد الانضغاط بالنسبة الى الشريحة المعرضة لاعلى انضغاط .

ϵ'_y = الانفعال في حديد الانضغاط عند وصوله الى حالة الخضوع

ϵ_{cu} = اقصى اجهاد انضغاط للخرسانة عند الفشل .

٣ - اقترح الباحث المعادلة (٣٥ - ٢) لحساب اقصى اجهاد للحديد مسبق الاجهاد " f_{ps} " عند فشل العنصر الانشائي

$$f_{ps} = f_{pu} \left(1 - K_h \frac{C_{sf}}{d_p} \right) / \left(1 + k_h \frac{C_{pu}}{d_p} \right) \quad 2 - 35$$

حيث ان :

f_{pu} = اقصى اجهاد شد مباشر للحديد مسبق الاجهاد

K_h = عامل لتعديل قيم معادلات القطع الزائد

C_{sf} = موقع محور التعادل نتيجة التأثير المشترك لحديد

التسليح العادي والحافة البارزة flange

$$C_p f_{pu} / f_{ps} = C_{pu}$$

C_p = موقع محور التعادل بتأثير الحديد مسبق الاجهاد

d_p = موقع الحديد مسبق الاجهاد

٤ - ٦ - ٢ التميميم على اساس المعايير الخدمية Serviceability

قام الباحثان Naaman and Siriaksorn (٣) في عام ١٩٧٩ باقتراح طريقة لتحليل العتبات الخرسانية المسبقة الاجهاد جزئيا بطريقة التوازن Equilibrium والتوافق compatibility للمقاطع الخرسانية قبل التشقق وبعده .

ولتقدير كمية الاجهاد في العتبات الخرسانية المسبقة الاجهاد جزئيا فقد استحدث الباحثان معاملا يعرف بنسبة الاجهاد الجزئي Partial Prestressing ويرمز له PPR الذي يمثل النسبة بين اقصى عزم يقاومه الحديد مسبق الاجهاد الى اقصى عزم يقاومه الحديد مسبق الاجهاد زيادة على حديد التسليح العادي كما في المعادلة ٢ - ٢ .

واقترح الباحثان استخدام معادلات الكود الامريكي (٣٤) لحساب مساحات الحديد او استخدام المعادلتين (٢ - ٣٦) ، (٢ - ٣٧) .

$$M_u$$

$$A_{ps} = PPR \frac{M_u}{f_{ps} (1 - .59 \bar{w}) \phi} \quad 2 - 36$$

$$1 - PPR$$

$$A_n S = A_{ps} f_{ps} \frac{M_u}{f_y PPR} \quad 2 - 37$$

حيث ان :

$A_n S, A_p$ = مساحات الحديد مسبق الاجهاد وحديد التسليح العادي على التوالي

f_y = اجهاد خضوع حديد التسليح العادي

M_u = اقصى عزم يتحمله المقطع

\bar{w} = معامل التسليح

ثم يتم تحليل المقطع على اساس مقاومته للظروف الخدمية

serviceability بمعادلات اقترحها الباحثان (٣) .

اما الباحث Ghali (٢٣) فقد اقترح في عام ١٩٨٦ معادلات نظرية

لتحليل اجهادات وانفعالات المقاطع الخرسانية المعرضة للقوى

والعزوم الناتجة من الاحمال الخارجية او الناتجة من تسليط الاجهاد على مراحل مختلفة .

وقد اوضح الباحث بانه يمكن تطبيق المعادلات المقترحة على جميع المقاطع الخرسانية وكذلك على المنشآت المحددة سكونيا "statically determinate" وغير المحدده سكونيا "statically indeterminate" .

وبين الباحث انه يمكن حساب التغيرات المعتمدة على الزمن في القوى المتولدة في الحديد مسبق الاجهاد وحديد التسليح العادي بطريقة التوازن والتوافق في انفعالات الخرسانية والحديد دون الاعتماد على معادلات تم ايجادها من بحوث مختبرية .

وقام الباحث Brondum - Nielsen (٢٤) في عام ١٩٨٦ باقتراح سلسلة معادلات نظرية لتحليل اجهادات المقاطع الخرسانية (المتشققة) المسبقة الاجهاد جزئيا او المسلحة تسليحا عاديا تحت تأثير الحالات الحديدية للقوى المحورية والعزوم المتناظرة التي تتعرض لها في الظروف الخدمية .

"Serviceability limit state stress analysis"

وكذلك تحليل تغيرات الاجهاد الناتجة عن الانكماش Shrinkage والزحف creep والارتخاء relaxation .

٥ - ٦ - ٢ التصميم على اساس التحمل الاقصى

Ultimate strength design

قام الباحث Naaman (٢٥) في عام ١٩٨٣ باستخدام طريقة التصميم اللاحطية التقريبية "Approximate nonlinear design" لتصميم المقاطع الخرسانية المسبقة الاجهاد كليا او جزئيا وكذلك لدراسة تصرف تلك المقاطع الخرسانية عند الفشل .

وقد استخدم الباحث منحني الاجهاد والانفعال الحقيقي لحديد مسبق الاجهاد وكذلك فرضيات الكود الامريكي (٣٤) بالنسبة الى

مستطيل الاجهاد المكافيء عند الفشل

"Equivalent rectangular concrete stress block"

ووضع الباحث برنامج حاسبة لمقارنة التماميم اللاخطية التقريبية مع التماميم اللاخطية المضبوطة ، وقد وجد ان الطريقة التقريبية تعطي نتائج اقل من الطريقة المضبوطة بنسبة ١% للتحمل الاقصى للمقطع و ١٣% للثقوس curvature .

وبالمقارنة مع معادلات وفرضيات الكود الامريكي ACI (٣٤) ، فان نتائج الاخير كانت اقل من تلك الناتجة من استعمال التماميم اللاخطية المضبوطة بنسبة ٦% للتحمل الاقصى ، ٥% للثقوس . واستنتج من ذلك بان معادلات الكود الامريكي تعطي نتائج عالية لتقدير قيم الهطول والثقوس والدوران .

واعد الباحث Bachmann (٢٦) عام ١٩٨٤ معادلات تصميمية لتصميم الخرسانة مسبقة الجهد جزئيا على اساس الخبرة السويسرية في هذا المجال من العمل .

ومن اهم الاستنتاجات التي توصل اليها هو ان الخرسانة مسبقة الاجهاد جزئيا التي تسلط عليها قوى شد لاحقة اي بعد تصلب الخرسانة "Post tensioned" تعطي حرية اكبر في التصميم وخاصة من خلال اختيار قطر وعدد وموقع الحديد مسبق الاجهاد . وكذلك بالاعتماد على مساحة الحديد مسبق الاجهاد يمكن اضافة الحديد العادي سواء لاغراض التحمل او للظروف الخدمية .

واقترح كذلك معادلة ٣٨ - ٢ لحساب الشد الاولى P_i .

$$P_i = \frac{1}{\eta} \frac{M_{dec.} + M_{ps}}{e + K} \quad 2-38$$

حيث ان :

η = النسبة التخمينية لقوة السحب المتبقية بعد الفواقد .

$M_{dec.}$ = العزم الذي يرفع الانضغاط عن الشريحة السفلى للخرسانة

M_{ps} = العزم الثانوي (للعبوات غير المحددة سكونيا) .

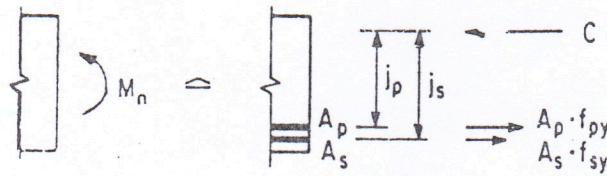
e = المسافة بين مركز ثقل الحديد مسبق الاجهاد ومركز ثقل الخرسانة .

$K =$ درجة الاجهاد وتساوي $M_{dec.} / M_{D+L}$

واقترح ان يحسب اقصى تحمل للعتبات على اساس المعادلة (٣٩ - ٢)

وبموجب الشكل (١١ - ٢)

$$M_n = A_p s f_{py} J_p + A_s s f_y J_s \quad ٢ - ٣٩$$



شكل (٢-١٠) محملة الاجهادات عند التحمل الاقصى

كما في بحث Bachmann

حيث ان :

f_{py} , $f_y =$ اجهاد الخضوع مسبق الاجهاد وحديد التسليح العادي .

اما الباحث Bruggling (٢٧) فقد اقترح في عام ١٩٨٥ طريقة

مبسطة لتصميم المنشآت المسبقة الاجهاد جزئيا .

وقد بين الباحث ان اضافة حديد التسليح العادي الى العتبات

المسبقة الاجهاد توفر امكانية تميم المقاطع الخرسانية بابعاد

واشكال افضل مقارنة مع تصميم تلك المقاطع لتكون مجهدة كلياً ،

بالاضافة الى اعطائها تمرفاً افضل من ناحية الهطول والتشقق واعادة

توزيع الاجهادات .

واقترح الباحث ايضاً بانه لغرض توزيع الشقوق بشكل منتظم

وتقليل عرضها يجب اضافة الحد الادنى من حديد التسليح العادي

للمناطق المعرضة لاجهادات شد .

اما الباحثان Peterson & Tadros (٢٨) فقد قدما في عام ١٩٨٥ طريقة مبسطة لحساب مساحات الحديد مسبق الاجهاد وحديد التسليح العادي للعناصر الانشائية ذات المقاطع المستطيلة التي بشكل حرف T المعرضة لعزوم الانثناء والتي يمكن ان تتشقق في ظروف الاحمال الخدمية .

علاوة على ذلك فقد اقترح الباحثان طريقة مبسطة لحساب التغيرات الحاصلة في الاجهاد بمراحل زمنية مختلفة . وكذلك اشار الباحثان الى ان الاجهاد المتولد في حديد التسليح العادي في مرحلة ازالة الانضغاط عن الخرسانة لايساوي صفرا اذ تكون قيمته مهمة في حسابات الهطول والتشقق .

واقترح الباحثان المعادلتين (٢٠ - ٢١) ،

$$M_s \leq A_{ps}(f_{ps,dec.} + \Delta f_{ps})J_{sdp} + A_{ns}(f_{ns,dec.} + \Delta f_{ns})J_{sds} \quad ٢ - ٢٠$$

$$M_u \leq \phi A_{ps} f_{ps} J_u dp + \phi A_{ns} f_{ns} J_u dns \quad ٢ - ٢١$$

حيث ان :

M_s = عزم الاحمال الخارجية الكلية في الظروف الخدمية

M_u = اقصى عزم Factored moment

A_{ns}, A_{ps} = مساحات الحديد مسبق الاجهاد وحديد التسليح العادي على

التوالي

J_u, J_s = معاملات العمق "d" لايجاد ذراع العزم الداخلي تحت تأثير

الاحمال الخدمية واقصى عزم على التوالي

$f_{ps,dec.}$ = الاجهاد في الحديد مسبق الاجهاد السحب في مرحلة ازالة

الانضغاط عن الخرسانة "decompression"

Δf_{ps} = الزيادة المسموحة في اجهاد الحديد مسبق الاجهاد بعد

مرحلة ازالة الانضغاط عن الخرسانة

Δf_{ns} = التغير المسموح في اجهاد الحديد العادي بعد مرحلة

ازالة الانضغاط عن الخرسانة

f_{ps} = أقصى إجهاد في حديد مسبق الإجهاد عند فشل المقطع

الخرساني

ϕ = عامل تخفيض المقاومة للمواد ومعرف في الفقرة (3 - 9)

في الكود الأمريكي (٣٤) ويساوي ٠.٨، للانحناء .

الخلاصة :

من خلال دراسة البحوث السابقة التي أجريت عن الموضوع يمكن استنتاج ما يأتي :

- ١ - معظم البحوث المتوفرة عن الموضوع اعتمدت على دراسات معاملية Parametric study كمحاولة لدراسة تصرف المقاطع الخرسانية المسبقة الإجهاد كلياً وجزئياً وهذه البحوث افترضت سلوكاً معيناً للمقاطع الخرسانية خاصة عند الفشل وعلى الأخص فيما يتعلق بالتقوس والهطول وعلاقتها بالمتغيرات الأخرى التي تكون صعبة القياس عملياً .
- ٢ - معظم البحوث المتوفرة قدمت دراسات نظرية تهدف إلى اقتراح معادلات نظرية لتحليل أو تصميم المقاطع الخرسانية المسبقة الإجهاد كلياً وجزئياً تكون صالحة لحالات معينة وغير صالحة لحالات أخرى .
- ٣ - تركزت معظم البحوث حول المنشآت المحددة سكوناً .
Determinate structures .
- ٤ - نتائج البحوث العملية المنشورة قليلة نسبياً واغلبها كانت لمقاطع مستطيلة الشكل .
- ٥ - اهتم بعض الباحثين بدراسة تأثير معامل التسليح (\bar{W}) في تصرف الخرسانة التي تمثل متغيرات عديدة من ضمنها مساحتي الحديد مسبق الإجهاد والحديد العادي إذ أنه لم يدرس تأثير كل منهما بشكل منفصل مع تثبيت باقي المتغيرات .
- ٦ - كانت طرق التحميل المتبعة هي بشكل أحمال مركزة في وسط العتبة أو في نقطتين أو أربعة نقاط تحميل .
- ٧ - الجدول (٣ - ٢) يضم أهم المعادلات المقترحة بموجب البحوث السابقة التي تم التطرق إليها .

جدول (٣ - ٢) اهم المعادلات المقترحة من البحوث السابقة

اسم الباحث	اهم المعادلات المقترحة
Du & Tao (١٠) Skogman , Tadros, and Grasmick (١٣)	$f_{ps} = f_{pe} + (786 - 1920 q_0)$ $C/h \leq 120 \leq cu$
Suri and Dilger (١٤)	$W_{max.} = K f_s C_1 \left[\frac{A_t}{A_s} \right]^{0.5}$
Naaman (١٧)	$f_{ps} = \frac{A}{\epsilon_{ps} + B} + \epsilon_{eps} + D$
Brondum-Nielson (١٩)	$Mu = \sum X A_s f_s - f_c \int_{x=0}^{x=\eta_c} X b (X) dx$
Suri and Dilger (٢٠) Naaman and Harajli (٩)	$f_s = M_s - M_{dec.} / [(A_{ps} + A_{ns}) d]$ $f_{ps} = f_{pu} [1 - .3 C / d_u]$ $de = PPR dp + (1 - PPR) ds$
Skogman, Tadros, and Grasmick (٢١)	$f_i = \epsilon_i E_s \left[\frac{1 + Q}{Q + \frac{1 + \epsilon_i * R}{(1 + \epsilon_i * R)^{1/R}}} \right] \leq f_{pu}$ $\epsilon_i * = \epsilon_i E_s / k f_{py}$
Loov (٢٢)	$f_{ps} = f_{pu} \left[\frac{1 - K_h C_{sf}/dp}{1 + K_h C_{pu}/dp} \right]$
Bachmann (٢٦)	$P_i = 1/\eta \quad M_{Dec.} + M_{ps} / (e + k)$
Peterson and Tadros (٢٨)	$Mu \leq \phi A_{ps} f_{ps} J_{udps} + \phi A_{ns} f_{ns} J_{udns}$

الفصل الثالث

الاعتبارات النظرية

مقدمة :-

في هذا الفصل سيتم تعريف بعض المصطلحات الواردة في البحث والمتعلقة بالاجهاد المسبق الكلي والجزئي وكذلك سيتم بيان تأثير اضافة حديد التسليح العادي والحديد مسبق الاجهاد في مطيلية التقوس حسب راي بعض الباحثين كما ستعرض الطرق والمعادلات التي تمت الاستعانة بها لاجراء المقارنة بين النتائج العملية والنظرية .

٢ - ٣ تعاريف

لفرض تخمين شدة الاجهاد في الحديد مسبق الاجهاد في العتبات المسبقة الاجهاد جزئيا فقد استحدث معامل (٣) يمكن ان يعرف بانه نسبة الاجهاد الجزئي "PPR" "Partial Prestressing ratio" او معامل الاجهاد (ip) "Prestressing index" او درجة الاجهاد (k) degree of Prestress

١ - ٢ - ٣ نسبة الاجهاد الجزئي PPR :-

ويمثل النسبة بين اقصى عزم مقاوم من قبل الحديد مسبق الاجهاد الى اقصى عزم مقاوم من قبل الحديد مسبق الاجهاد والحديد العادي كما في المعادلة (٢ - ٢) . وقد اقترحه الباحث Naaman (٣) وهو يمثل قوة الاجهاد في مرحلة التحمل الاقصى .

٢ - ٢ - ٣ معامل الاجهاد ip :-

اقترحه الباحث Thurlimann ويمكن ايجاده من المعادلة (٢ - ٢) ولكن باستعمال اجهاد خضوع الحديد المسبق الاجهاد (f_{py}) بدلا من اقصى اجهاد فيه (f_{ps}) .

٣ - ٢ - ٣ درجة الاجهاد K :

اقترحها الباحث Ramaswamy وهي تعبر عن شدة الاجهاد المعرض له العنصر الانشائي وتعرف بانها النسبة بين العزم الذي يرفع الانضغاط عن الخرسانة الى العزم الناتج عن الاحمال الخدمية الكلية ، كما في المعادلة (٣ - ١) .

وهي تمثل قوة الاجهاد في ظروف الاحمال الخدمية .

$$M_{Dec.}$$

$$k = \frac{M_{Dec.}}{M_D + M_L}$$

(٣-٢)

حيث ان :

$$\text{درجة الاجهاد} = k$$

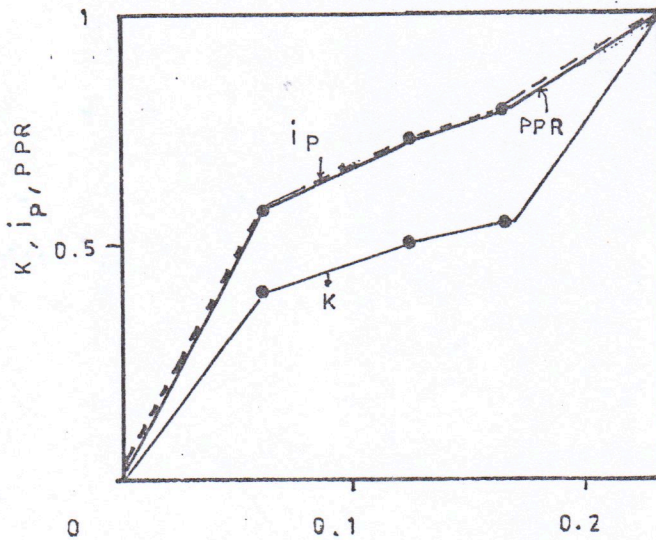
$$M_{Dec.} = \text{العزم الذي يزيل الانضغاط عن الخرسانة}$$

$$M_D, M_L = \text{عزم الاحمال الميتة والاحمال الحية على التوالي}$$

وان قيم PPR ، i_p ، K تتراوح بين الصفر متمثلة بالخرسانة المسلحة تسليحا عاديا والواحد متمثلة بالخرسانة المسلحة المسبقة الاجهاد كليا وقد تم اعتماد التعريف الاول اي نسبة الاجهاد الجزئي في هذا البحث .

ويمكن ملاحظة الاختلاف في التعاريف الثلاثة اعلاه من الشكل

.. (٣ - ١)



$$W_P = \frac{A_P}{b_d} \frac{f_{PS}}{f'_c}$$

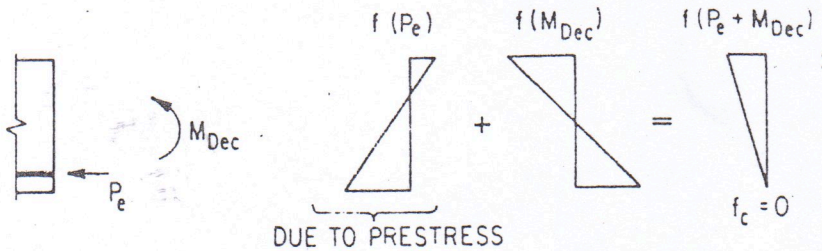
(٣-١) العلاقة بين تعاريف شدة الاجهاد

٣ - ٣ رفع الانضغاط عن الخرسانة decompression :

اختلف الباحثون في التعبير عن مرحلة رفع الانضغاط عن الخرسانة فمنهم من عبر عنها بانها حالة رفع الانضغاط عن المقطع الخرساني ككل (١٥) ومنهم من عبر عنها بانها مرحلة رفع الانضغاط عن الخرسانة في مستوى حديد الشد (١٤) ، وعبروا عنها كذلك بانها مرحلة رفع الانضغاط عن الخرسانة في السطح السفلي (المعرض لقوى الشد) من المقطع الخرساني (٢٦) .

ان عزم الانحناء لجزء من الاحمال الخارجية الذي يعرف بـ "decompression moment" بالاضافة الى ان تأثير الاجهاد الناتج من قوة السحب المؤثرة ، (اي بعد طرح الفواقد) يؤدي الى ازالة الاجهاد عن السطح السفلي للخرسانة (٢٦) كما مبين في الشكل

A. STATICALLY DETERMINATE STRUCTURES



شكل (٣ - ٢) تعريف حالة رفع الانضغاط عن الخرسانة

٣ - ٤ المطيلية ductility :-

تعرف المطيلية بانها قابلية المقطع الخرساني على تحمل تشوهات كبيرة large deformations دون فشل قميف "Brittle failure" . (٢٩)

وهي على جانب كبير من الاهمية في المنشآت غير المحددة سكونيا "indeterminate structures" ان انها تسمح باعادة توزيع الاجهادات .

ويمكن التعبير عن مطيلية العنصر الانشائي بطرق عديدة (١٢، ١١)

كما مبينة في المعادلات ٢ - ٣ ، ٣ - ٣ ، ٣ - ٤ .

$$\mu_{\phi} = \phi_u / \phi_y \quad ٣ - ٢$$

$$\mu_{\theta} = \theta_u / \theta_y \quad ٣ - ٣$$

$$\mu_{\Delta} = \Delta_u / \Delta_y \quad ٣ - ٤$$

حيث ان :

$\mu_{\Delta}, \mu_{\theta}, \mu_{\phi}$ = عوامل مطيلية التقوس ومطيلية الدوران
ومطيلية الهطول .

$\Delta_u, \theta_u, \phi_u$ = التقوس والدوران والهطول عند التحمل الاقصى .

$\Delta_y, \theta_y, \phi_y$ = التقوس والدوران والهطول عند خضوع حديد الشد

العادي .

وقد ذكر الباحثان Naaman & Harajli (١٢) وكذلك الباحثان

Thompson & Park (١١) ان المعادلة ٢ - ٣ هي افضل مايمثل

المطيلية لسببين :-

- ١ - لان مطيلية التقوس تعتمد على خواص المقطع وخواص المواد التي يتكون منها المقطع الخرساني فقط ويمكن حسابها بطريقة اسهل .
- ٢ - يمكن تقدير قيمة مطيلية الدوران والهطول بدلالة مطيلية التقوس على شرط ان تكون خواص المقطع الهندسية والاحمال المسلطة معروفة .

١ - ٤ - ٣ العوامل المؤثرة في المطيلية : (١١ ، ١٢ ، ٣٠)

- ١ - مساحة حديد التسليح العادي والحديد مسبق الاجهاد .
- ٢ - قوة تحمل الخرسانة للانضغاط (f_c) وللشد .
- ٣ - مستوى التقييد level of confinement .
- ٤ - خواص المقطع Properties of section .
- ٥ - علاقة الاجهاد والانفعال للخرسانة والحديد المستعمل .

٢-٤ تحليل الاجهادات باستخدام المعادلات النظرية

سيتم في هذه الفقرة عرض المعادلات النظرية المقترحة من البحوث السابقة التي استخدمت في هذا البحث لفرض اجراء المقارنة بينها وبين النتائج العملية لهذا البحث .

١-٢-٤ حساب التحمل الاقصى :

تم استعمال عدة معادلات لحساب التحمل الاقصى للنماذج المفحومة كما يلي :

١ - معادلة الكود الامريكي (٣٤) المبينة في المعادلة ٢-٥ .

$$M_n = A_p f_{ps} \left(d_p - \frac{\beta_1 c}{2} \right) + A_s f_y \left(d_s - \frac{\beta_1 c}{2} \right) - A'_s f'_s \left(d' - \frac{\beta_1 c}{2} \right) \quad ٢-٥$$

حيث ان :

$$f_{ps} = f_{pu} \left[1 - \frac{\gamma_p}{\beta_1} \left(\rho_p \frac{f_{pu}}{f'_c} + \frac{ds}{dp} (W - W') \right) \right]$$

$$C = A_p f_{ps} + A_s f_y - A'_s f'_s / .85 f'_c \beta_1 b$$

$$\gamma_p = .٤٤ \text{ عندما } f_{py}/f_{pu} = .٨٥$$

$$= .٢٨ \text{ عندما } f_{py}/f_{pu} = .٩$$

$$f_{pu} = \text{اقصى اجهاد شد مباشر للحديد مسبق الاجهاد}$$

$$f_{py} = \text{اجهاد خضوع للحديد مسبق الجهد}$$

$$\beta_1 = .٦٥ \geq .٨٥ - .٠٠٨ (٣٠ - f'_c) \geq .٨٥$$

$$f'_c = \text{قوة انفراط الاسطوانة الخرسانية بابعاد } ١٥٠ \times ٣٠٠ \text{ ملم}$$

$$c = \text{عمق محور التعادل عند الفشل}$$

$$\rho_p = A_p / b d_p$$

$$ds = \text{عمق حديد الشد العادي}$$

$$dp = \text{عمق الحديد مسبق الجهد}$$

$A_s/bds f_y/f'_c$ = معامل تسليح حديد الشد ويساوي W

$A'sf'_c/bds f'_c$ = معامل تسليح حديد ويساوي W'

d' = عمق حديد الانضغاط

$A_s, A's$ = مساحة حديد الانضغاط والشد على التوالي

b = عرض المقطع الخرساني

f_y, f'_c = اجهاد خضوع حديد الشد والانضغاط على التوالي

٢ - تم استعمال معادلة الكود الكندي (٢٦) CSA-A23.3 1984
المبينة في المعادلة (٣-٩).

$$M_n = A_p f_{ps} \left(d_p - \frac{B_1 C_{pu}}{2} \right) + A_s f_y \left(d_s - \frac{B_1 C_{pu}}{2} \right) - A's f'_s \left(d' - \frac{B_1 C_{pu}}{2} \right) \quad ٣-٦$$

$$f_{ps} = f_{pu} \left[1 - \frac{k_p C_{pu}}{d_p} \right] \quad \text{على شرط ان تكون :-}$$

$$C_{pu}/d_p \leq 0.3$$

$$k_p = 3 \left(1 - \frac{f_{py}}{f_{pu}} \right)$$

$$A_p f_{pu} + A_s f_y - A's f'_s$$

$$C_{pu} = \frac{0.85 f'_c \beta_1 b C_{pu}}$$

اما الرموز المستعملة في المعادلة (٣-٦) وملحقاتها فمعرفه
في المعادلة (٣-٩).

٣ - تم استعمال المعادلة التي اقترحها الباحثان

Naaman & Harajli (٩) والمبينة في المعادلة (٣-٢٨)

٤ - اما بالنسبة للباحث Loov (٢٤) فقد استخدم معادلة الكود
الامريكي نفسها لحساب التحمل الاقصى (٣-١٠) الا ان الاختلاف كان في
حساب مفردات المعادلة المبينة في المعادلة (٣-٧).

$$f_{ps} = f_{pu} \left[\frac{1 - k_h C_{sf}/d_p}{1 + k_h C_{pu}/d_p} \right] \quad ٣ - ٧$$

حيث ان :

$$k_h = 2 (1.04 - f_{py} / f_{pu})$$

$$C'_{s}/d_p = A_s f_y / .85 \beta_1 f'_c b d_p$$

$$C_s/d_p = A_s f_y / .85 \beta_1 f_c b d_p$$

$$C_{sf}/d_p = C_s / d_p - C'_{s} / d_p$$

$$C_{pu}/d_p = A_p f_{pu} / .85 \beta_1 f'_c b d_p$$

اما الرموز الاخرى فمعرفة في المعادلة (٣ - ٥)

٣ - ٥ - ٢ حساب المطيلية :-

تم استخدام المعادلات النظرية التي اقترحها الباحثون السابقون لغرض تقدير مطيلية المقاطع الخرسانية التي سيتم اجراء المقارنة بينهما كما مبينة في الجدول (١ - ٣).

جدول (١ - ٣)

المعادلات المقترحة من البحوث السابقة لقياس المطيلية التي تم استخدامها في هذا البحث

المعادلة	نوع الخرسانة	تسلسل الطريقة المتبعة
$f_{max.} < .75 \left(b + \frac{f_s}{f_y} \right)$ $b = .85 \frac{f'_c}{f_y} \left(\frac{600}{600 + f_y} \right)$	خرسانة ملحة عادية	١ الكود الامريكي (٣٤)
$W_p + \frac{d}{d_p} (W - W') = W < .36$ <p>حيث ان :</p> $W_p = A_p f_{ps} / b d f'_c$ $W' = A_s f_y / b d f'_c$ $W = \frac{A_n f_y}{b d f'_c}$	خرسانة مسبقة الاجهاد	
$C / d < 600 / 600 + f_y$	خرسانة مسلحة عادية	٢ الكود الكندي A 23.3 1984 (٣٦)
$C/h < 0.5$	خرسانة مسبقة الاجهاد	
$C/d_e < 0.42$ <p>حيث ان d_e معرفة في المعادلة ١٢ - ٣</p>	للخرسانة المسلحة العادية ومبسقة الاجهاد	Naaman (١٧)
$C/h < 120 \epsilon_{cu}$	للخرسانة المسلحة العادية ومبسقة الاجهاد	Loov (٢٢)
<p>معادلة الكود الامريكي (٣٤) نفس</p> $0.85 a/d_{ps} < .36 \beta_1$	خرسانة مسلحة عادية	ACI-318 1986 supplement to commentary
	خرسانة مسبقة الاجهاد	

٣-٤ - حساب عزم الانحناء عند شق عرضه ٣.٣ ملم :-

تم حساب عزم الانحناء عند شق عرضه ٣.٣ ملم نظريا باستعمال المعادلة التي اقترحها الباحثان Suri and Dilger (20) وهي المعادلة (٢٣ - ٢) المستخدمة في المصدر (٢٩).

وقد تم حساب اجهاد الحديد عند الاحمال الخدمية "f_s" بطريقتين

١ - باستعمال معادلة الكود الامريكي (٣٤) (4 - 10)

وكما يلي : (٢٩)

$$Z = f_s \sqrt[3]{d_c A} \quad 3 - 8$$

حيث ان :

f_s = اجهاد الحديد العادي عند الاحمال الخدمية

Z = مقدار يحدد توزيع التسليح = ٢٠

d_c = سمك الغطاء الخرساني المؤثر

A = المساحة المؤثرة للخرسانة الواقعة في منطقة الشد

والمحيطة بكل حديد تسليح .

٢ - باستعمال معادلة "CEB - FIP" (٣٥)

وكما يلي :-

$$W_s = (f_s - 40) \times 10^{-3} \quad 3 - 9$$

حيث ان :

W_s = اقصى عرض مسموح به للشقوق في ظروف الاحمال الخدمية ويساوي

هنا ٣.٣ ملم

f_s = اجهاد الحديد العادي في الظروف الخدمية عند شق عرضه ٣.٣ ملم

٤-٤ - حساب فواقد قوة الاجهاد Prestress Losses :-

لتخمين مقدار التشوهات المعتمدة على الزمن

Time dependent deformation فقد تم استعمال المعادلات (١٠٦ - ٣)

(١١ - ٣) (١٢ - ٣) لتقدير قيمة فواقد قوة الاجهاد الناتجة عن

تأثير الانكماش Shrinkage والزحف creep والارتخاء relaxation

على التوالي (١٦ ، ٣١)

$$\epsilon_{sh} = t / b+t \epsilon_{cu} k_{sh} k_{ss} \quad ٣ - ١٨$$

$$C_c(t) = t^{0.6} / 10+t^{0.6} C_{cu} k_{ch} k_{cs} \quad ٣ - ١٩$$

$$f_r = f_{pi} \text{Log}(t_0) / 45 \quad (f_{pi} / f_{py} - .55) \quad ٣ - ١٣$$

حيث ان :

$$\epsilon_{sh}(t) = \text{انفعال الخرسانة في الزمن } (t) \text{ بتأثير الانكماش}$$

$$t = \text{الزمن ويقاس بالايام}$$

$$\epsilon_{cu} = \text{اقصى انفعال في الخرسانة بتأثير الانكماش}$$

$$k_{ch}, k_{sh} = \text{عوامل تصحيح تعتمد على الرطوبة النسبية لتأثير}$$

الانكماش والزحف على التوالي .

$$K_{cs}, K_{ss} = \text{عوامل تصحيح تعتمد على شكل وابعاد المقطع لتأثيري}$$

الانكماش والزحف على التوالي .

$$C_c(t) = \text{معامل الزحف في الزمن } (t)$$

$$k_{sh} = \text{عامل تصحيح على زمن الفحص .}$$

$$f_r = \text{الفواقد نتيجة الارتخاء .}$$

$$f_{pi} = \text{قوة الاجهاد الاولى}$$

$$t_0 = \text{الزمن ويقاس بالساعات .}$$

$$f_{py} = \text{اجهاد خضوع الحديد مسبق الاجهاد .}$$

الفصل الرابع

البرنامج العملي

١ - ٤ المقدمة :-

تضمن البرنامج العملي لهذا البحث صب وفحص اربعة عشر نموذجاً من العتبات الخرسانية المستطيلة الشكل ذات مقطع 350×175 ملم المسبقة الجهد جزئياً بدرجات اجهاد تتراوح بين الصفر والواحد "Partially Prestressed beams" زيادة على الفحص الاولي test Pilot الذي من خلاله تم التعرف على عملية تسليط الاجهادات والحقن بمونة السمنت وكذلك على عملية الفحص .

وقد كانت جميع العتبات مسندة اسناداً بسيطاً Simply supported على فضاء صافٍ مقداره (٣٠٠٠) ملم تم تحميلها بحمل كلي في وسط العتبة وكان توزيعه على نقطتين تبعدان ٥٠٠ ملم عن منتصف العتبة . وقد كان العمق المؤثر "Effective depth" للحديد مسبق الاجهاد والعادي ٢٥٣ ملم ، ٢٩٧ ملم على التوالي ، وقد كانت هذه الاعماق ثابتة لجميع نماذج الفحص .

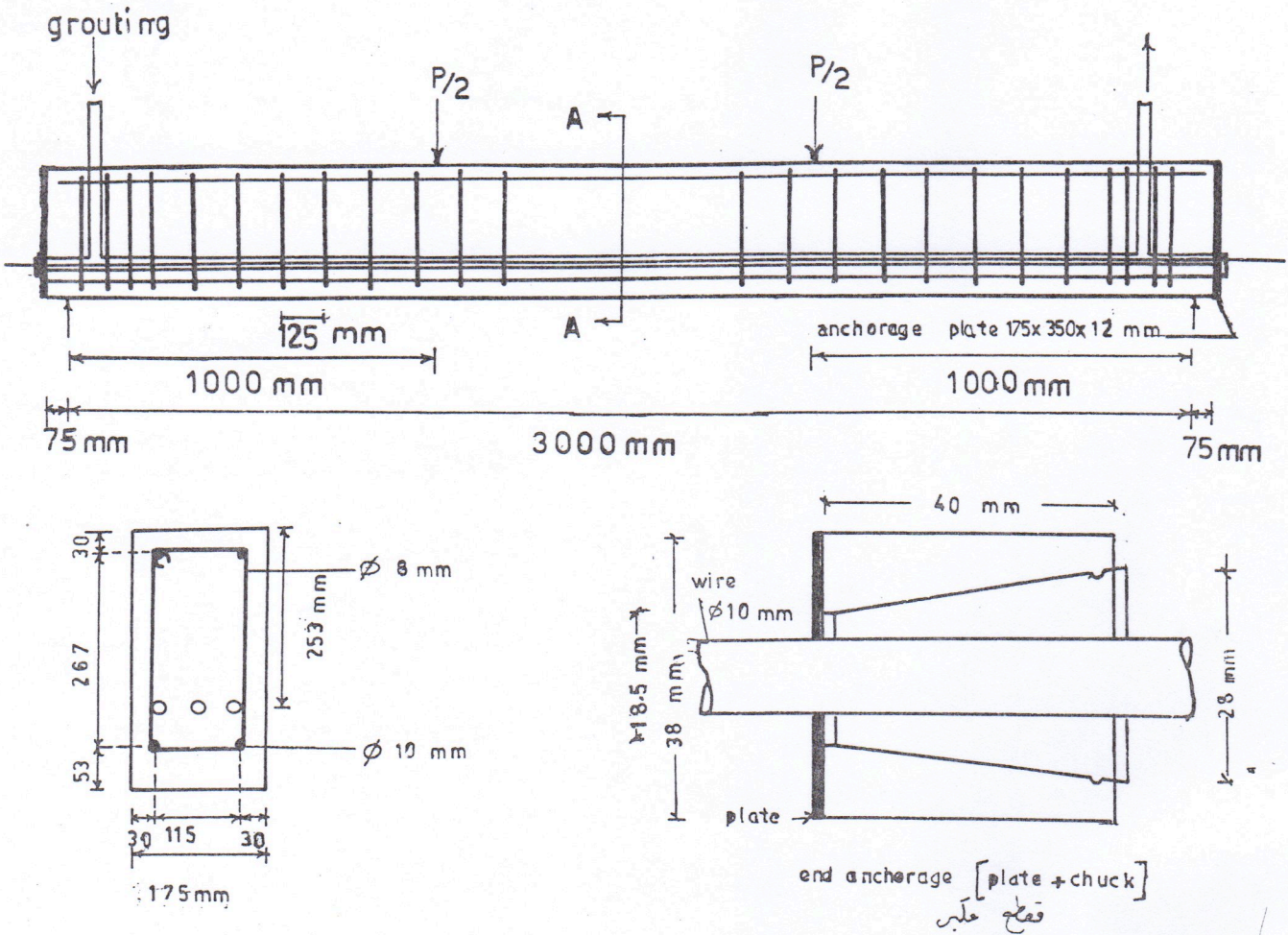
والشكل (١ - ٤) يوضح ابعاد كل نموذج مع مواقع التسليح . وقد كان اجهاد الشد المسلط على كل سلك wire يعادل تقريباً $0.7f_{pu}$. لجميع النماذج ، حيث ان f_{pu} = تمثل اقصى اجهاد شد مباشر لحديد مسبق الاجهاد .

وتم توزيع النماذج الخرسانية على اربع مجاميع أ، ب، ج، د حسب متغيراتها ، كما مبينة في الجدول (٢ - ٤) .

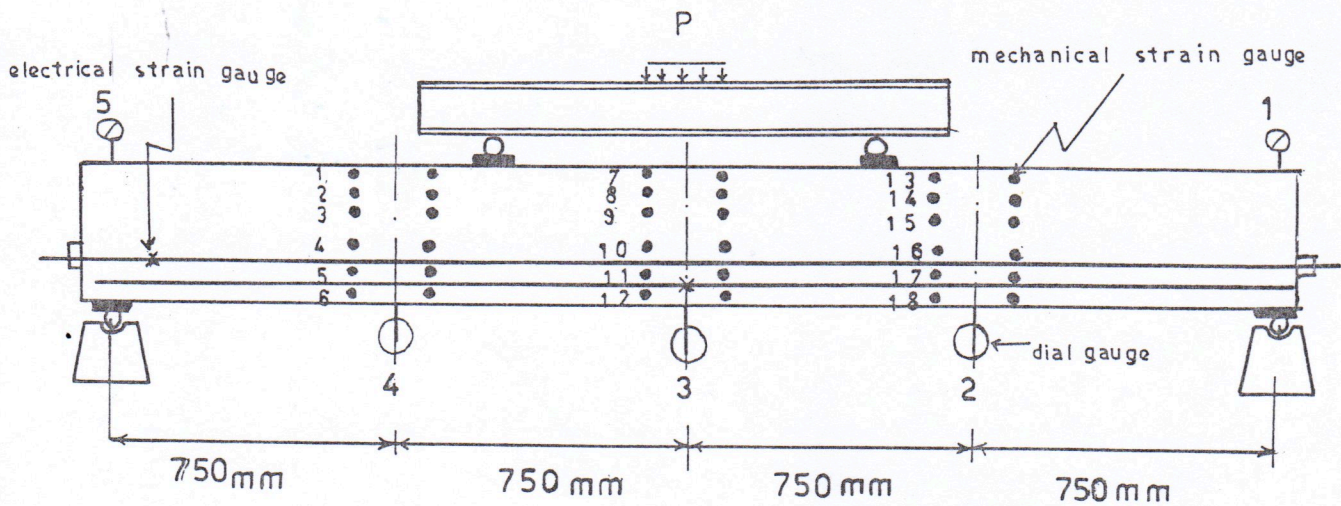
٢ - ٤ المتغيرات المعتمدة في البحث :-

- ١ - مساحة مقطع الحديد مسبق الاجهاد .
 - ٢ - مساحة مقطع حديد التسليح الاعتيادي المخرز .
- والجدول (١ - ٤) يوضح تفاصيل العتبات التي تم صبها

اما المتغيرات الرئيسية فانها مبينة في الجدول (٢ - ٤) .



الشكل ٤-١ ابعاد وتسليح نماذج البحث مع موقع فتح مونة السمنت



الشكل (٤-٢) طريقة تحميل النماذج مع مواقع اجهزة القياس

جدول ١ - ٤ تفاصيل نماذج العتبات التي تم صبها

النموذج	مساحة مقطع الحديد مسبق الاجهاد ملم ^٢	مساحة مقطع حديد التسليح العادي ملم ^٢
A1	—	٧٨ر٥٤ ١.٠∅ ٢
A2	٧٨ر٥٤ ١.٠∅ ١	٧٨ر٥٤ ١.٠∅ ٢
A3	١٥٧ر٦٨ ١.٠∅ ٢	٧٨ر٥٤ ١.٠∅ ٢
A4	٢٣٥ر٦٢ ١.٠∅ ٢	٧٨ر٥٤ ١.٠∅ ٢
A5	٣١٤ر١٦ ١.٠∅ ٤	٧٨ر٥٤ ١.٠∅ ٢
A6	٣١٤ر١٦ ١.٠∅ ٤	—
B1	١٥٧ر٦٨ ١.٠∅ ٢	—
B2	١٥٧ر٦٨ ١.٠∅ ٢	٢٣٥ر٦٢ ١.٠∅ ٢
B3	١٥٧ر٦٨ ١.٠∅ ٢	٣١٤ر١٦ ١.٠∅ ٤
B4	١٥٧ر٦٨ ١.٠∅ ٢	٣٩٢ر٧ ١.٠∅ ٥
C1	٧٨ر٥٤ ١.٠∅ ١	٥٥٩ر.٨ ١٦∅ ٢ + ١.٠∅ ٢
C2	—	٨٠٤ ١٦∅ ٤
D1	٧٨ر٥٤ ١.٠∅ ١	٣١٤ر١٦ ١.٠∅ ٤
D2	٧٨ر٥٤ ١.٠∅ ١	٤٧١ر٢٤ ١.٠∅ ٦

جدول ٢ - ٤ المتغيرات الرئيسية في النماذج

المتغيرات		النموذج	الثابت	المجموعة
عدد و قطر حديد الشد العادي	عدد و قطر حديد مسبق الاجهاد			
$1.0 \text{ } \phi \text{ } 2$ $1.0 \text{ } \phi \text{ } 2$ $1.0 \text{ } \phi \text{ } 2$ $1.0 \text{ } \phi \text{ } 2$ $1.0 \text{ } \phi \text{ } 2$ $1.0 \text{ } \phi \text{ } 2$ $1.0 \text{ } \phi \text{ } 2$	$1.0 \text{ } \phi \text{ } 1$ $1.0 \text{ } \phi \text{ } 2$ $1.0 \text{ } \phi \text{ } 3$ $1.0 \text{ } \phi \text{ } 4$ $1.0 \text{ } \phi \text{ } 4$	A ₁ A ₂ A ₃ A ₄ A ₅ A ₆	مساحة حديد تسليح الشد العادي A _{ns}	ا
$1.0 \text{ } \phi \text{ } 1$ $1.0 \text{ } \phi \text{ } 2$ $1.0 \text{ } \phi \text{ } 2$ $1.0 \text{ } \phi \text{ } 4$ $1.0 \text{ } \phi \text{ } 5$	$1.0 \text{ } \phi \text{ } 2$ $1.0 \text{ } \phi \text{ } 2$ $1.0 \text{ } \phi \text{ } 2$ $1.0 \text{ } \phi \text{ } 2$ $1.0 \text{ } \phi \text{ } 2$	B ₁ A ₃ B ₂ B ₃ B ₄	مساحة حديد مسبق الاجهاد A _p	ب
$1.0 \text{ } \phi \text{ } 1$ $1.0 \text{ } \phi \text{ } 2$ $1.0 \text{ } \phi \text{ } 4$ $1.0 \text{ } \phi \text{ } 2$ $1.0 \text{ } \phi \text{ } 2$ $1.0 \text{ } \phi \text{ } 4$	$1.0 \text{ } \phi \text{ } 4$ $1.0 \text{ } \phi \text{ } 2$ $1.0 \text{ } \phi \text{ } 2$ $1.0 \text{ } \phi \text{ } 1$ $1.0 \text{ } \phi \text{ } 1$	A ₆ A ₄ B ₃ C ₁ C ₂	التحمل الاقصى M _{ux}	ج
$1.0 \text{ } \phi \text{ } 2$ $1.0 \text{ } \phi \text{ } 2$ $1.0 \text{ } \phi \text{ } 2$ $1.0 \text{ } \phi \text{ } 4$ $1.0 \text{ } \phi \text{ } 1$	$1.0 \text{ } \phi \text{ } 4$ $1.0 \text{ } \phi \text{ } 2$ $1.0 \text{ } \phi \text{ } 2$ $1.0 \text{ } \phi \text{ } 1$ $1.0 \text{ } \phi \text{ } 1$	A ₅ A ₄ A ₃ D ₁ D ₂	عرض الشقوق بحيث لا تزيد عن ٣ر٠ ملم	د

٣ - ٤ المواد المستعملة

١ - ٣ - ٤ حديد التسليح :

استعمل حديد مسبق الاجهاد قطر ١٠ ملم لجميع النماذج وكذلك تم استعمال قضبان حديد عادي مخرز deformed bars لجميع النماذج علاوة على استعمال حديد عادي امس للاطواق . وتم اجراء فحص الشد المباشر لثلاثة نماذج من كل نوع من انواع الحديد لتحديد اجهاد الخضوع f_y والمقاومة القصوى f_{cu} ومعامل المرونة E_s ان الشكل ٣-٤ يوضح علاقة الاجهاد مع الانفعال للحديد المستعمل والجدول (٣ - ٤) يبين معدل النتائج المستحصلة من فحوصات الحديد .

الجدول (٣ - ٤) تفاصيل ومواصفات الحديد المستعمل

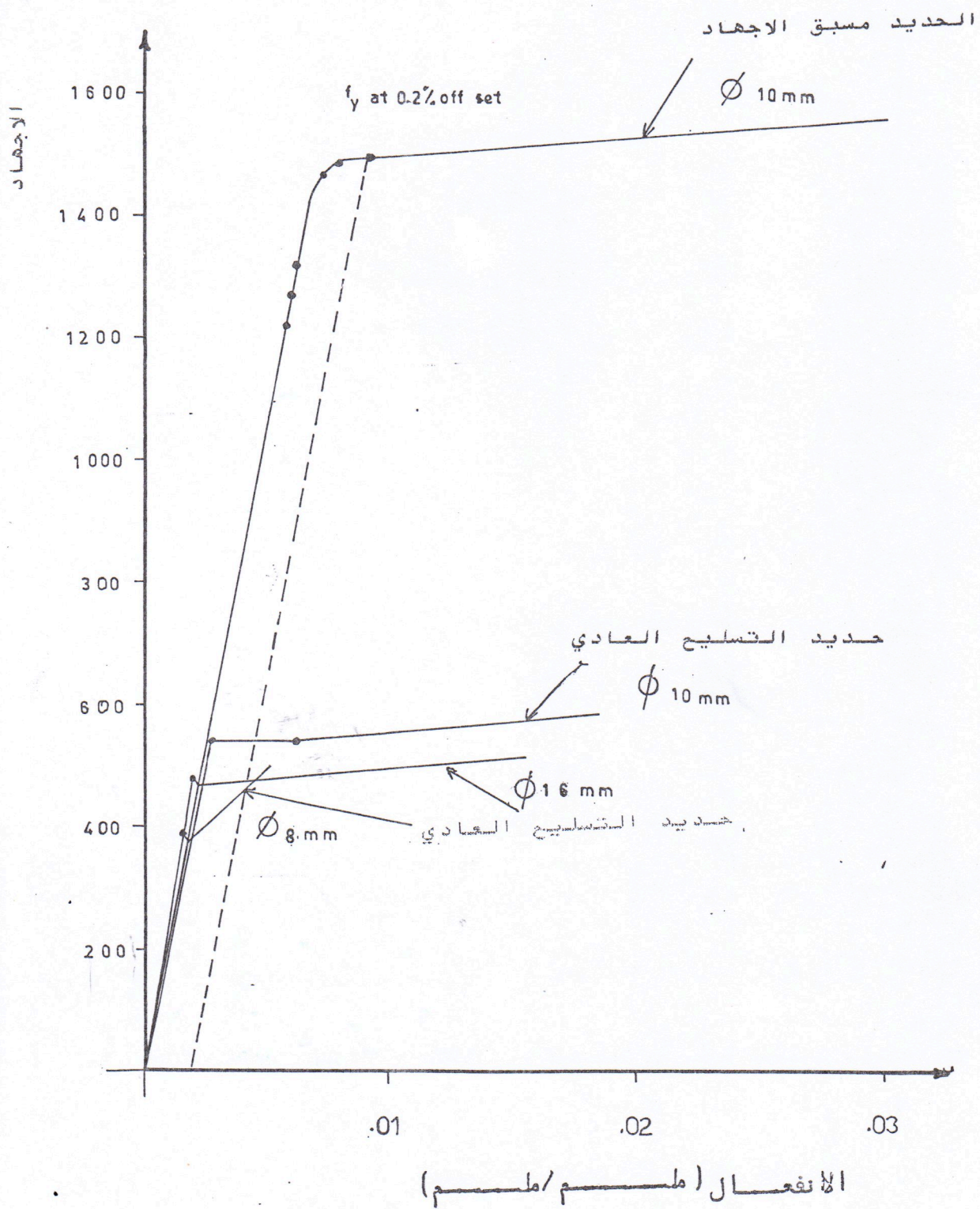
حديد مسبق الاجهاد قطر ١٠ ملم	حديد عادي مخرز		حديد عادي امس قطر ٨ ملم	
	قطر ١٦ ملم	قطر ١٠ ملم		
١٤٩٠	٤٨٢	٥٤٣ر٦٧	٣٧٥ر٢٠	اجهاد الخضوع ميكا باسكال f_y
٤ر٥٢	٢ر١	٣ر٤	٣ر٩٤	الانحراف المعياري
١٥٥٣ر٣٥	٧١٦	٨٥٥ر٦	٥١١ر٢٨٥	المقاومة القصوى ميكا باسكال f_{cu}
٥ر٦	٢ر٣	٢ر٨	٤ر٢	الانحراف المعياري
٢١٠ر٦٤	٢١٤ر٢٢	٢٠٧ر١٠٤	٢١٤ر٤	معامل المرونة E_s جيكا باسكال

٢ - ٣ - ٤ الاسمنت :-

تم استعمال اسمنت بورتلاندي من النوع العادي ومن معمل كنيصة .

٣ - ٣ - ٤ الحصى :-

تم استعمال حصى مكسر وكان اقصى مقاس له (١٢) ملم وكان



الشكل (٤-٣) علاقة الاجهاد والانفعال للحديد المستعمل

مطابقا للتحليل المنخلي للمواصفات البريطانية BS-882-973
والمواصفات الامريكية ASTM-C33-78 .

٤ - ٣ - ٤ الرمل :-

تم استعمال الرمل الاصفر المأخوذ من مقالع كربلاء وكان واقعا
ضمن منطقة التدرج الثالثة ، وفق المواصفات البريطانية القياسية
. BS-822-1973

٥ - ٣ - ٤ الخرسانة :-

تم اختيار خلطة خرسانية ثابتة بنسبة وزنية تساوي ١:١.٥:٣
وكانت نسبة الماء الى الاسمنت ٤٠٪ لغرض الحصول على معدل مقاومة
تحمل (f'_c) تساوي تقريبا (٤٢) ميكاسباسكال ، ولاءطاء الخليط قابلية
تشغيل Workability جيدة فقد تم اضافة ملدن من نوع (MELMENT L10)
بنسبة ٣.٥ ٪ من وزن الاسمنت وكذلك تم استعمال مؤخر من
نوع () لمعادلة تأثير الماء بنسبة ٢.٥ ٪ من وزن
الاسمنت .

٤ - ٤ القوالب المستعملة :-

عمل قالب حديدي واحد بابعاد داخلية ١٧٥ x ٣٥٠ x ٣١٥٠ ملم
لصب جميع النماذج وتألف من حديد زاوية قياس ٥٠ x ٥٠ x ٥٠ ملم
وصفائح حديدية سمك ٤ ملم كما موضح في الشكل (٤ - ٤) .

٥ - ٤ فحوص السيطرة :-

شملت فحوص السيطرة قياس قوة الانضغاط والشد والانثناء ومعامل
المرونة ومعامل التمدد بموجب المواصفات الامريكية
. ASTM C78-75, ASTM C469-65, ASTM C496-71, ASTM-C39-72

وقد فحمت قوة الانضغاط ثلاث اسطوانات لكل نموذج بعمر ١٤ يوما
لحساب قوة الشد المطلوبة للحديد مسبق الاجهاد .

وقد فحمت جميع النماذج المتبقية بعمر ٣٠ يوما وفي يوم فحص
النماذج نفسه ، وقد كانت نماذج الفحص بضمن نماذج السيطرة ترش
بالماء وتغطى بالقماش والنايلون في ظروف المختبر الداخلية لمدة
٢٨ يوما ، الجدول (٤ - ٤) يوضح عدد قوالب نماذج السيطرة
وابعادها .

جدول ٤ - ٤ عدد قوالب نماذج السيطرة وابعادها

نوع الفحص	مقاومة الانضغاط f لعمر ١٤ يوما	مقاومة الانضغاط fc لعمر ٣٠ يوما	مقاومة الانضغاط مقاومة الشد fcu لعمر ٣٠ يوما	مقاومة الانضغاط ft	مقاومة الانثناء fr	معامل المرونة Ec
عدد نماذج السيطرة وابعادها	٣ نماذج احطوانية ٣٠٠ x ١٥٠ x ١٥٠ ملم	٣ نماذج احطوانية ٣٠٠ x ١٥٠ x ١٥٠ ملم	٣ نماذج مكعبة ١٥٠ x ١٥٠ x ١٥٠ ملم	٣ نماذج احطوانية ٣٠٠ x ١٥٠ x ١٥٠ ملم	٢ نماذج موشورين ٢٠٠ x ١٠٠ x ١٥٠ ملم	نموذج موشوري واحد ١٠٠ x ١٠٠ x ٥٠٠ ملم

٦ - ٤ أجهزة القياس :-

تم استخدام مقياس الانفعالات الميكانيكي "Mechanical strain gauge" من نوع "Demce" بطول ٢٠٠ ملم لقياس الانفعالات الأفقية للخرسانة . وقد تم استعمال مادة لاصقة لتثبيت الاقراص الخاصة بعد تعيين مواقع اخذ قراءات الانفعال ثم حولت هذه القراءات الى انفعال بمعامل خاص بالمقياس ، حيث تمثل كل تدرجة فيه انفعال مقداره ١٠ x ٨١ - ٧ .

اما فيما يخص حديد التسليح العادي فقد تم استعمال مقياس انفعالات كهربائي لنماذج المجموعة (أ) فقط (لعدم توفرها بالكميات الكافية) وبطول ٦ مم في منطقة الوسط لقياس الاجهادات المتولدة عندما يصل عرض الشق الى ٣،٠ ملم .

وتم التأكد من قوة الشد المطلوبة للحديد مسبق الاجهاد باستعمال مقياس انفعال كهربائي بطول ١٠ ملم لنماذج المجموعة (أ) .

اما قيم الهطول فقد تم قياسها باستعمال مقاييس قرصية dial gauges ذات حساسية ٠،٠٢ ر، ملم لقياس هطول لنماذج في اثناء التحميل .

٤-٨- هيكـل التحميل :-

تم فحص النماذج باستعمال ماكنة هيدروليكية لتسليط الاحمال من نوع "Avery" ذات سعة مقدارها ٢٤٥٠ كيلونيوتن . وتتكون الماكنة بصورة رئيسية من مكبس متحرك من الاسفل الى الاعلى وعتبة حديدية تتحرك على سكة يمكن بها ادخال العتبة واخراجها من الماكنة ، ويوضع على السطح العلوي للعتبة الحديدية مسندان متحركان ارتفاع كل منهما ٣٠٠ ملم وتتم عملية تسليط الاحمال من ماكنة الفحص الى النموذج عبر عتبة حديدية ذات مقطع بشكل حرف "I" تستند على اسطوانتين صلدتين موضوعتين على صفيحتين سمك كل منهما ١٠ ملم تثبتان على النموذج لمنع تركيز الاجهادات تحت منطقتي التحميل . أما النموذج فيستند على وسادتين معدنيتين بأبعاد ١٠٠x١٧٥x١٠ ملم تستندان على مسددين يثبتان بواسطة لواب على القاعدة الحديدية . ويوضح الشكل (٤-٨) طريقة تحميل النماذج .

٤-٨-١- المكانن المختبرية لفحص نماذج السيطرة :-

وتشمل :

- ١ - ماكنة هيدروليكية لتسليط الاحمال من نوع Avery بسعة مقدارها ٢٠٠٠ كيلو نيوتن لفحص مقاومة انفراط الخرسانة وانشطارها بسرعة تحميل ١٣ر٢ ميكانيوتن / م٢ . دقيقة ، ٢١٢ ميكانيوتن / م٢ . دقيقة على التوالي .
- ٢ - ماكنة هيدروليكية من نوع Avery سعة ١٠٠ كيلو نيوتن لعرض معامل تصدع الخرسانة .
- ٣ - استعملت ماكنة فحص نموذج العتبة لفحص معامل المرونة للخرسانة .

٤-٩- مراحل تهيئة النموذج :-٤-٩-١- تهيئة القوالب والتسليح :-

يتم تنظيف القوالب من بقايا الخرسانة الملتصقة بها نتيجة عملية الصب السابقة ثم يعاد ربطها وطلاء جميع سطوحها الداخلية بطبقة من الزيت .

ويتم قطع وربط وشد حديد التسليح العادي ووضعه في القالب .
ثم يتم وضع وتثبيت الانابيب "ducts" التي يمر منها الحديد مسبق
الاجهاد وعملت فتحتان قرب نهايتي كل انبوب لاجراء عملية حقن مونة
السمنت كما في الشكل (٤-٤) زيادة على لصق مقاييس الانفعال
الكهربائية على الحديد العادي (لنماذج المجموعة أ) وبعدها
يسلط اجهاد شد على الحديد مسبق الاجهاد بمقدار قليل جدا فقط
لوضعه بشكل افقي ولمنع هطوله قبل عملية الصب وفي اثنائها .

٤-٩-٢ - الصب :-

بعد الانتهاء من المرحلة السابقة توزن المواد اللازمة للخلطة
الخرسانية وتخلط باستعمال خباطة ميكانيكية ذات سعة مقدارها
٣ م . ٠٨ ، ثم تنقل الى القالب ونماذج السيطرة وترص جيدا
باستخدام هزازه كهربائية نوع Pocker vibrator ذات قنبيب قطره ٣٠ ملم .
وبعد اجراء عملية الصب تجرى عملية الانتهاء بمالج خشبي ثم
تغطى النماذج لمنع تبخر الماء منها .

٤-٩-٣ - المعالجة Curing :-

بعد يوم واحد من عملية الصب يتم ازالة قوة الشد القليلة
المسلط على الحديد مسبق الاجهاد وكذلك يتم فتح جوانب القالب
وقوالب نماذج السيطرة - ويغطى النموذج (بالجنفاص) المبلل
بالماء ، وبعد يومين يرفع النموذج من القالب ويغطى بالقماش
المبلل والنايلون لمدة ٢٨ يوم ..

٤ - ٩ - ٤ - عملية تسليط اجهاد الشد وحقن مونة الاسمنت

Prestressing and grouting

بعد مرور (١٣) ثلاثة عشر يوما على صب النموذج ومعالجته يتم
تخطيط النموذج لتعين مواقع تثبيت مقاييس الانفعال الميكانيكية ،
وينظف جانبي النموذج ثم يتم لصق مقاييس الانفعال الميكانيكية ،
وتترك النماذج لتجف لمدة يوم واحد .
اما بالنسبة لنماذج المجموع (f) فينظف الحديد مسبق الاجهاد

في اماكن لصق مقاييس الانفعال الكهربائية بشكل تام لازالة الصدا
والمواد الدهنية التي قد تكون عالقة بها ثم يتم تثبيت مقاييس
الانفعال الكهربائية بمادة لاصقة خاصة بها .

ثم تقرأ مقاييس الانفعال الميكانيكية والكهربائية قبل تسليط
اجهاد الشد وبعده .

وبعد العملية الانفة الذكر بيوم واحد تحقن مونة السمنت بنسبة
وزنية ١ : ٤ر، سمنت / ماء وبضغط مقداره ١٠ جو وتجرى العملية
بمرحلتين الاولى حقن المونة حتى تخرج المونة من الناحية الاخرى
بكثافة الدخول نفسها حتى يخرج الهواء من الانابيب البلاستيكية ثم
تغلق الفتحة النهائية وتضخ المونة من جديد لغرض رصها بشكل جيد
وجعلها متماسكة ومتداخلة .

٥ - ٩ - ٤ تهيئة النماذج وفحصها :-

يتم ايقاف عملية المعالجة قبل يومين من اجراء فحص النموذج
ثم يتم صبغه باللون الابيض لتسهيل رؤية التشققات التي تحمل اثناء
الفحص ، تلمق المفاتيح المعدنية في مواضع المقاييس القرصية ، ثم
يرفع النموذج باستخدام رافعة كهربائية ويوضع على المساند
البسيطة المعدة له ثم توضع العتبة الحديدية الخاصة لنقل الحمل
من الجهاز الى النموذج فوق نقطتي التحميل وتثبت المقاييس
القرصية وتؤخذ القراءات الاولى لمقاييس الانفعال الميكانيكية
والقرصية والكهربائية للحديد العادي والحديد مسبق الاجهاد من
المجموعة الاولى .

ثم تتم عملية تسليط الاحمال وعلى مراحل بمقدار يتراوح من
٣ كيلونيوتن الى ١٠ كيلونيوتن لكل مرحلة ، وتسجل في كل مرحلة
قراءات كافة المقاييس وتؤشر الشقوق ونموها الى حد الفشل .

نتائج البرنامج العملي

١-٥ مقدمة :-

يتضمن هذا الفصل استعراضاً للنتائج المحتملة من الفحوص المختبرية للنماذج الخرسانية المسلحة تحت تأثير الاحمال المسلطة مع قياس الانفعالات الخرسانة وحديد التسليح وقياس الهطول والتقوس وكذلك بيان شكل الفشل وتطور الشقوق ونموها علاوة على نتائج فحوص السيطرة .

٢ - ٥ التحمل الاقصى للعتبات الخرسانية وكفاءتها :-

تم تحميل النماذج الخرسانية باحمال ساكنة مركزة Static concentrated loads في نقطتين تبعد كل منهما عن الاخرى وعن المساند "L/3" حيث ان "L" تمثل طول النموذج، وعلى مراحل اذ كانت قيمة الاحمال المسلطة لكل مرحلة تتراوح من ٣ - ١٠ كيلونيوتن ولحين وصول النموذج الى قوة تحمله القصوى .

والجدول (١ - ٥) يوضح عزم الانحناء عند حدوث التشقق الاول وعزم الفشل وعزم التصميم والكفاءة التصميمية لتحمل النماذج التي تم فحصها .

وتعرف كفاءة تحمل النموذج بانها نسبة عزم فشل النموذج الى عزم التصميم للنموذج .

وقد تم حساب عزم التصميم للمقطع الخرساني بموجب الطرق

التالية المذكورة في الفصل الثالث :-

- ١ - معادلة الكود الامريكي (٣٤) والمرقمة (٥ - ٣) وملحقاتها .
- ٢ - معادلة الكود الكندي (٢٢) والمرقمة (٦ - ٣) وملحقاتها .
- ٣ - المعادلة التي اقترحها الباحثان Naaman and Harajli (٩) والمرقمة (٢٨ - ٤) وملحقاتها .
- ٤ - المعادلة التي اقترحها الباحث Loov (٢٢) وهي معادلة الكود

الامريكي (٤-٥) نفسها ولكن بحساب "f_{ps}" بموجب المعادلة المقترحة (٩-١٢) .

ومن متطلبات الامان في المنشآت الخرسانية ان تساوي الكفاءة ١٠٠% او اكثر منها .

٥-٣ سلوك النماذج وتصرفها اثناء التحميل :-

فيما يلي وصف موجز لسلوك نماذج العتبات الخرسانية وتصرفها اثناء التحميل مع مراحل ظهور التشققات وتطورها علاوة على عزم الانحناء الاقصى .

١-٥-٣ المجموعة الاولى أ :-

وتمثل هذه المجموعة ست عتبات خرسانية (A₆, A₅, A₄, A₃, A₂, A₁) تم تغيير مساحة الحديد مسبق الاجهاد فيها لمعرفة تأثير ذلك في سلوك العتبات . مع تثبيت مساحة حديد التسليح العادي فيها (A₆) وكانت بنسب اجهاد جزئية متفاوتة تتراوح من الصفر الى الواحد اي من الخرسانة المسلحة تسليحا عاديا المتمثلة بالعتبة A₁ الى الخرسانة المسبقة الاجهاد كليا والمتمثلة بالعتبة A₆ ، وبمستويات مختلفة من معامل التسليح (\bar{W}) كما في الجدول (٤-٥) ، وقد كان كل سلك من الاسلاك مسبقا الاجهاد معرفة الى اجهاد شد يساوي 7f_{pu} . تقريبا، وبتسليط الاحمال ظهر التشقق الاول في منطقة العزم الثابت . وابتداء الفشل بخضوع حديد التسليح العادي (ما عدا A₆) وتبعها تهشم الخرسانة في السطح العلوي بسبب الانفطام .

النموذج A₁ :-

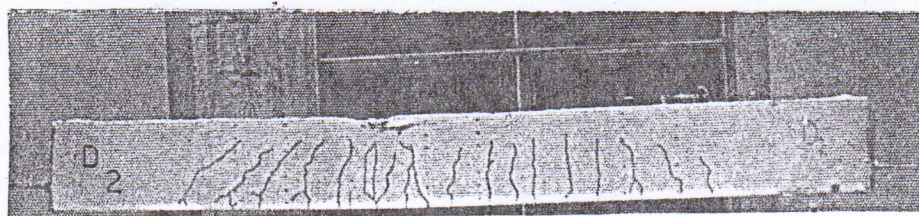
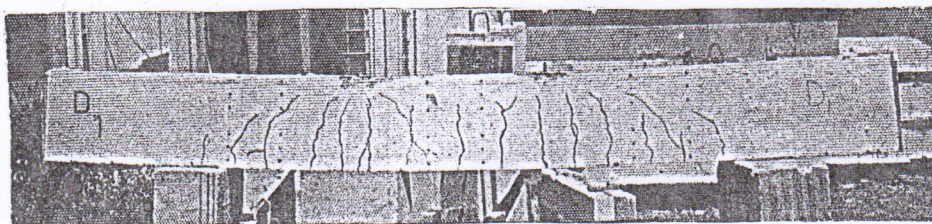
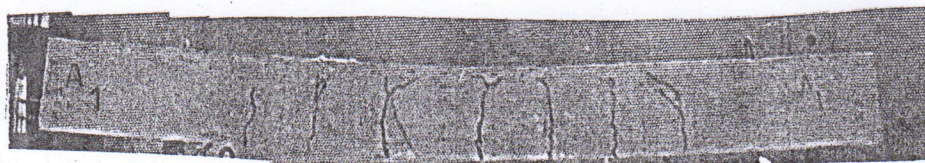
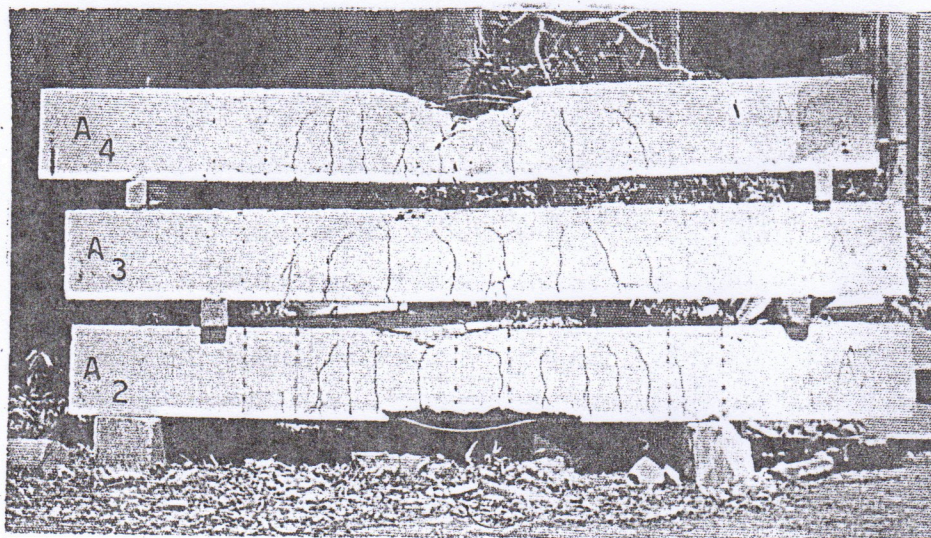
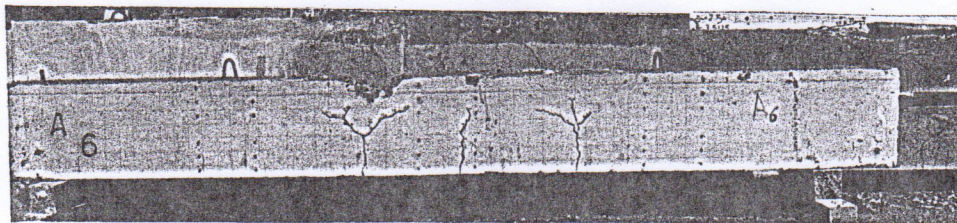
يمثل هذا النموذج عتبة خرسانية مسلحة تسليحا عاديا اي انها ذات درجة اجهاد تساوي صفرا .

وقد ظهر التشقق الاول عند عزم انحناء قدره (٢٥٠٢) كيلونيوتن - متر .

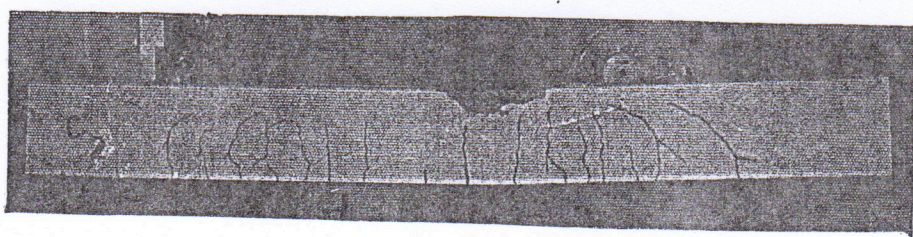
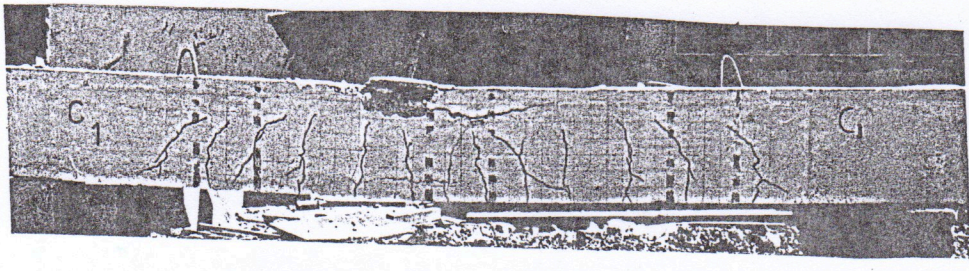
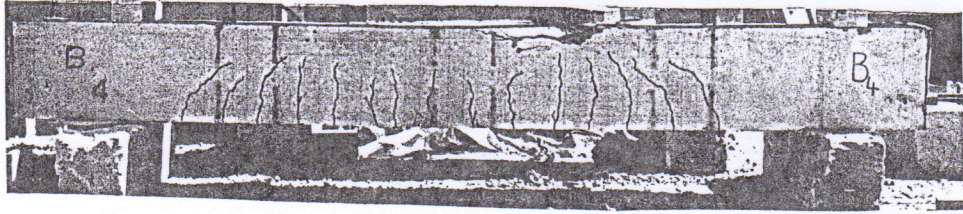
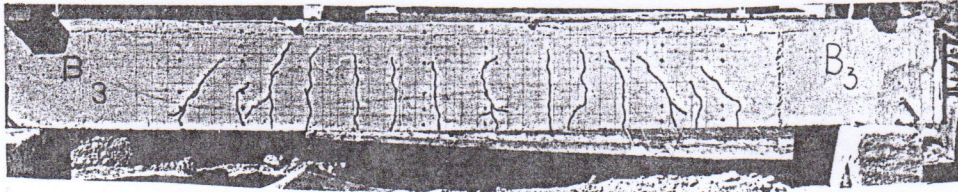
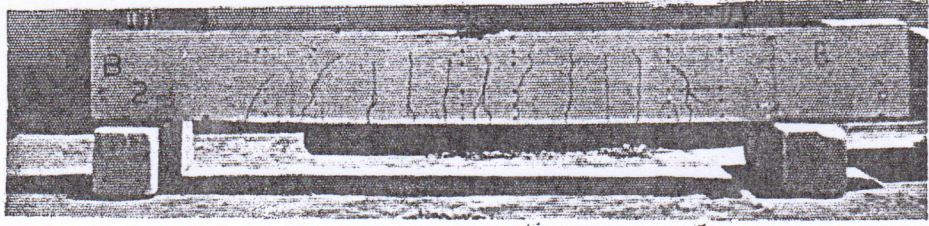
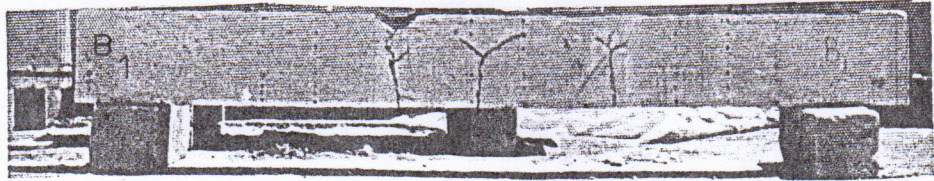
وباستمرار تحميل النموذج بشكل تدريجي حدث الفشل بسبب خضوع حديد التسليح العادي عند عزم انحناء قدره (٣٧٧٥)

جدول (٥-٢) قيم معامل التسليح ونسبة الإجهاد الجزئي

نعمان (٩)		الكود الأمريكي (٣٤)		النموذج
معامل التسليح نسبة الإجهاد الجزئي PPR	\bar{W}	معامل التسليح نسبة الإجهاد الجزئي PPR	\bar{W}	
٠	٠,٠٩	٠	٠,٩٧	A ₁
٠,٥٨	٠,١٤٤	٠,٥٧	٠,٧٢٨	A ₂
٠,٧٢٩	٠,١٧١٤	٠,٧٢٨	٠,٨	A ₃
٠,٧٩٨	٠,٢٢٥	٠,٨	٠,١٨١	A ₄
٠,٨٣٦	٠,١٩	٠,٨٣٧	٠,٢٣٧	A ₅
١	٠,١٩	١	٠,٢٣٥	A ₆
١	٠,١١	١	٠,١٢٦	B ₁
٠,٦٤	٠,١٥	٠,٦٤	٠,١٥١	B ₂
٠,٥٦٩	٠,١٧	٠,٥٧		B ₃
٠,٥١٢	٠,١٨٧	٠,٥١٤	٠,١٩٧	B ₄
٠,٢٨٩	٠,١٦٤	٠,٢٩	٠,١٨٥	C ₁
٠		٠	٠,١٥٦	C ₂
٠,٤٠٥	٠,١٢	٠,٤	٠,١٣٢	D ₁
٠,٣٠٨	٠,١٥	٠,٣١	٠,١٧	D ₂



المورة (١ - ٥) فشل النماذج الخرسانية



للمة الصورة (١ - ٥) فشل النماذج الخرسانية

كيلونيوتن - متر كما موضح في الشكل (١ - ٥) والصورة (١-٥) .

النموذج A2 :-

يمثل هذا النموذج عتبة خرسانية مسبقة الاجهاد جزئيا تحتوي على سلك واحد مسبق الاجهاد "Prestressing wire" وقد كان المقطع الخرساني معرضا الى قوة اجهاد تقدر بـ (٨١٧٥٠) كيلونيوتن وبنسبة اجهاد جزئية (PPR) تساوي (٠,٥٧) تقريبا .
وقد ظهر التشقق الاول عند عزم انحناء قدره (٣٢٧١٥) كيلونيوتن - متر في منطقة العزم الثابت .
اما الفشل فقد حدث عند عزم انحناء قدره (٧٢) كيلونيوتن - متر كما في الشكل (١ - ٥) والصورة (١-٥)
اما الفواقد فقد احتسبت بطرق نظرية وكانت بنسبة ٣ % من قوة الاجهاد الاولية .

النموذج A3 :-

يمثل هذا النموذج عتبة خرسانية مسبقة الاجهاد جزئيا تحتوي على سلك مسبق الاجهاد عدد (٢) .
وكان المقطع الخرساني معرضا الى قوة اجهاد تقدر بـ (١٦٣ر٥) كيلونيوتن وبنسبة اجهاد جزئية (PPR) تساوي (٠,٧٢٨) تقريبا .
وقد ظهر التشقق الاول عند عزم انحناء قدره (٤٧٧١٥) كيلونيوتن - متر في منطقة العزم الثابت ، اما الفشل فقد حدث عند عزم انحناء قدره (٨٥) كيلونيوتن - متر كما في الشكل (١ - ٥) والصورة (١-٥) . وكانت الفواقد بنسبة ٣٩ % من قوة الاجهاد الاولية .

النموذج A4 :-

يمثل هذا النموذج عتبة خرسانية مسبقة الاجهاد جزئيا تحتوي على سلك مسبق الاجهاد عدد (٣) وكان المقطع الخرساني معرضا الى

قوة اجهاد تقدر بـ (٢٤٥٢٥) كيلونيوتن وبنسبة اجهاد جزئية (PPR) تساوي (٠,٧٩٨) وقد ظهر التشقق الاول عند عزم انحناء قدره (٥٨٢١) كيلو نيوتن - متر في منطقة العزم الثابت ، اما الفشل فقد حدث عند عزم انحناء قدره (١٢٠,٠) كيلونيوتن -متر كما في والمورة (١-٤) وكانت الفواقد بنسبة ٣٥% من قوة الاجهاد الاولى

النموذج A5 :-

يمثل هذا النموذج عتبة خرسانية مسبقة الاجهاد جزئيا تحتوي على اربعة اسلاك مسبقة الاجهاد .

حيث كان المقطع الخرساني معرضا الى قوة اجهاد تقدر بـ (٣٢٧) كيلونيوتن وبنسبة اجهاد جزئيا (PPR) تساوي (٠,٨٣٧) تقريبا وقد ظهر التشقق الاول عند عزم انحناء قدره (٦٧١٥ ر٦٧) كيلونيوتن - متر اما الفشل فقد حدث عند عزم انحناء مقداره (١٣١١) كيلونيوتن - متر كما في الشكل (١ - ٥) والمورة (١-٤) . وكانت الفواقد بنسبة ٣٥% من قوة الاجهاد الاولى .

النموذج A6 :-

يمثل هذا النموذج عتبة خرسانية مسبقة الاجهاد كلياً تحتوي على اربعة اسلاك مسبقة الاجهاد .

وقد كان المقطع الخرساني معرضاً الى قوة اجهاد تقدر بـ (٣٢٧) كيلونيوتن وبنسبة اجهاد جزئية (PPR) تساوي (١) وقد ظهر التشقق الاول عند عزم انحناء قدره (٧٢٧١٥ ر٧٢) كيلونيوتن - متر . اما الفشل فقد حدث عند عزم انحناء قدره (١٠٩٥ ر١٠) كيلونيوتن - متر . كما في الشكل (١ - ٥) والمورة (١-٤) . وكانت الفواقد بنسبة ٣٥% من قوة الاجهاد الاولى .

٢ - ٣ - ٥ المجموعة الثانية ب :

تمثل هذه المجموعة العتبات الخرسانية (B4, B3, B2, A3, B1) .

وهي عتبات خرسانية مسبقة الاجهاد تم تثبيت مساحة مقطع الحديد مسبق الاجهاد فيها وتغيير مساحة مقطع حديد الشد العادي لمعرفة تاثير ذلك في تصرف الخرسانة .

وقد كانت نسبة الاجهاد الجزئية للنماذج مختلفة وكذلك معاملات التسليح (\bar{W}) كما في الجدول (٥-٢)

وقد كان اجهاد الشد على كل سلك يساوي $7f_{pu}$ تقريبا لكل النماذج ، اما قوة الاجهاد المسلطة على مقطع خرساني فقد كانت تساوي (١٦٣٥) كيلونيوتن تقريبا لكل النماذج ايضا . وابتداء الفشل بخضوع حديد التسليح العادي (ما عدا B_1) وتبعها

تهشم الخرسانة في السطح العلوي بسبب الانفطاط Secondary Compression failure .

النموذج B_1 :-

ويمثل هذا النموذج عتبة خرسانية مسبقة الاجهاد ذات نسبة اجهاد جزئية تساوي ١ تحتوي سلكين مسبقي الاجهاد . وقد ظهر التشقق الاول عند عزم انحناء قدره (٤٣٧٥) كيلونيوتن - متر . اما الفشل فقد حدث عند عزم انحناء قدره (٦٠٢) كيلونيوتن - متر كما في الشكل (٥-٢) والصورة (٥-١) .. وكانت الفواقد بنسبة ٣٨% من قوة الاجهاد الاولى

النموذج B_2 :-

ويمثل هذا النموذج عتبة خرسانية مسبقة الاجهاد جزئيا ذات نسبة اجهاد جزئية تساوي (٠,٦٤) تقريبا تحتوي على سلكين مسبقي الاجهاد .

وقد ظهر التشقق الاول عند عزم انحناء قدره (٤٧٧١٥) كيلونيوتن - متر اما الفشل فقد حدث عند عزم انحناء قدره (٩٥٠) كيلونيوتن - متر كما في الشكل (٥-٢) والصورة (٥-١) . وكانت الفواقد بنسبة ٣٨% من قوة الاجهاد الاولى .

النموذج B_3 :-

ويمثل هذا النموذج عتبة خرسانية مسبقة الاجهاد جزئيا ذات

نسبة اجهاد جزئية تساوي (٥٧,٠) تقريبا وتحتوي على سلكين مسبقه
الاجهاد .

وقد ظهر التشقق الاول عند عزم انحناء قدره (٤٨٧١٥)
كيلونيوتن - متر اما الفشل فقد حدث عند عزم انحناء قدره
(١٠٧٠ -) كيلونيوتن - متر كما في الشكل (٢-٥) والمورة
(١-٥) . وكانت الفواقد بنسبة ٣٩% من قوة الاجهاد الاولى .

النموذج B₄ :-

ويمثل هذا النموذج عتبة خرسانية مسبقة الاجهاد جزئيا ذات
نسبة اجهاد جزئية تساوي (٥١٤,٠) تقريبا وتحتوي على سلك مسبق
الاجهاد عدد (٢) .

وقد ظهر التشقق الاول عند عزم انحناء قدره (٥٢٧١٥)
كيلونيوتن - متر اما الفشل فقد حدث عند عزم انحناء قدره
(١٢٥٠٠ -) كيلونيوتن - متر كما في الشكل (٢-٥) والمورة
(١-٥) . وكانت الفواقد بنسبة ٣٨% من قوة الاجهاد الاولى .

٥-٣-٣ المجموعة الثالثة ج :-

تمثل هذه المجموعة العتبات (C₂, C₁, B₃, A₄, A₆)

التي لجميعها التحمل الاقصى نفسه تقريبا .

والهدف منها هو دراسة اختلاف درجات الاجهاد لعتبات لها

التحمل الاقصى نفسه .

وقد كانت نسب الاجهاد الجزئية تتراوح بين الصفر متمثلة

بالعتبة C₂ والواحد متمثلة بالعتبة A₆ ، وبمعاملات تسليح (\bar{W})

مختلفة كما في الجدول (٢-٥) ، اما الاجهاد المسلط على كل سلك فقد

كان يساوي ٠.7f_{pu} تقريبا .

وابتداء الفشل بخضوع حديد التسليح العادي (ما عدا A₆) وتبعها

تهشم الخرسانة في السطح العلوي بسبب الانفطاط Secondary Compression

.failure

النموذج C₁ :-

ويمثل هذا النموذج عتبة خرسانية مسبقة الاجهاد جزئية بنسبة

اجهاد جزئية تساوي (٢٩ر٠) تقريبا .
وتحتوي على سلك واحد مسبق الاجهاد . اما قوة الاجهاد المسلطة
على المقطع الخرساني فتساوي (٨١٧٥) كيلونيوتن تقريبا .
وقد ظهر التشقق الاول عند عزم انحناء قدره (٣٧٥)
كيلونيوتن - متر اما الفشل فقد ظهر عند عزم انحناء قدره
(١١١١٥) كيلونيوتن - متر . كما في الشكل (٥٢-٥١) والمورة
(٥-١) وكانت الفواقد بنسبة ٣ % من قوة الاجهاد الاولية .

النموذج C₂ :-

ويمثل هذا النموذج عتبة خرسانية مسلحة تسليحا عاديا اي
بنسبة اجهاد جزئية تساوي صفر .
وقد ظهر التشقق الاول عند عزم انحناء قدره (٢١٧١٥)
كيلونيوتن - متر اما الفشل فقد حدث عند عزم انحناء قدره
(١١٦) كيلونيوتن - متر بسبب خضوع حديد تسليح الشد العادي .
كما في الشكل (٥٢-٥١) والمورة (٥-١)

٥-٣-٤ المجموعة الرابعة د :-

وتمثل هذه المجموعة عتبات خرسانية مسبقة الاجهاد جزئيا
وتشمل (A₅, A₄, A₃, D₂, D₁) وتقارن مع بعضها لعرض شقوق تساوي ٣ر٠ ،
ملم، حيث كان الاجهاد المسلط على كل سلك من الاسلاك مسبقة الاجهاد
يساوي ٠.7f_{pu} . تقريبا وابتداء الفشل بخضوع حديد التسليح العادي
وتبعها تهشم الخرسانة في السطح العلوي بسبب الانفطاط Secondary

Compression failure

النموذج D₁ :-

ويمثل هذا النموذج عتبة خرسانية مسبقة الاجهاد بنسبة اجهاد
جزئية تساوي (٤ر٠) تقريبا ، تحتوي على سلك واحد من الاسلاك
المسبقة الاجهاد .
وقد كانت قوة الاجهاد المسلطة على المقطع الخرساني تساوي
(٨١٧٥) كيلونيوتن .

وقد ظهر التشقق الاول عند عزم انحناء قدره (٢٧٧١٥) كيلونيوتن - متر اما الفشل فقد حدث عند عزم انحناء قدره (٨٦) كيلونيوتن - متر كما في الشكل (٢ - ٥) والصورة (١-٥) ، وكانت الفواقد بنسبة ٢٩% من قوة الاجهاد الاولى .

النموذج D₂ :-

يمثل هذا النموذج عتبة خرسانية مسبقة الاجهاد بنسبة اجهاد جزئية تساوي (٠,٣١) تقريبا ، وتحتوي على سلك واحد من الاسلاك المسبقة الاجهاد .

وقد كانت قوة الاجهاد المسلطة على المقطع الخرساني تساوي (٨١٧٥) كيلونيوتن تقريبا .

وقد ظهر التشقق الاول عند عزم انحناء قدره (٣٢٨) كيلونيوتن - متر اما الفشل فقد حدث عند عزم انحناء قدره (١٠٦,٥) كيلونيوتن - متر . كما في الشكل (٢ - ٥) والصورة (١-٥) او كانت الفواقد بنسبة ٣١% من قوة الاجهاد الاولى .

٤ - ٥ نتائج الانفعالات في الخرسانة والحديد :-

تم قياس الانفعالات الطولية للنماذج الخرسانية باستعمال مقياس الانفعالات الميكانيكي وفي المواقع المبينة في الشكل (٢ - ٤) لجميع النماذج وكانت الانفعالات تمثل انفعالات شد في الاسفل وانضغاط في الاعلى .

وقد تم قياس الانفعالات المتولدة في الخرسانة نتيجة عملية الاجهاد Prestressing في مواقع مختلفة على طول العتبة (شكل (١ - ٤) والاشكال من (٣ - ٥) الى (٥ - ٥) تبين توزيع تلك الانفعالات على المقطع الوسطي ، والمقطع الواقع على مسافة ٧٥٠ ملم من وسط العتبة (من الجانبين) .

والاشكال من (٦ - ٥) الى (٩ - ٥) توضح تغير الانفعالات

باختلاف مستويات عزوم الانحناء للعتبات (C₁, B₂, A₅, A₄) .
 وقد اختيرت هذه العينة من النماذج لتتوب عن باقي العتبات
 وذلك لاستيفائها بتوضيح المطلوب .
 اما توزيع الانفعالات الافقية على مقاطع طولية من العتبات
 باختلاف مستويات عزم الانحناء فموضحة بالاشكال من (١٠ - ٥) الى
 (١٤ - ٥) .

علاوة على ذلك فقد تم قياس الانفعالات المتولدة في الحديد مسبق
 الاجهاد بعد عملية السحب مباشرة حيث تم ايجاد قوة الشد فيها
 ومقارنتها مع ما يؤشره جهاز السحب ، وكانت النتيجة ان متقاربتي
 جدا .

ولم تؤخذ قراءاتها خلال عملية التحميل نظرا لان التغير فيها
 قليل جدا لانها موضوعة على بعد ١٥ سم من المسند .
 وقد تم توضيح الانفعالات المتولدة في حديد الشد العادي في
 الاشكال (١٥ - ٥) ، (١٦ - ٥) للعتبات A₄, A₃ .
 اما للعتبات الباقية فان مقاييس الانفعال الكهربائية لم تعمل
 كما ينبغي ويبدو ان الاسلاك المتصلة بها قد قطعت في اثناء عملية
 الصب .

٥ - ٥ نتائج الهطول مع علاقة الهطول بالحمل الكلي :-

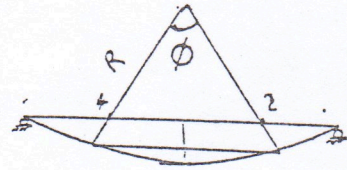
تم قياس الهطول (deflection) في المواقع الخمسة المبينة في
 الشكل (٢ - ٤) باستعمال الاقراص المدرجة .
 والاشكال من (١٧ - ٥) الى (١٩ - ٥) توضح علاقة الهطول مع
 الاحمال المسلطة لجميع النماذج ولجميع النقاط المبينة في الشكل (٢ - ٤) .

اما الاشكال من (٢٠ - ٥) الى (٢٢ - ٥) فانها توضح علاقة
 الهطول بمستويات مختلفة من الاحمال على طول النموذج .

٥-٦ التقوس وعلاقته بعزم الانحناء :-

تم قياس قيم التقوس لجميع النماذج اعتمادا على قراءات المقاييس القرصية المدرجة وذلك باخذ معدل قراءتي المقاييس (٤.٢) والذين يبعدان مسافة ١٥٠٠ ملم عن بعضهما ، ثم يتم طرح قراءة المقياس (٣) منهما ، والناتج يرمز له بـ " ϕ " ثم يتم حساب نصف قطر الدوران "R" وكذلك التقوس من العلاقة ادناه والشكل وقد تم اعتماد هذه الطريقة دون الطرق الاخرى (طريقة توزيع الانفعالات) لسهولتها ولاستخدامها لاغراض المقارنة فقط.

$$\phi = 1/R = 1 / (g^2 + a^2 / 2g)$$



حيث ان :

a = المسافة الفاصلة بين المقاييس القرصية (٤.٢) ومنتصف العتبة

والاشكال عن (٤٣-٥) و (٤٦-٥) توضح تغير التقوس بزيادة عزم الانحناء

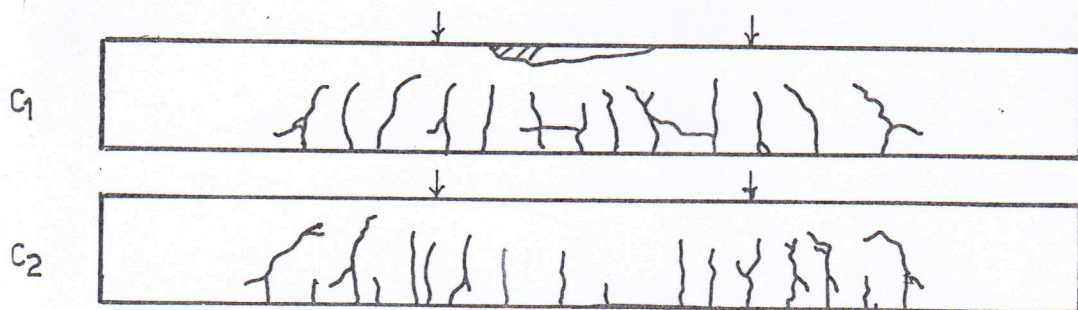
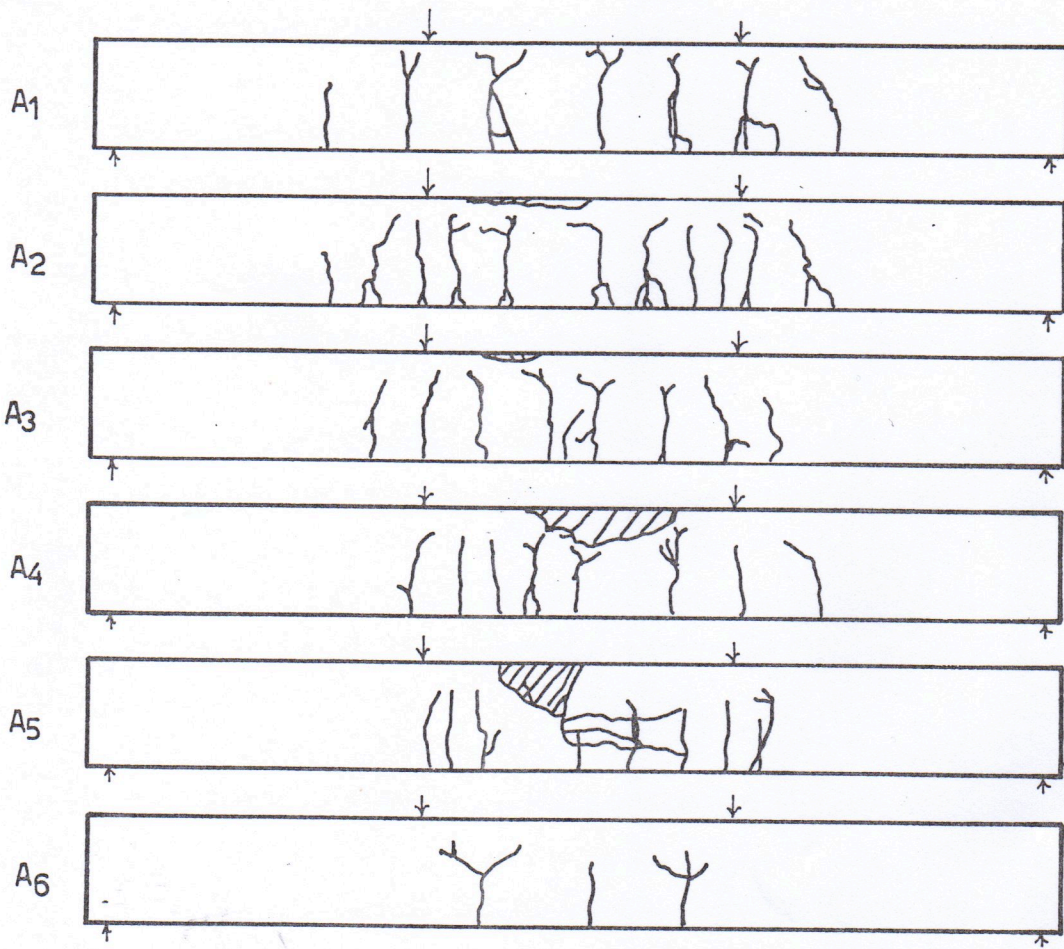
الى مرحلة قريبة من الفشل .

٥-٧ نتائج التشقق :-

تم قياس عرض الشق في حالتين :- الاولى عند وصوله الى عرض يساوي ٣ر ملم ، والثانية عند التحمل الاقصى للنماذج وذلك باستعمال عدسة مكبرة مع القدمة Vernier . وقياس ادنى مسافة بينية واقماها crack spacing تفصل الشقوق عن بعضها ، وسيتم مناقشة نتائج التشققات في الفصل السادس.

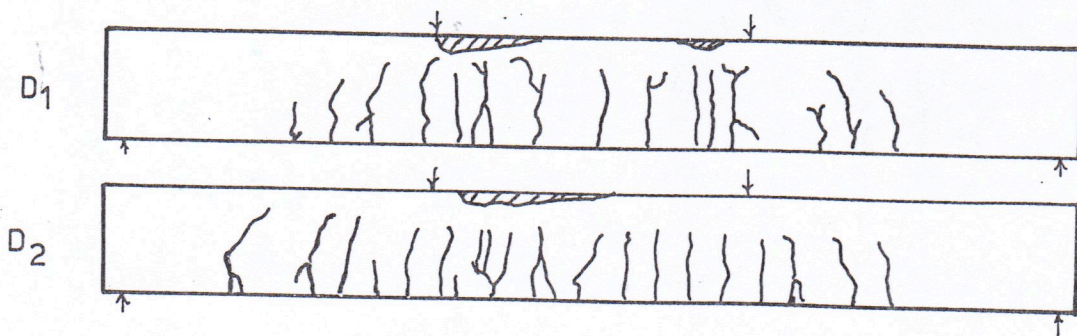
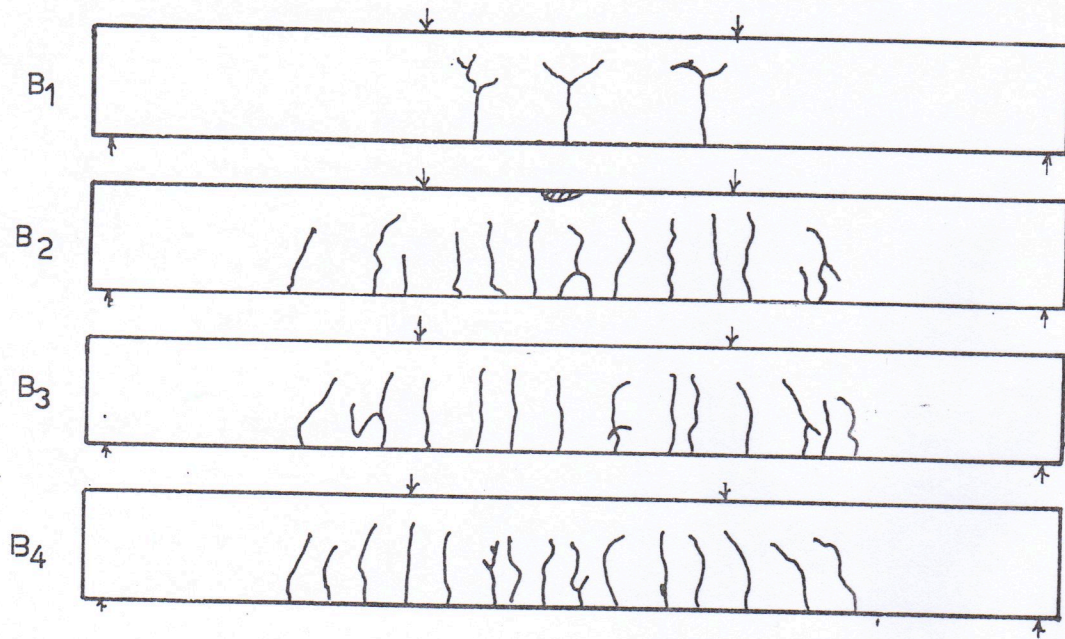
٥-٨ نتائج فحوص السيطرة :-

يعطي الجدول (٥-٣) نتائج الفحوصات لنماذج السيطرة التي تمثل فحوص الانفجاط والشد والانثناء ومعامل المرونة للنماذج الخرسانية مع معدل الانحراف المعياري في كل فحص .



الشكل (١-٥) فشل وتطور التشققات للنماذج (A6 - A1)

(C2 , C1).

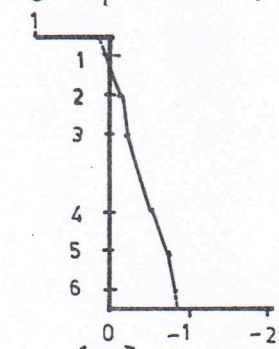
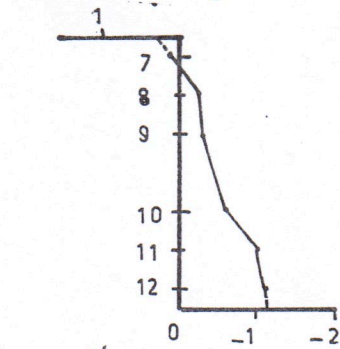


الشكل (٢-٥) فشل وتطور التشققات للنموذج

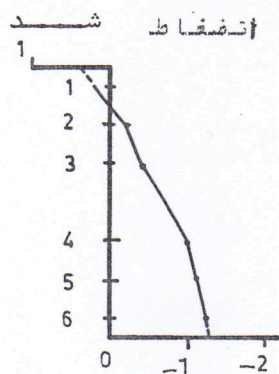
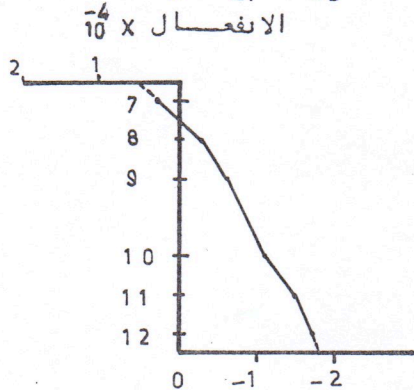
(D₂, D₁) . (B₄-B₁)

في وسط العتبه

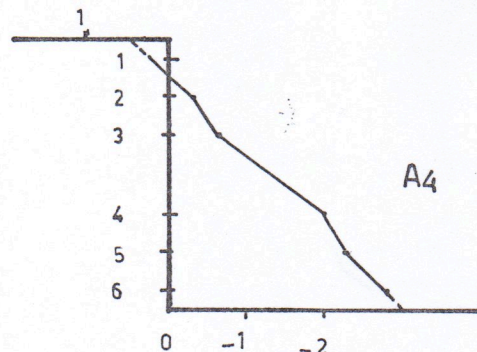
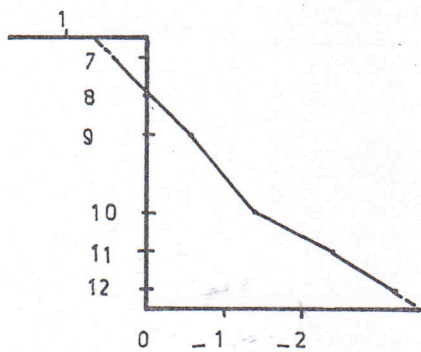
على مساقفه ٧٥٠ ملم عن وسط العتبه



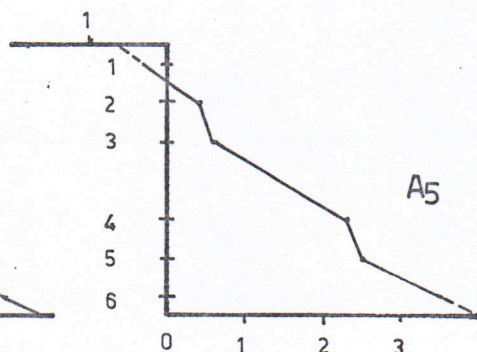
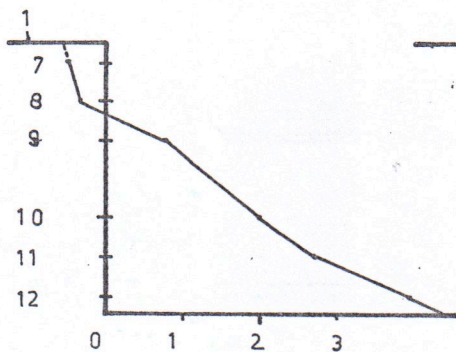
A2



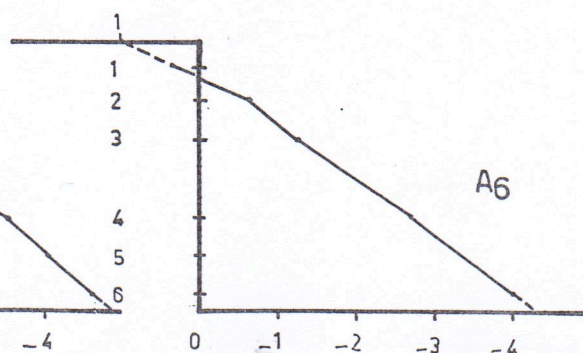
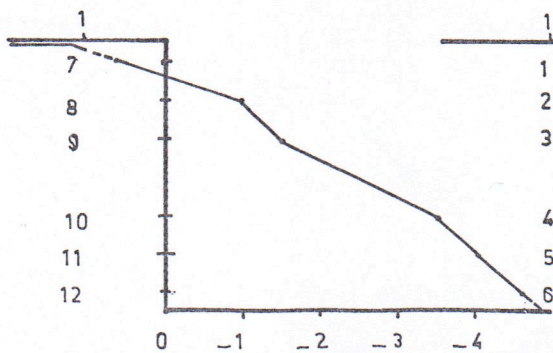
A3



A4



A5



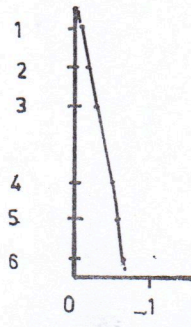
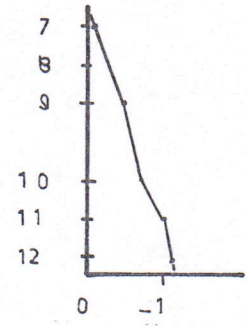
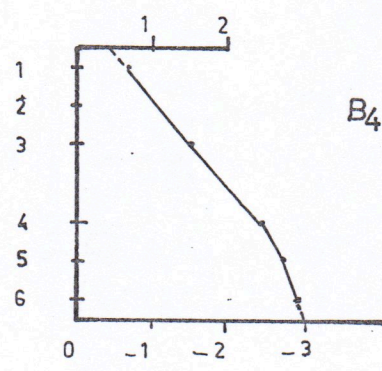
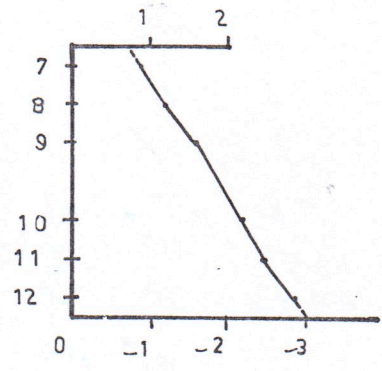
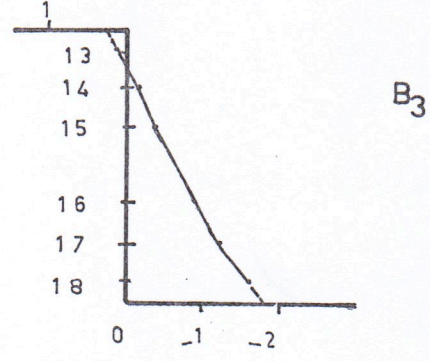
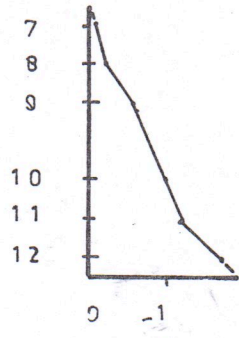
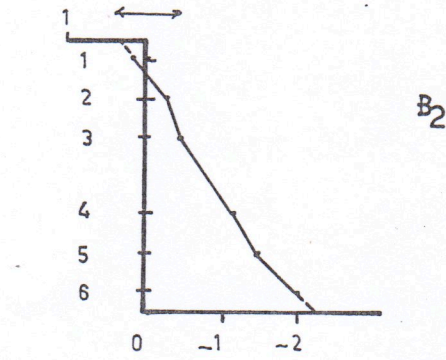
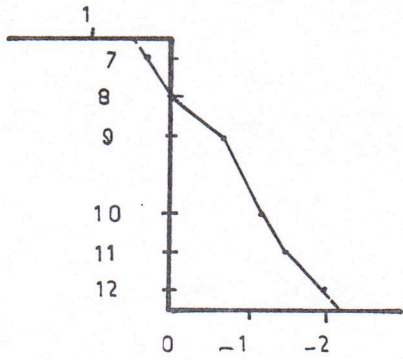
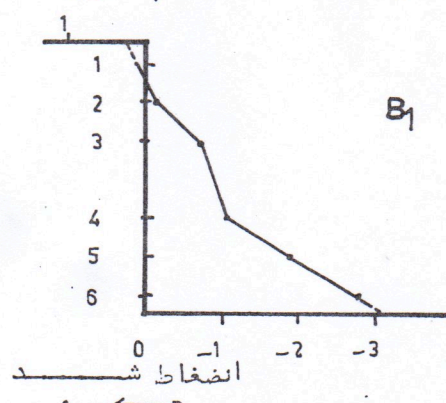
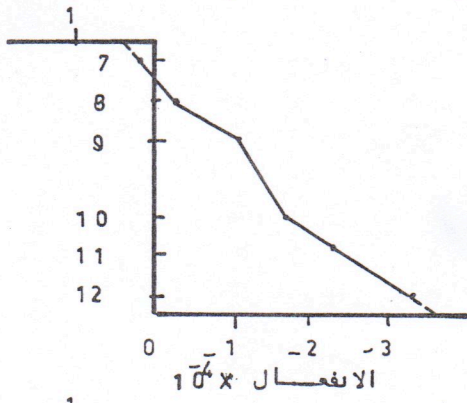
A6

الشكل (٣-٥) توزيع الانفعالات للمجموعة (٦) بعد اجهاد

الحديد مباشرة

في وسط العتبه

على مسافه ٧٥٠ ملم عن وسط العتبه



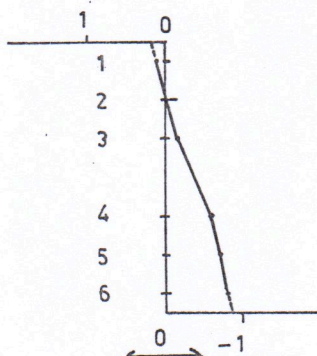
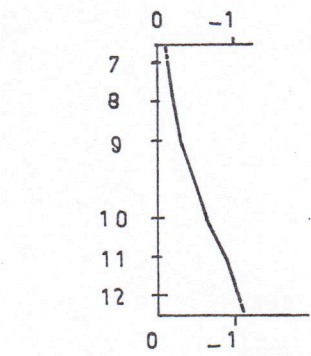
الشكل (٤-٥) توزيع الانفعالات للنموذج

(بعد اجهاد الحديد) ١, C1, B4-B1

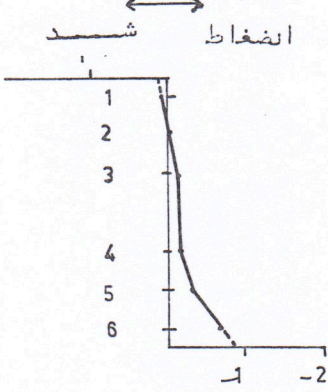
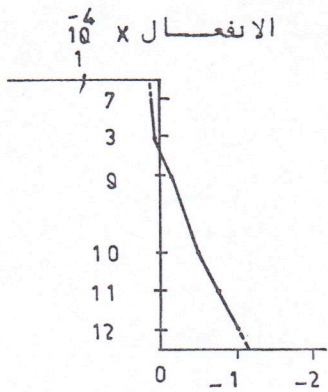
مباشرة

فسي وسط العتبه

على مسافه ٧٥٠ ملم عن وسط العتبه



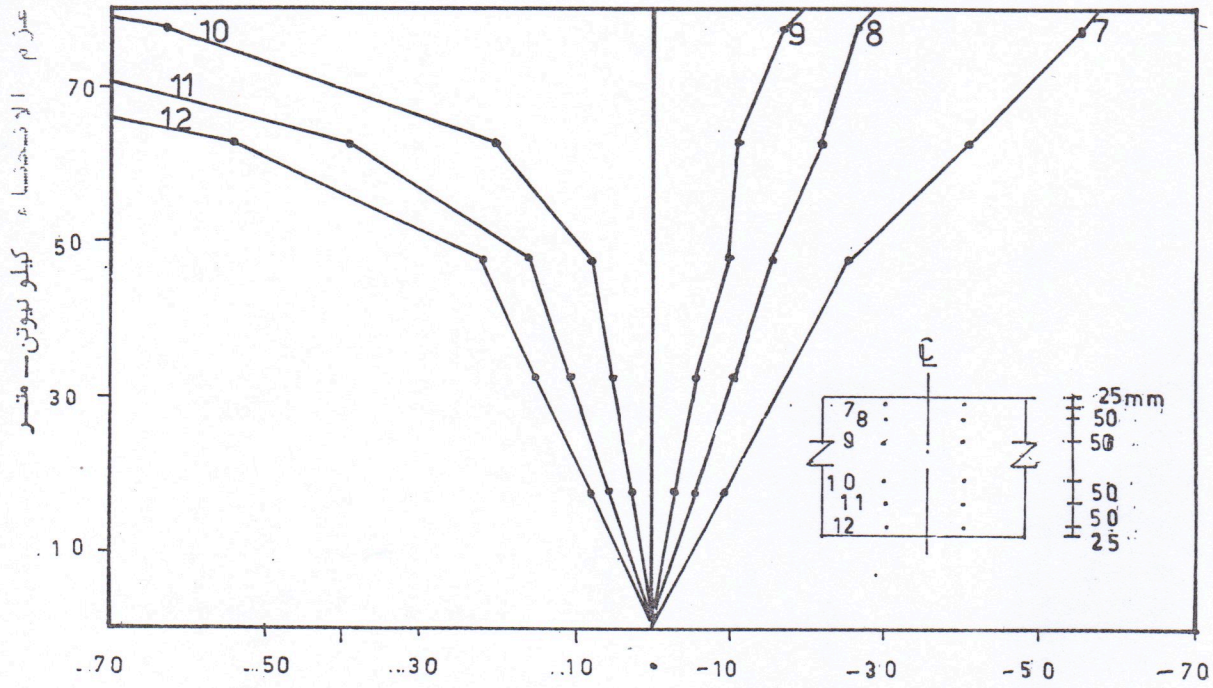
D1



D2

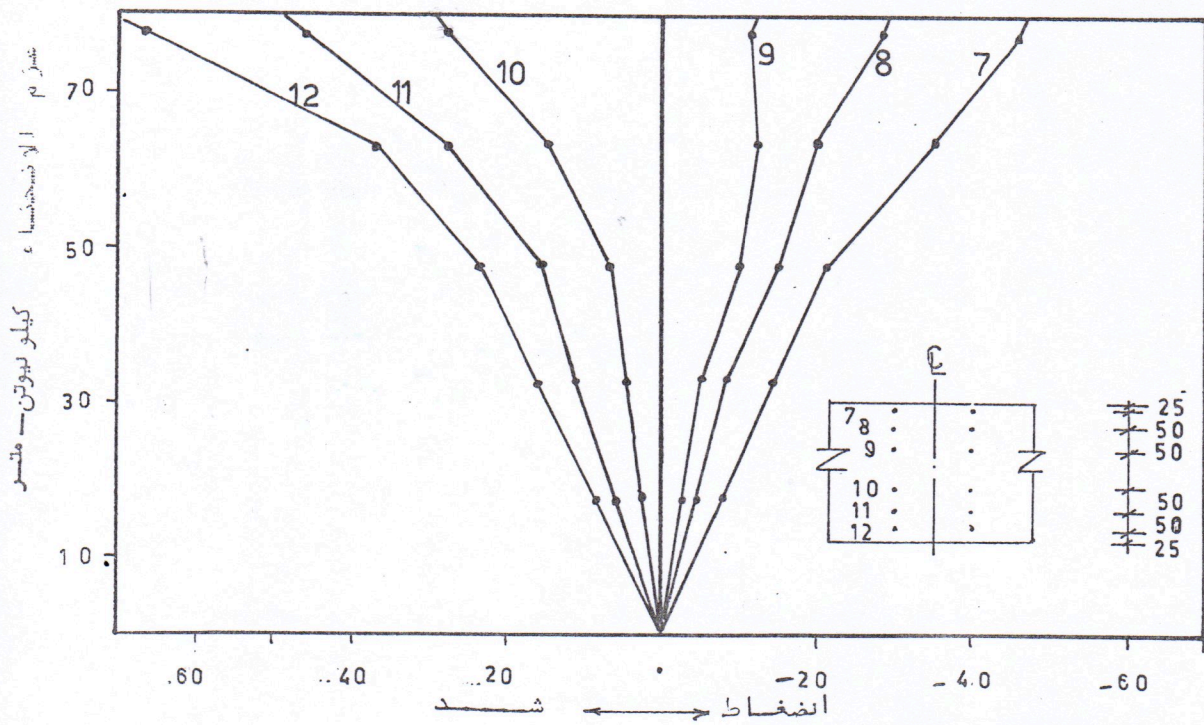
الشكل (٥-٥) توزيع الانفعالات للنموذجين D1, D2 بعد

اجهاد الحديد مباشرة



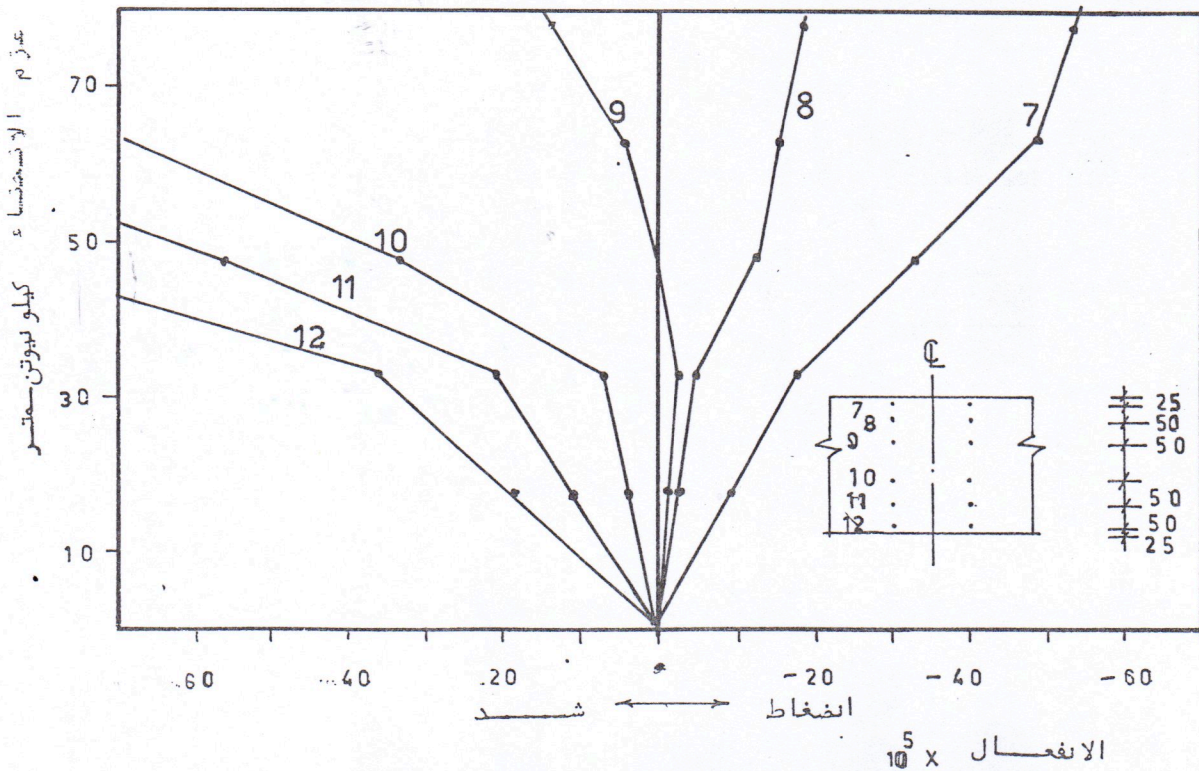
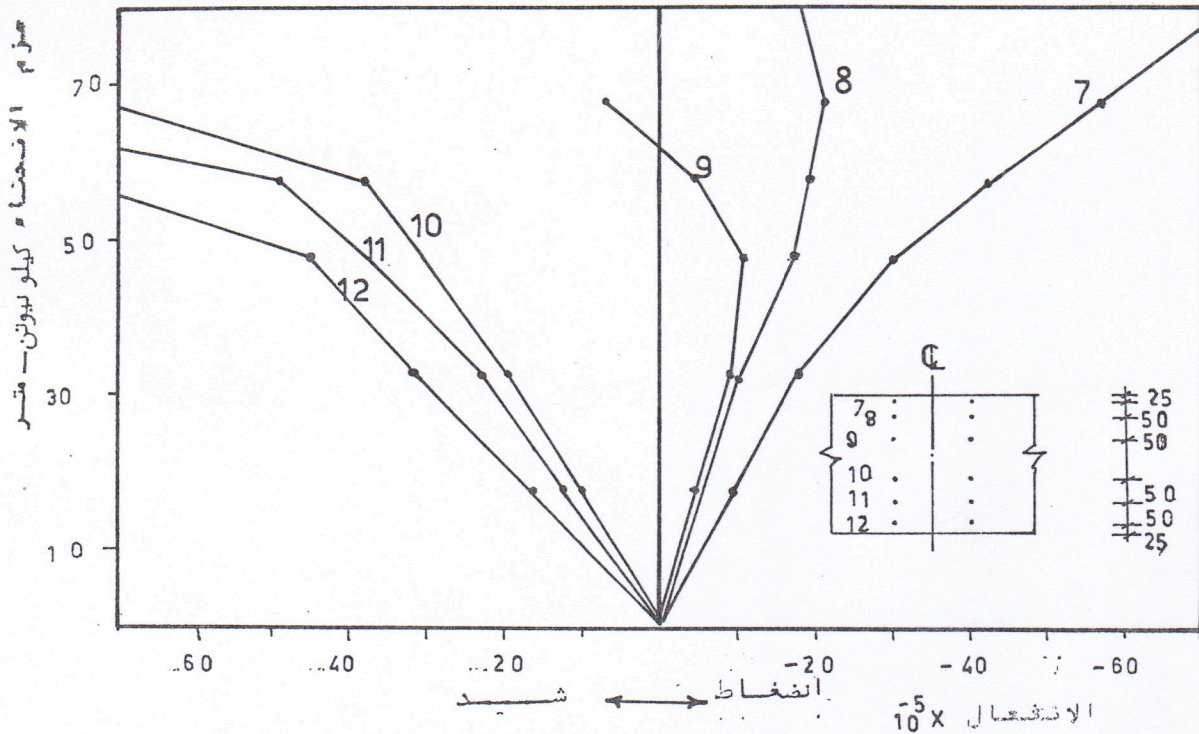
انضغاط ← شد
 الانفعال $\times 10^{-5}$

الشكل (٥-٦) تغيير الانفعال مع عزم الانحناء للنموذج A4



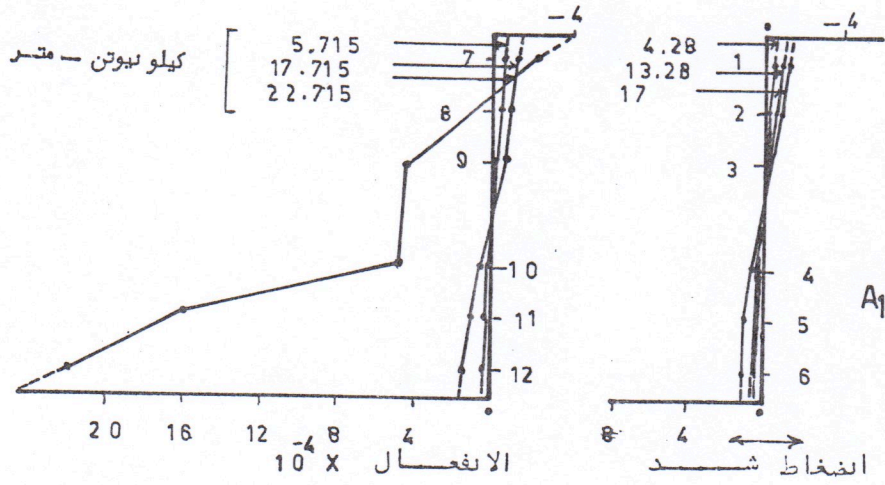
انضغاط ← شد
 الانفعال $\times 10^{-5}$

الشكل (٥-٧) تغيير الانفعال مع عزم الانحناء للنموذج A5

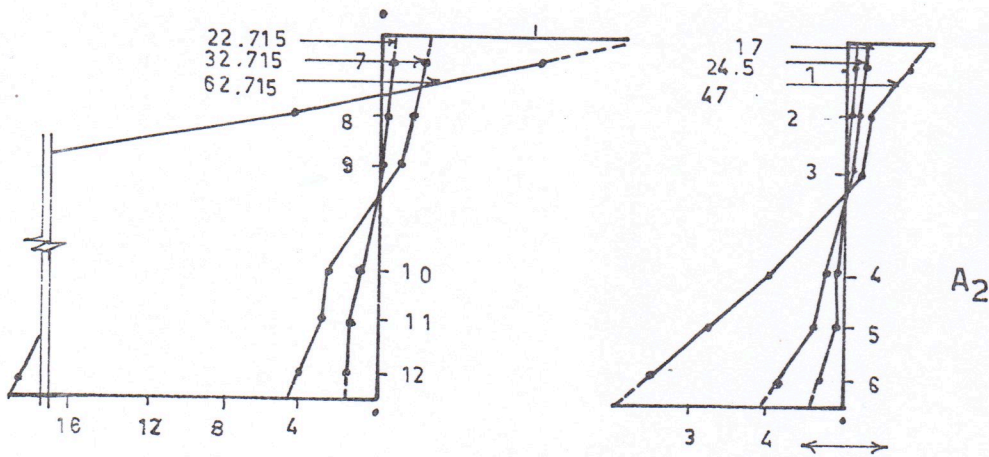


على مسافة ٧٥٠ مليم عن وسط العتبه في وسط العتبه

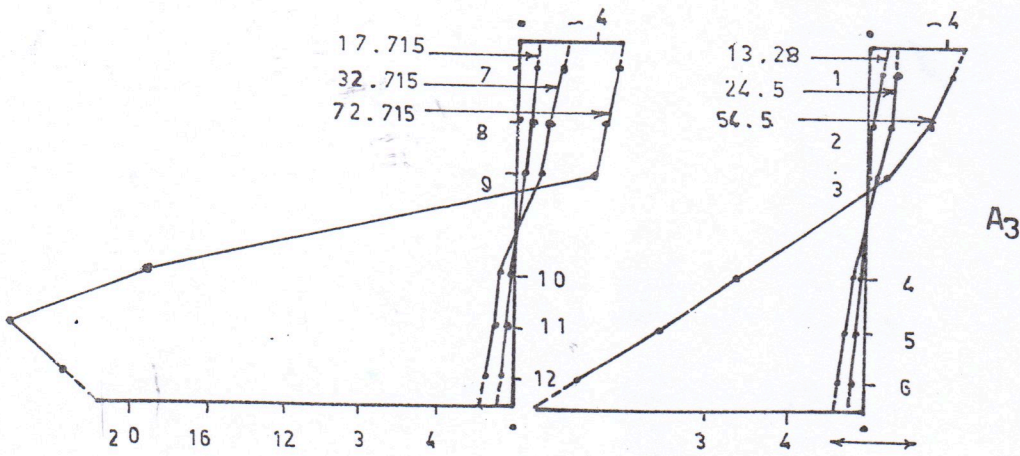
A1



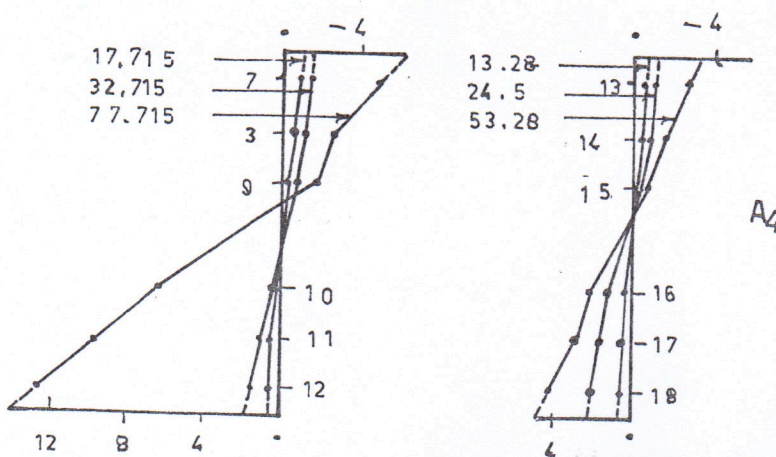
A1



A2



A3

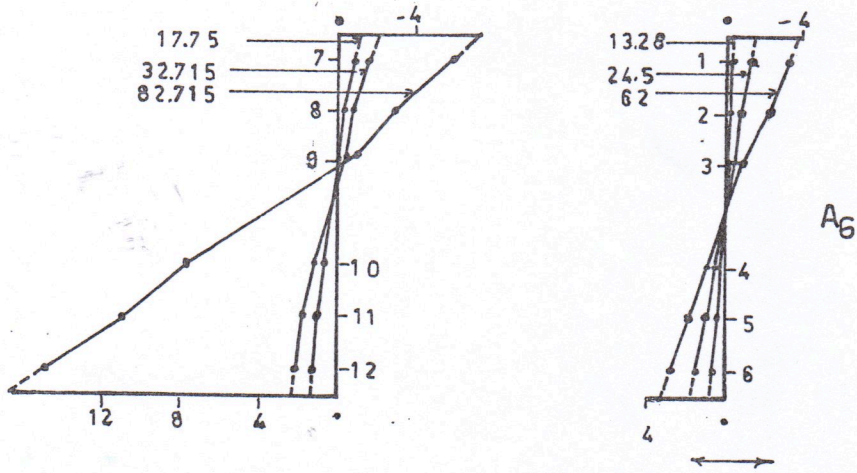
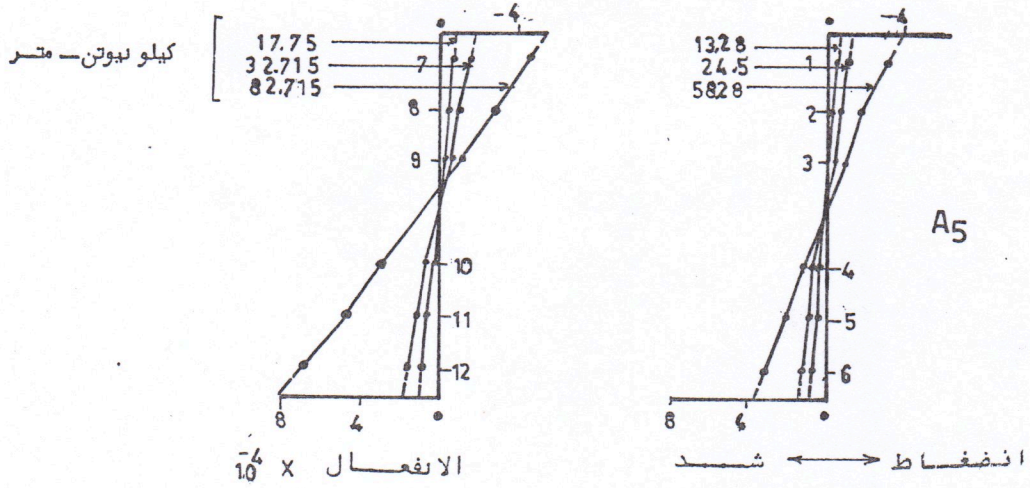


A4

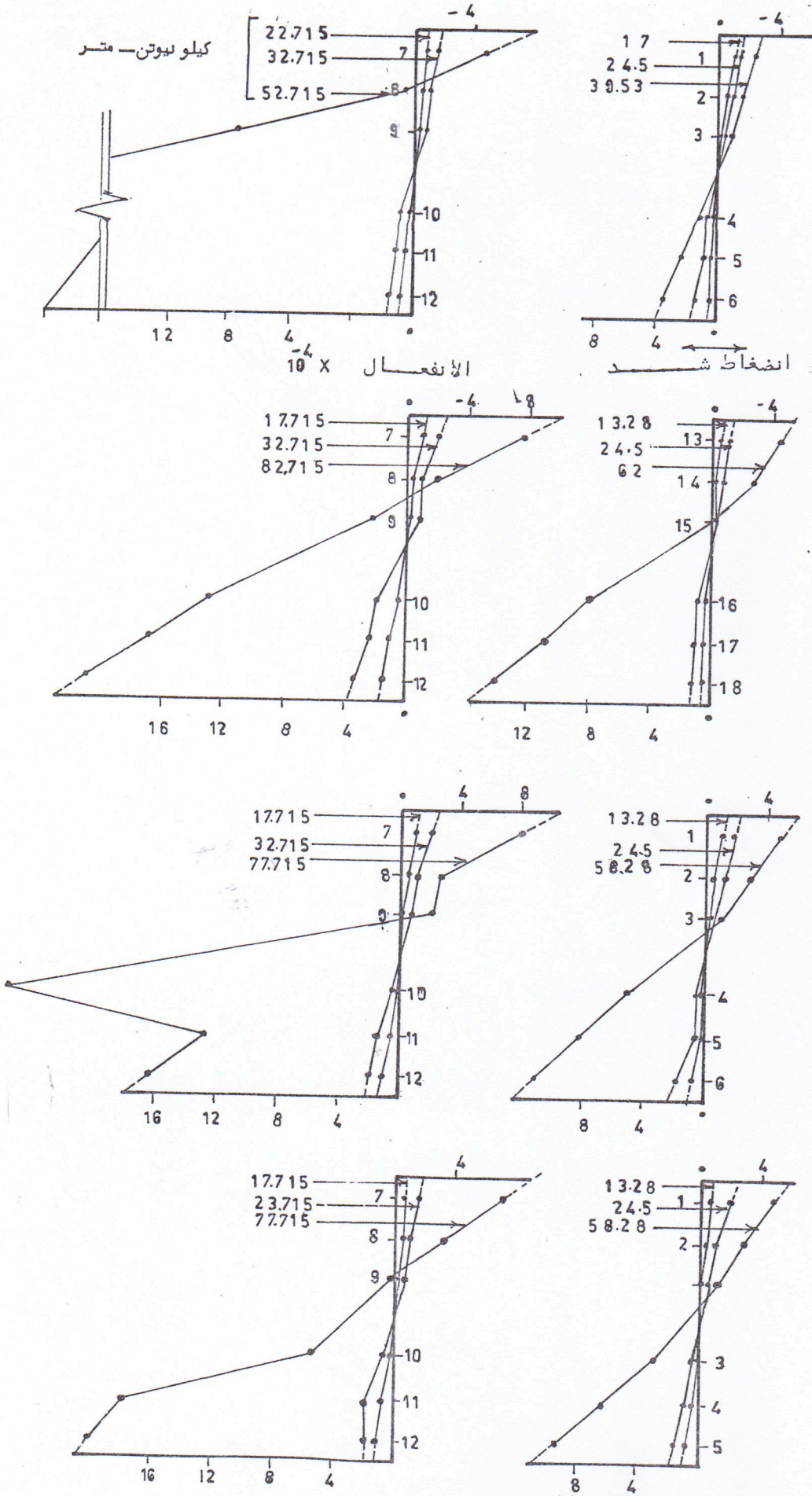
الشكل (١٠-٥) توزيع الانفعالات لمستويات عزوم مختلفة

للنماذج A4-A1

على مسافة ٧٥ م من وسط العتبه فني وسط العتبه



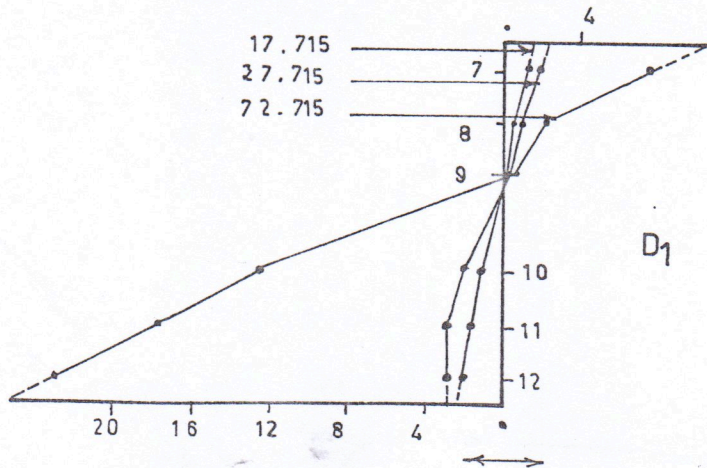
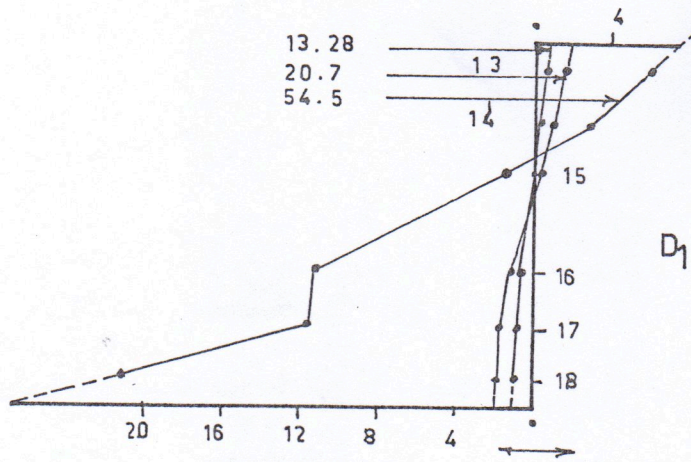
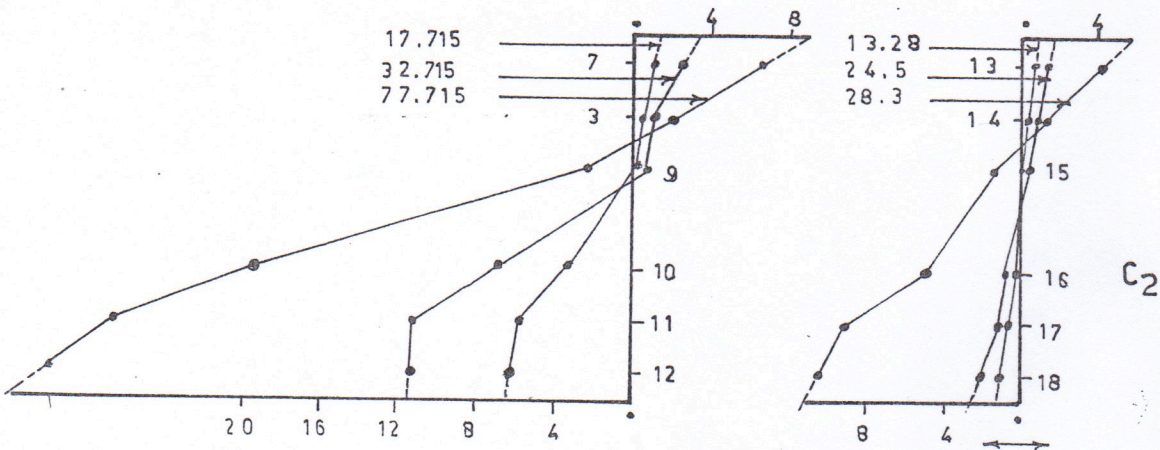
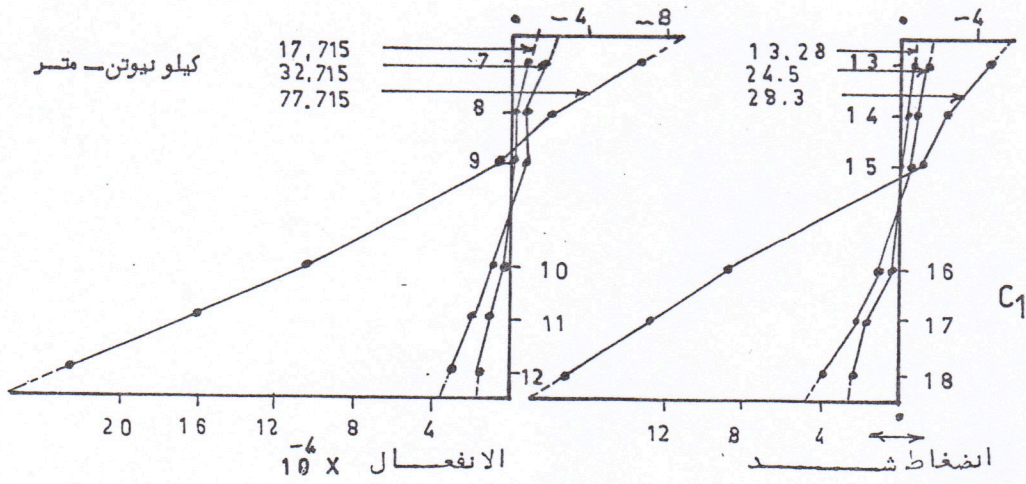
الشكل (١١-٥) توزيع الانفعالات لمستويات عزوم مختلفة
للنماذج A5, A6



الشكل (١٢-٥) توزيع الانفعالات لمستويات عزوم مختلفة

للنماذج B4-B1

كيلو نيوتن - متر

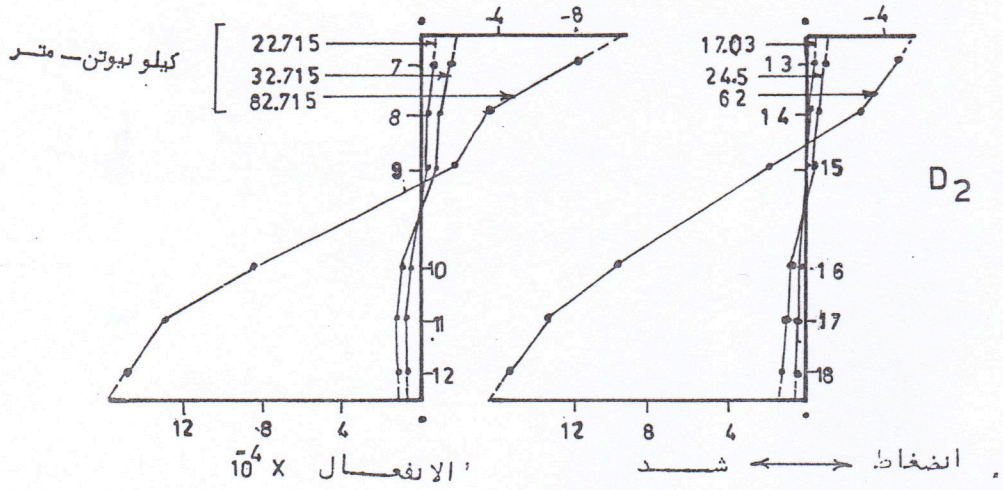


الشكل (١٣-٥) توزيع الانفعالات لمستويات عزوم مختلفة

للنماذج (D1, C2, C1)

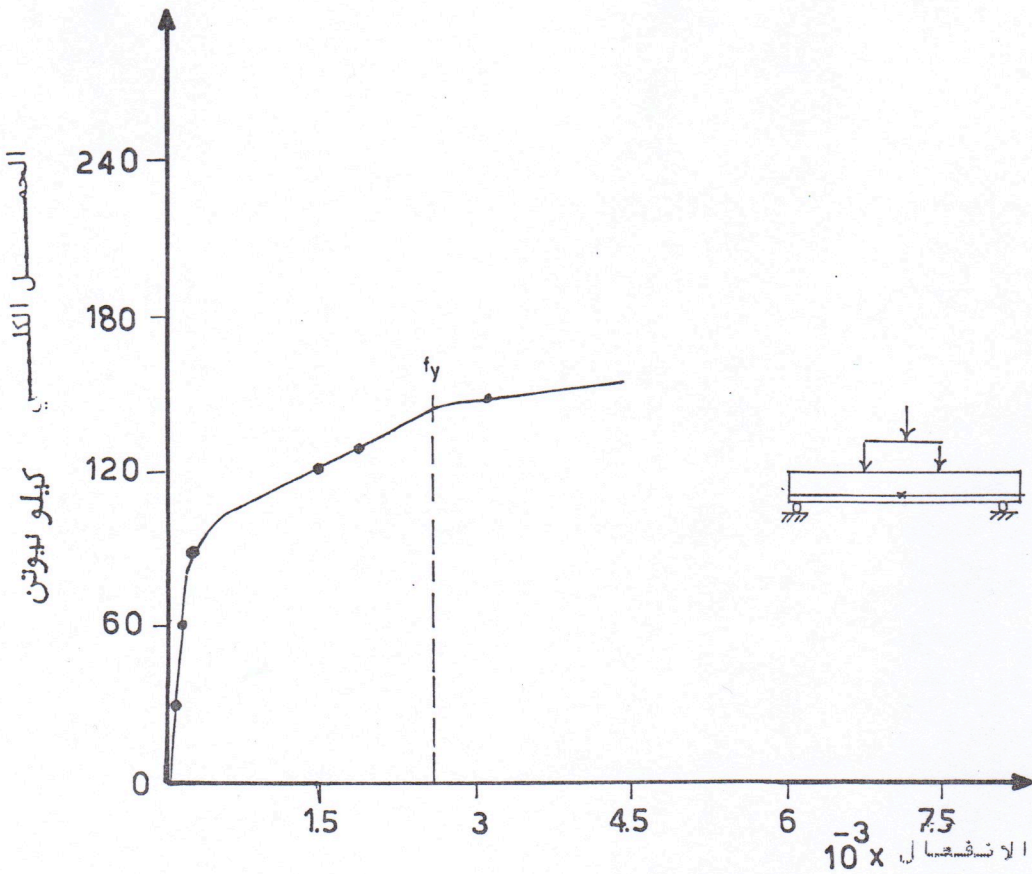
في وسط العتبه

على مسافه ٧٥٠ ملم عن وسط العتبه



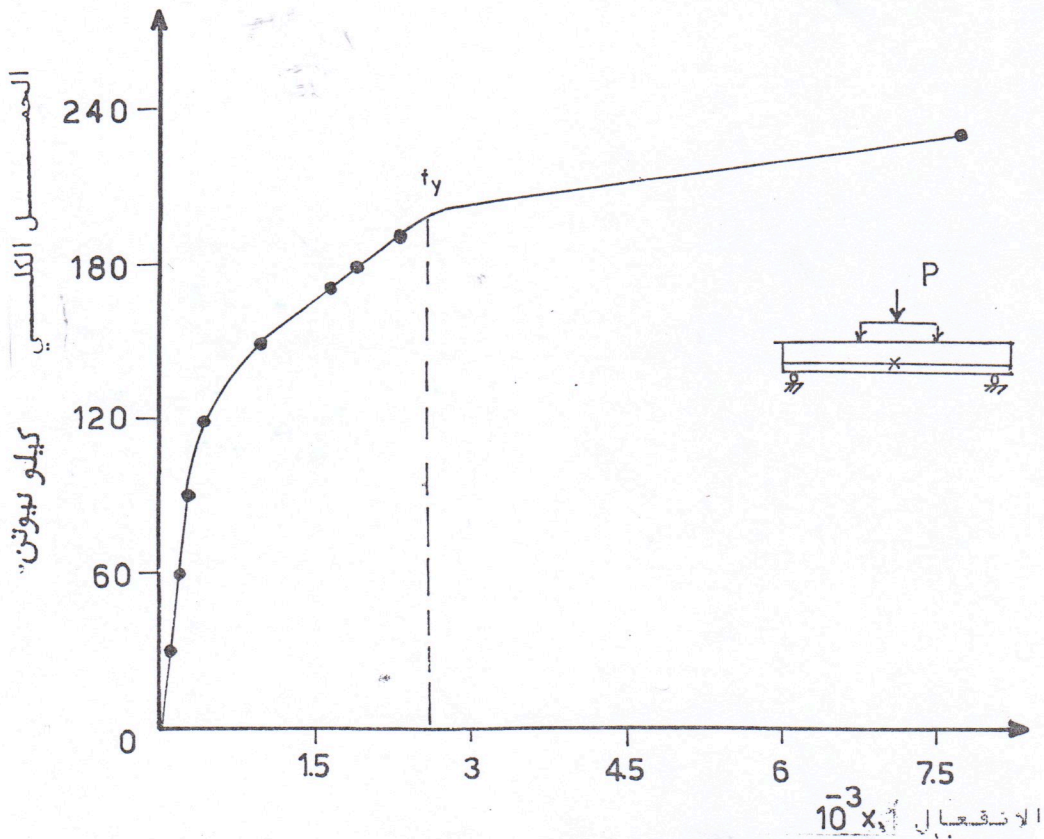
الشكل (٥-١٤) توزيع الانفعالات لمستويات عزوم مختلفة

للمنموذج D2



(٥-١٥) تغيير الانفعال مع الاحمال في الحديد

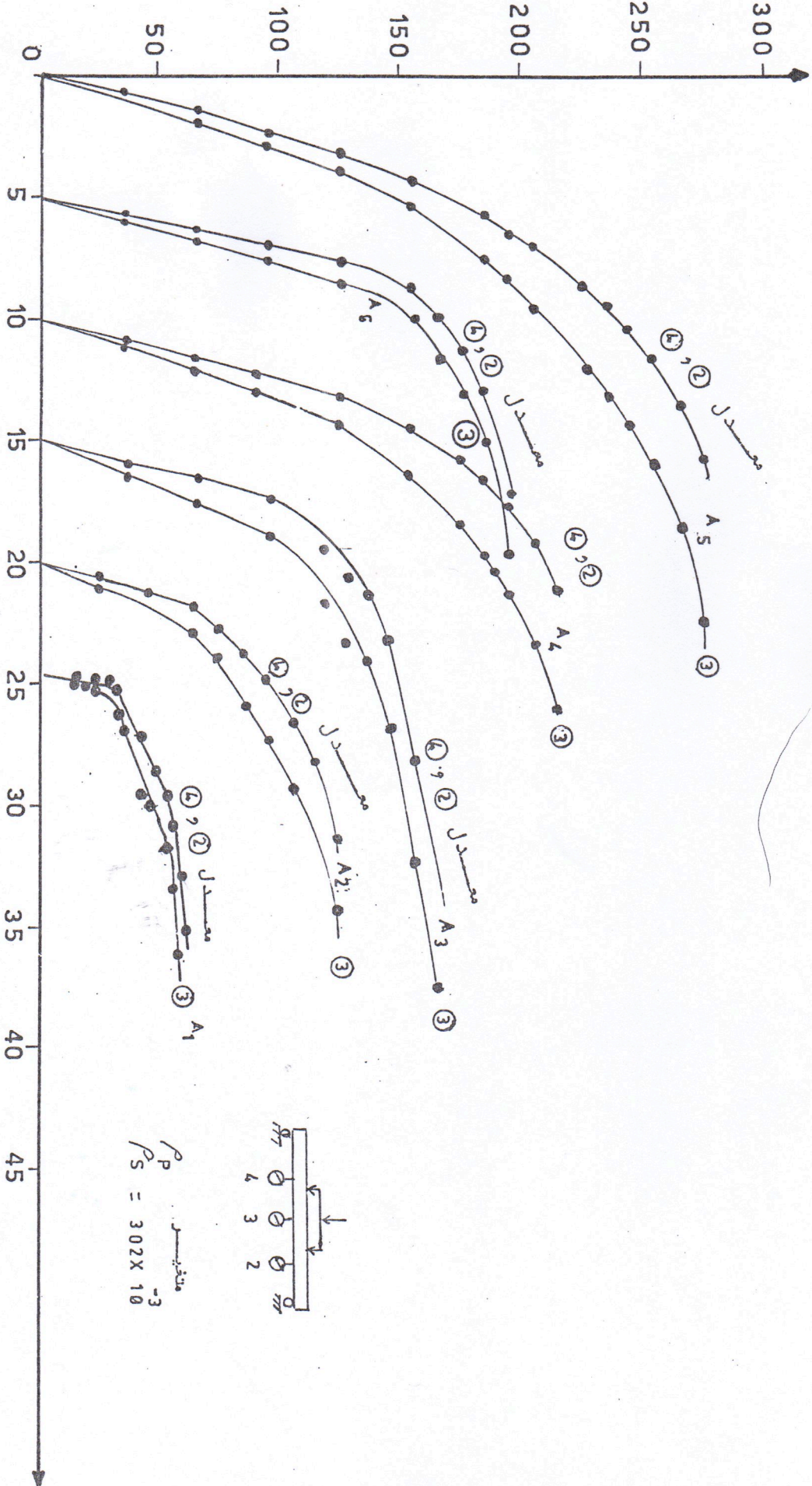
العادي للنموذج (A3)



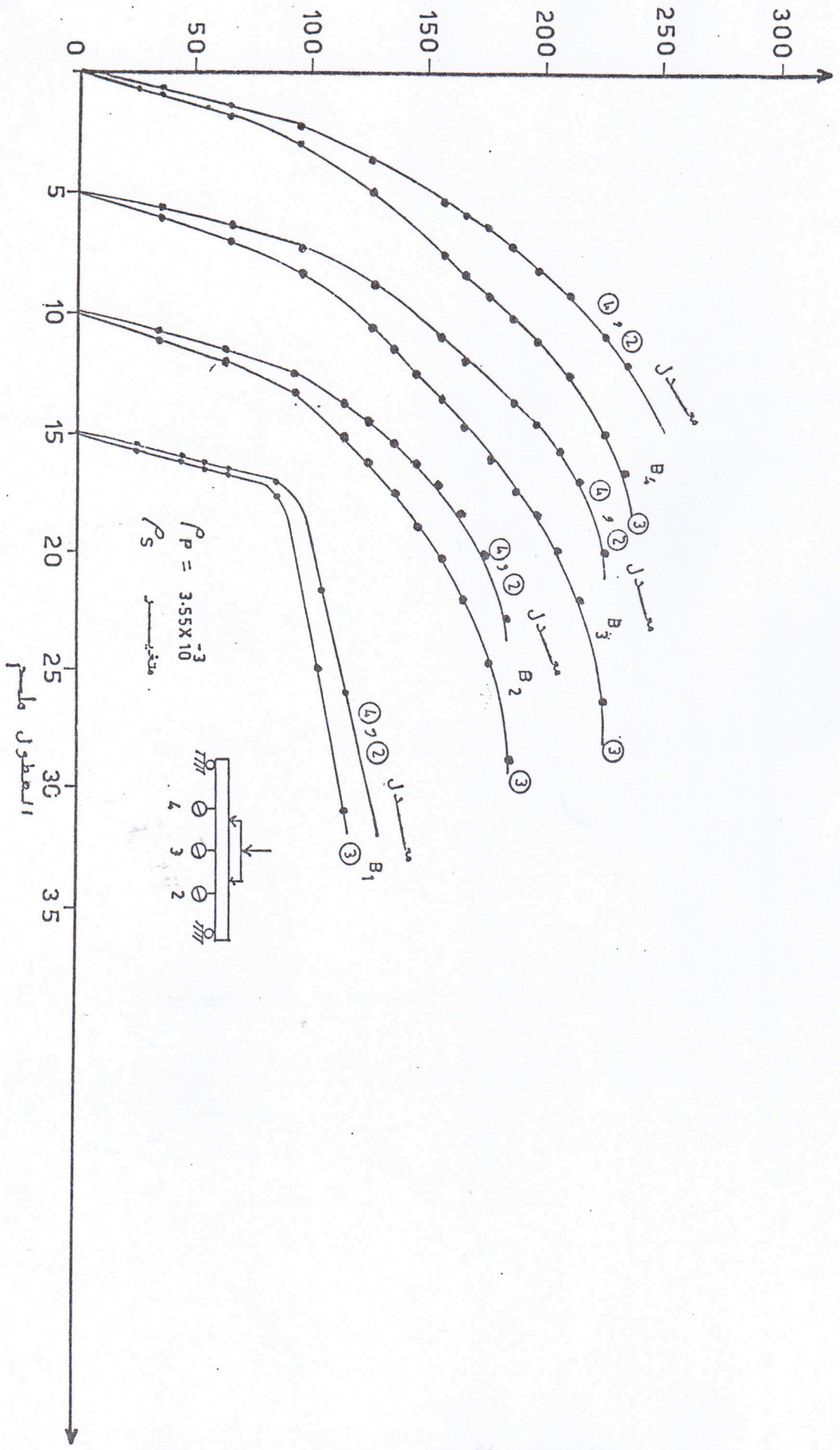
(٥-١٦) تغيير الانفعال مع الاحمال في الحديد

العادي للنموذج (A4)

الحمل الكلي في كيلو نيوتن

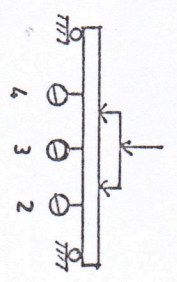
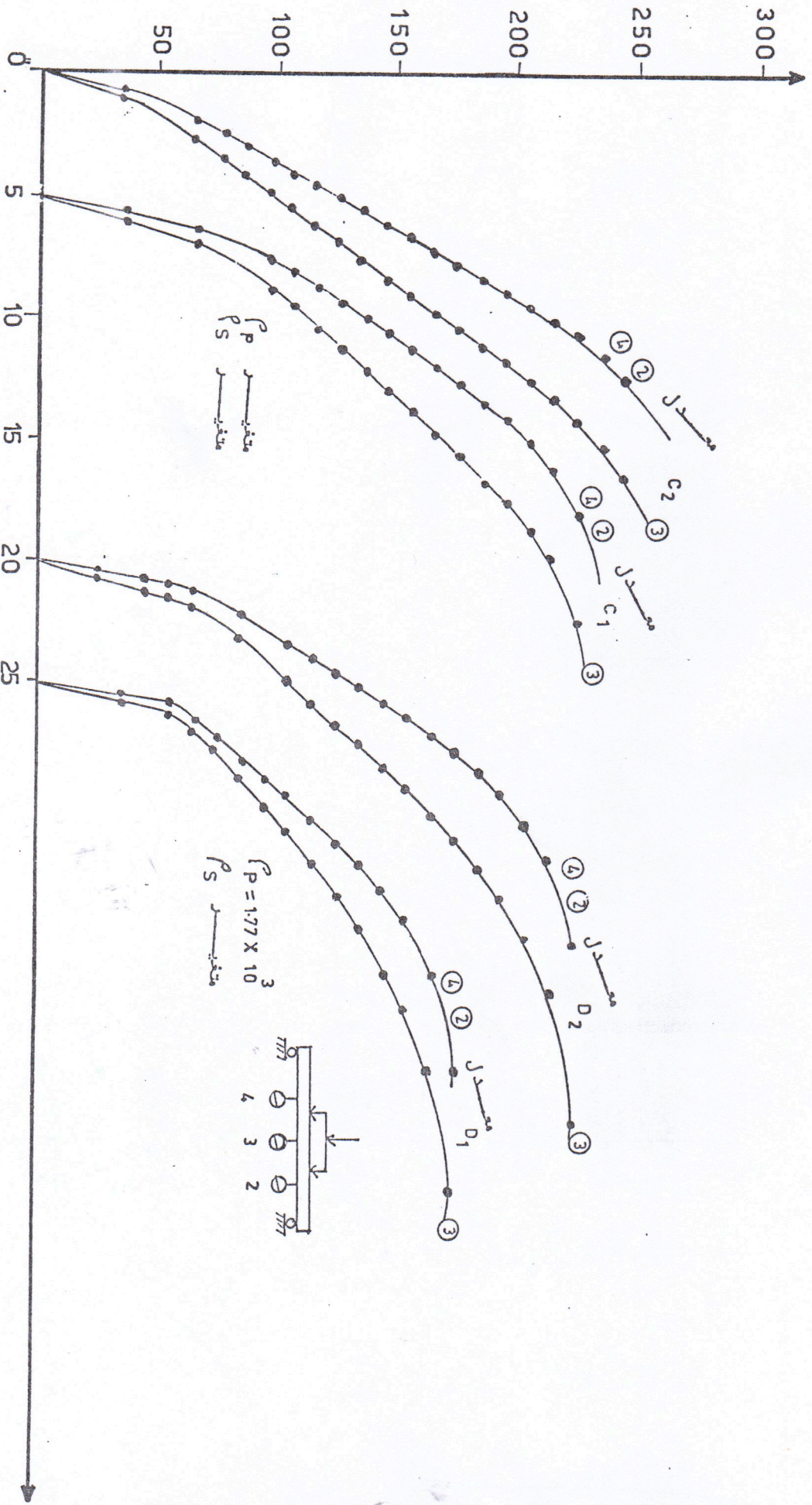


الحمل الكلي
كيلو نيوتن



علاقة الحمل بالانحراف (18-5)

B₄, B₃, B₂, B₁



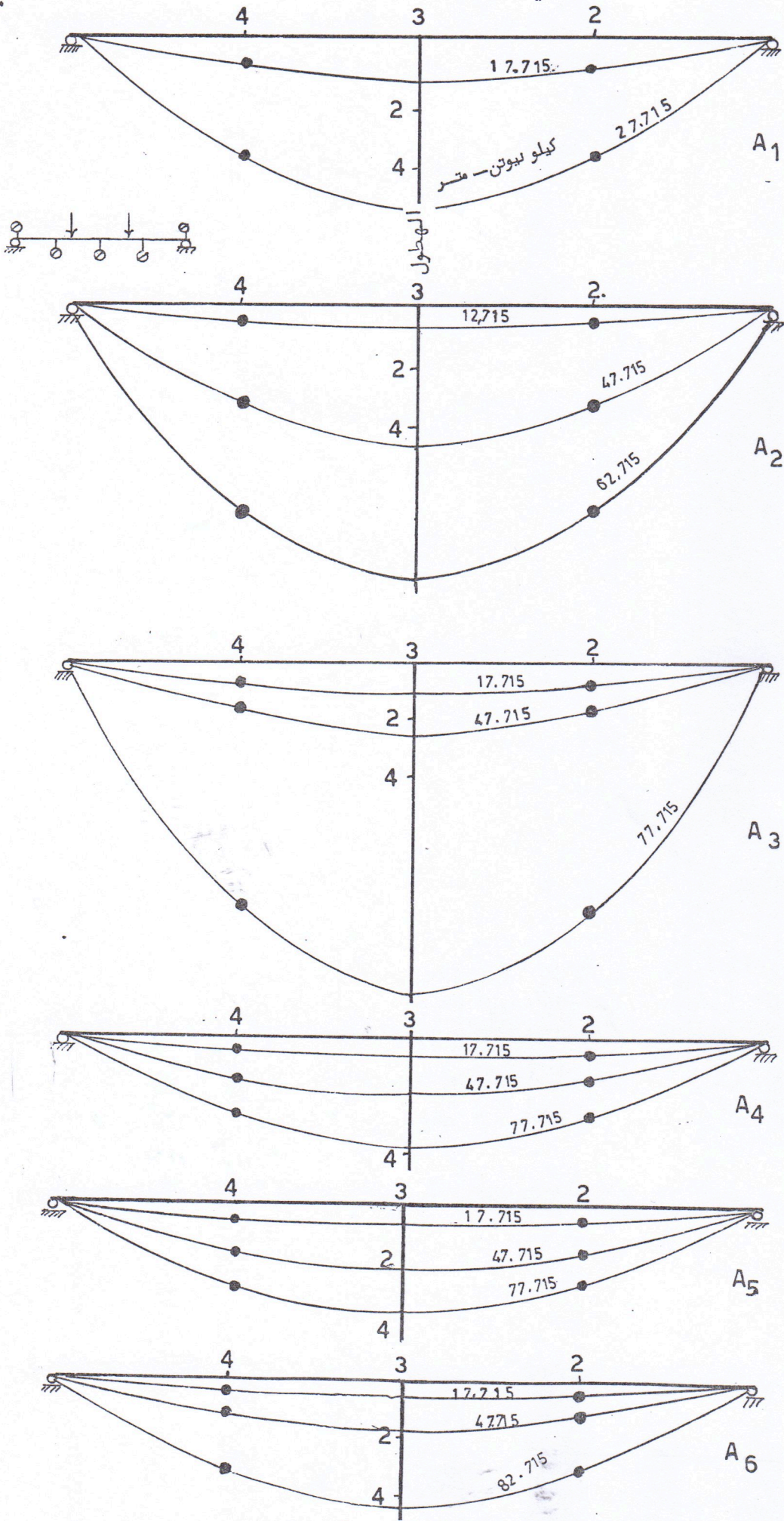
المطول ملسم

الشكل (19-0) علاقة المطول بالاحتساب للشمادج

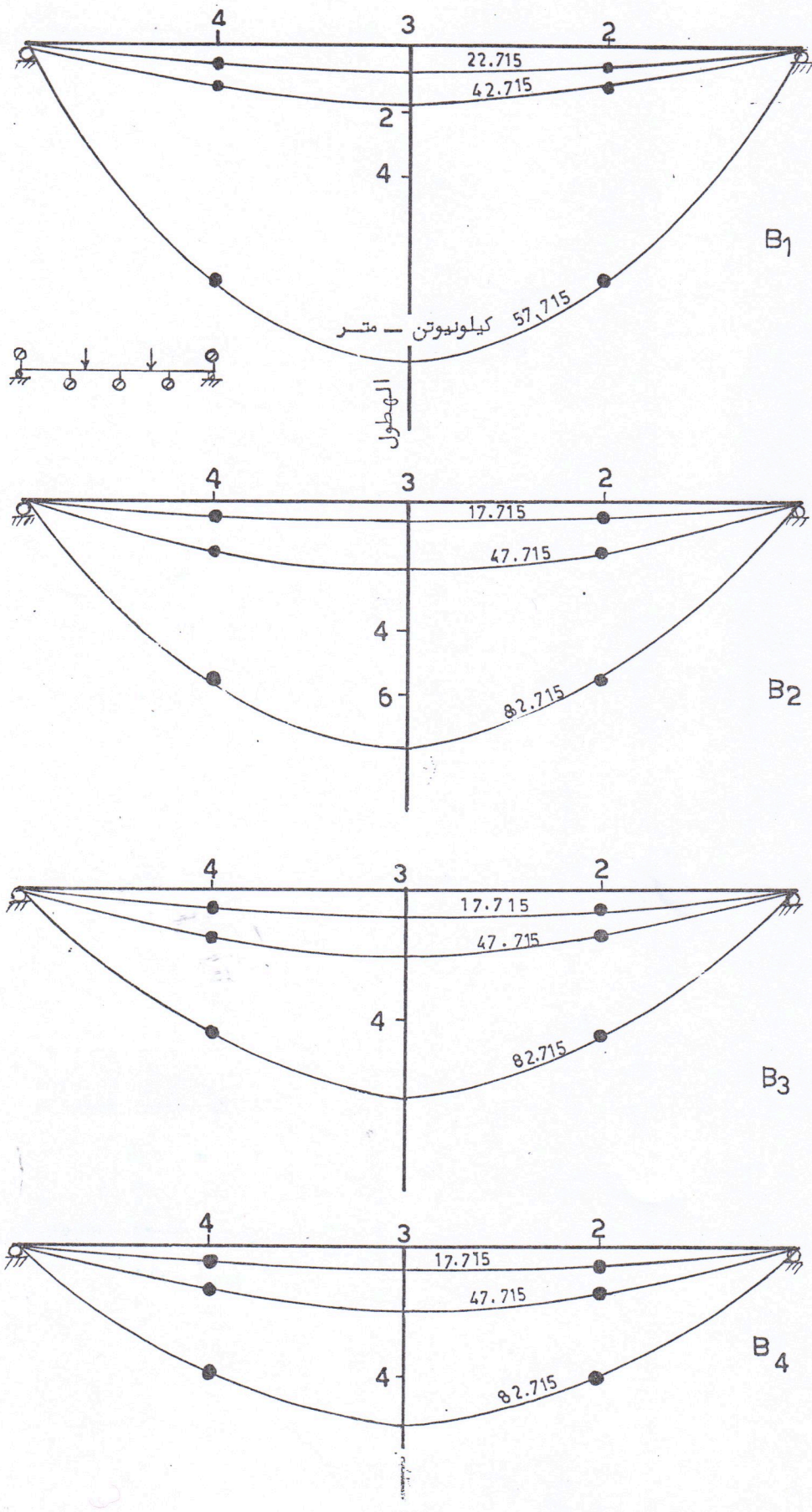
(D2, D1, C2, C1)

موقع قراءه الهطول على النموذج

٩٠

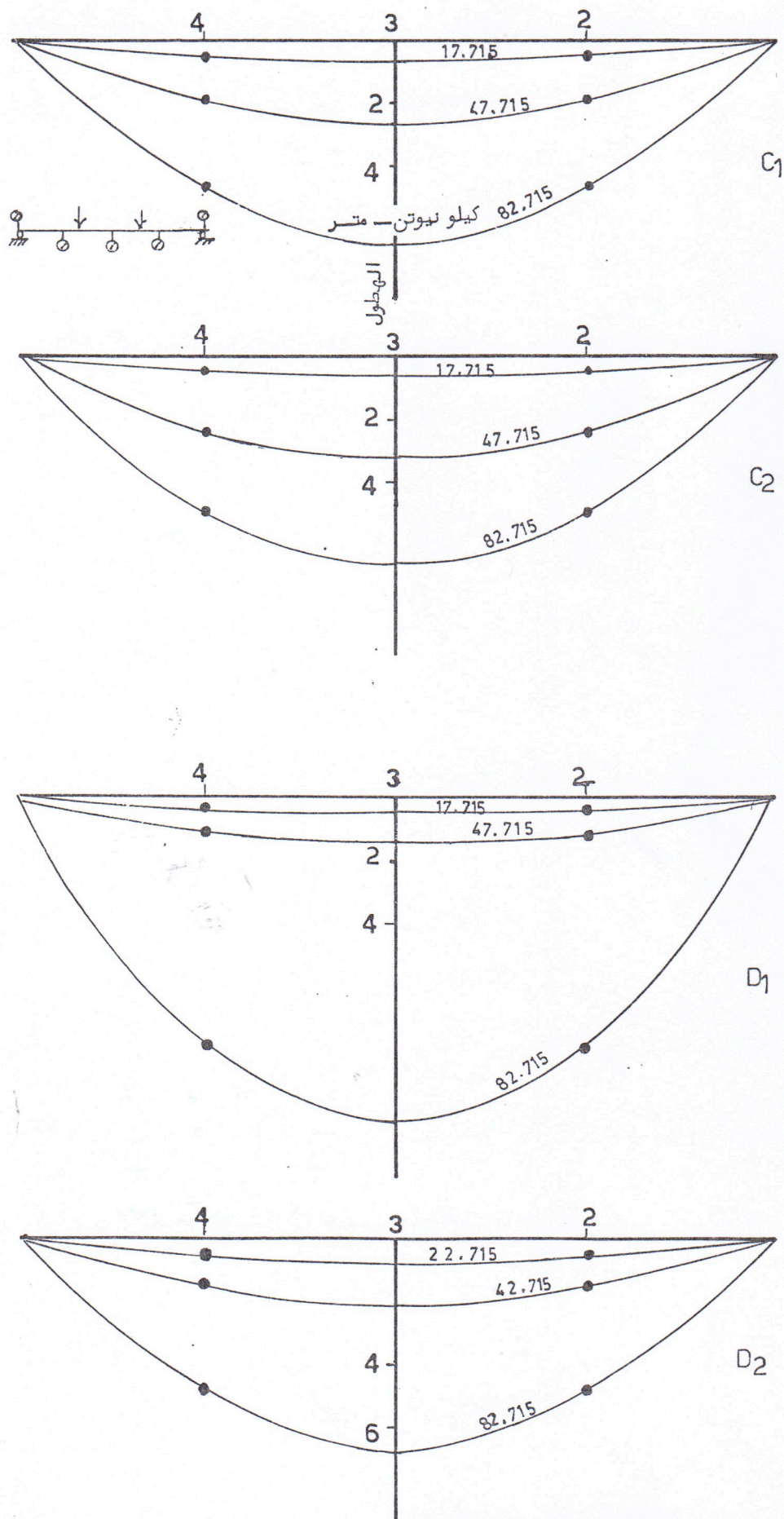


الشكل (٢٠-٥) علاقة الهطول على طول النموذج (A₆-A₁)



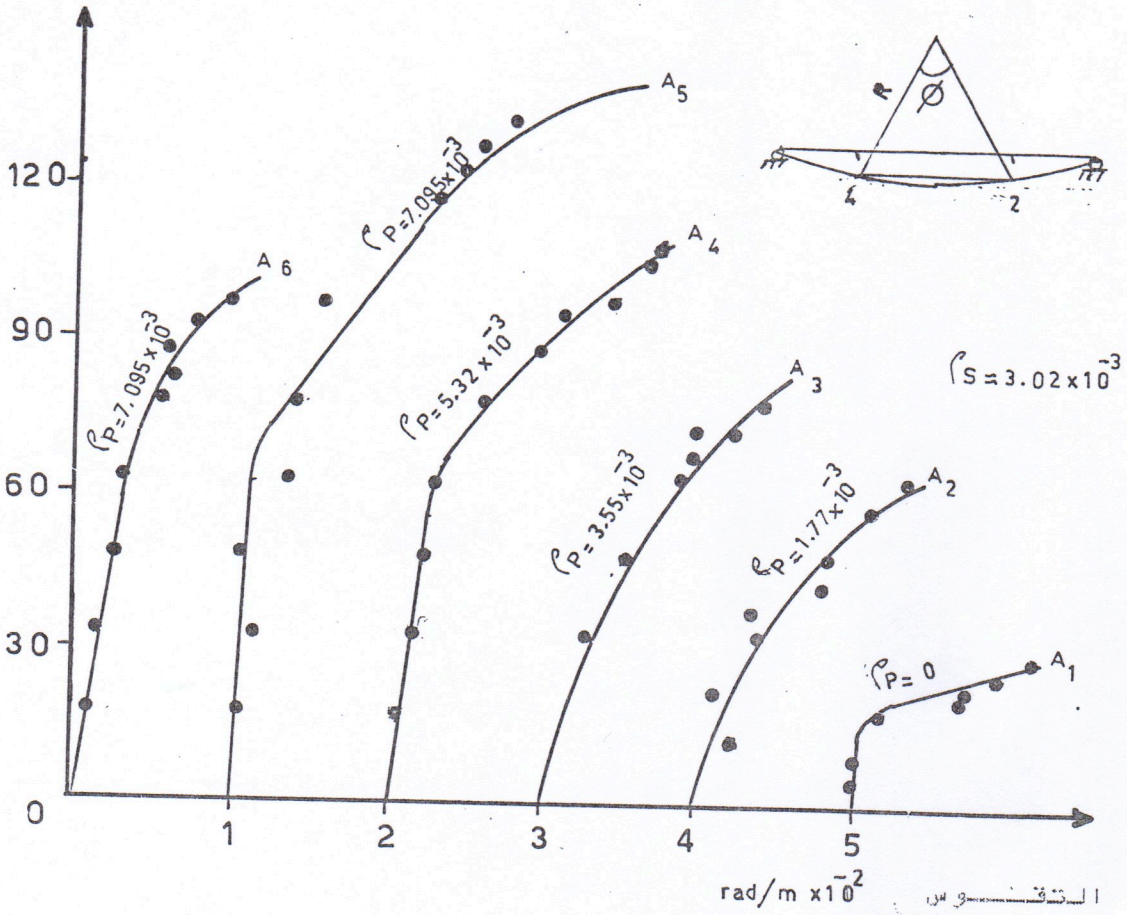
الشكل (٥-٢١) علاقة الهطول على طول النماذج (B₄-B₁) مع اختلاف مستويات عزم الانحناء

موقع قوائم الهطول على النموذج



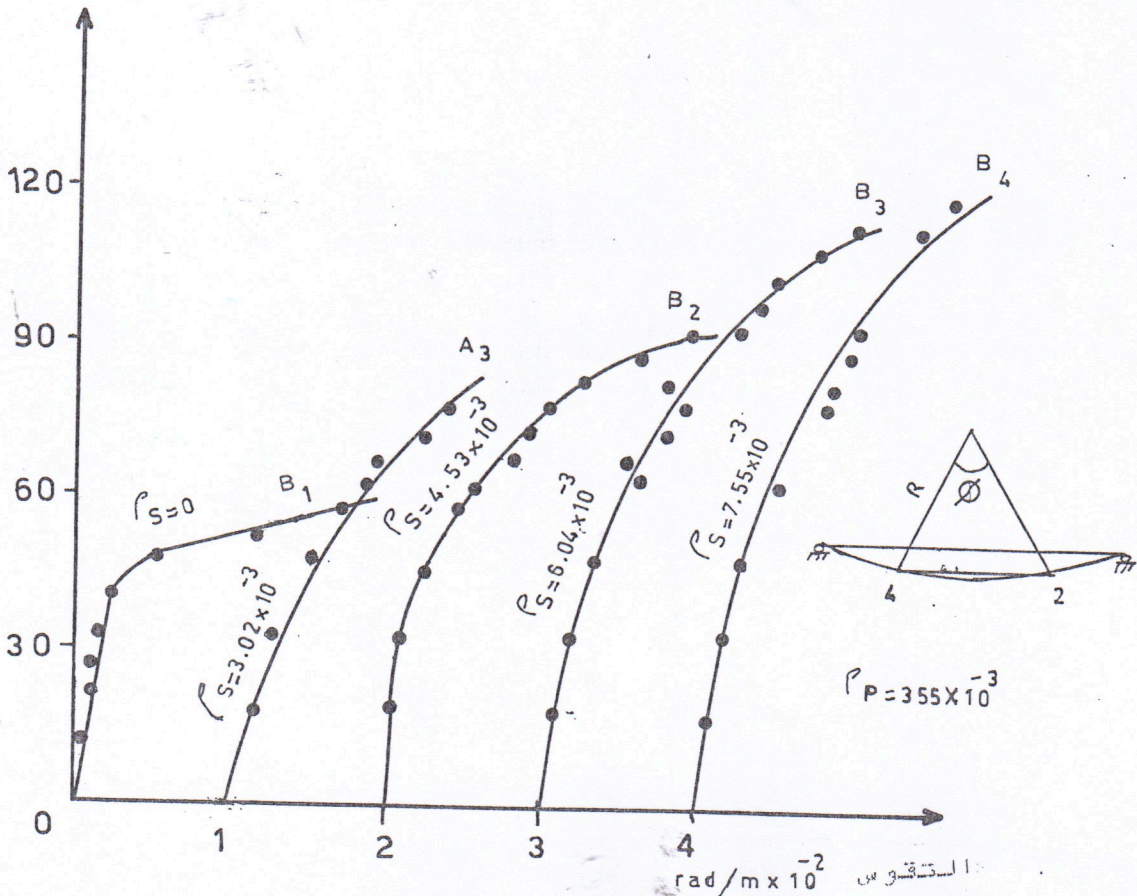
الشكل (٢٢-٥) علاقة الهطول على طول النموذج
 مع اختلاف مستويات عزم الانحناء (D₂, D₁, C₂, C₁)

عزم الانحناء
كيلونيوتن-متر

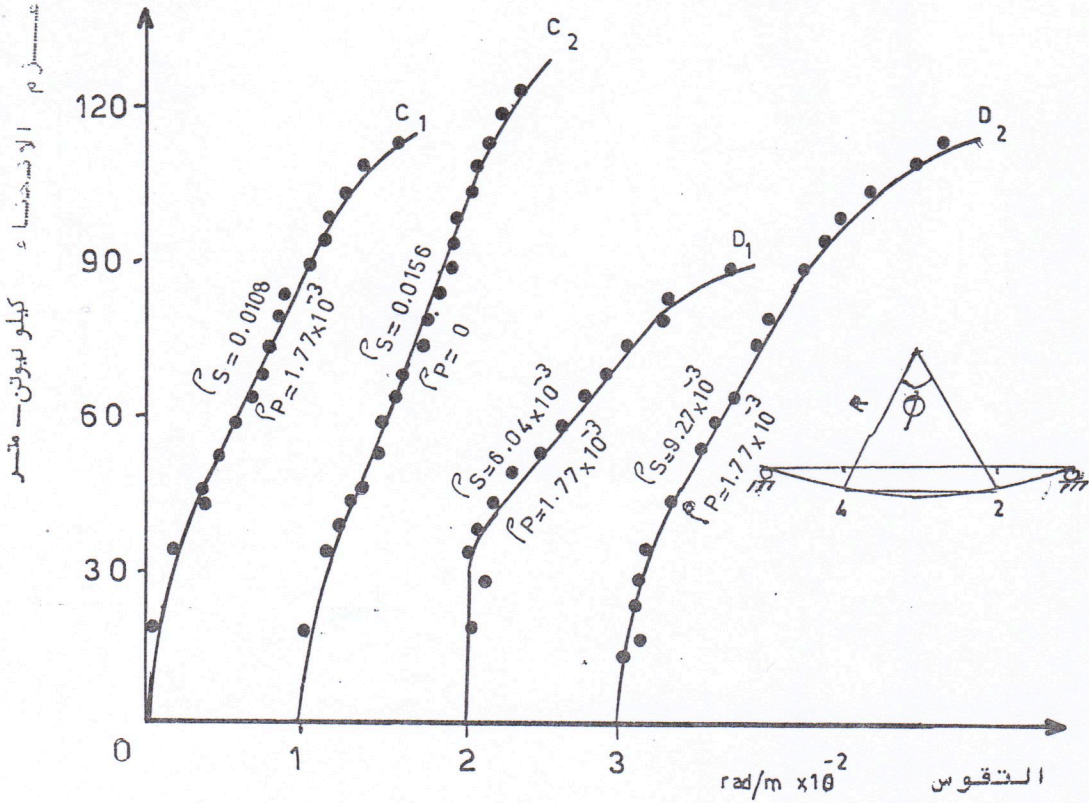


الشكل (٢٣-٥) علاقة عزم الانحناء مع التقوس للمجموعة (i)

عزم الانحناء
كيلونيوتن-متر

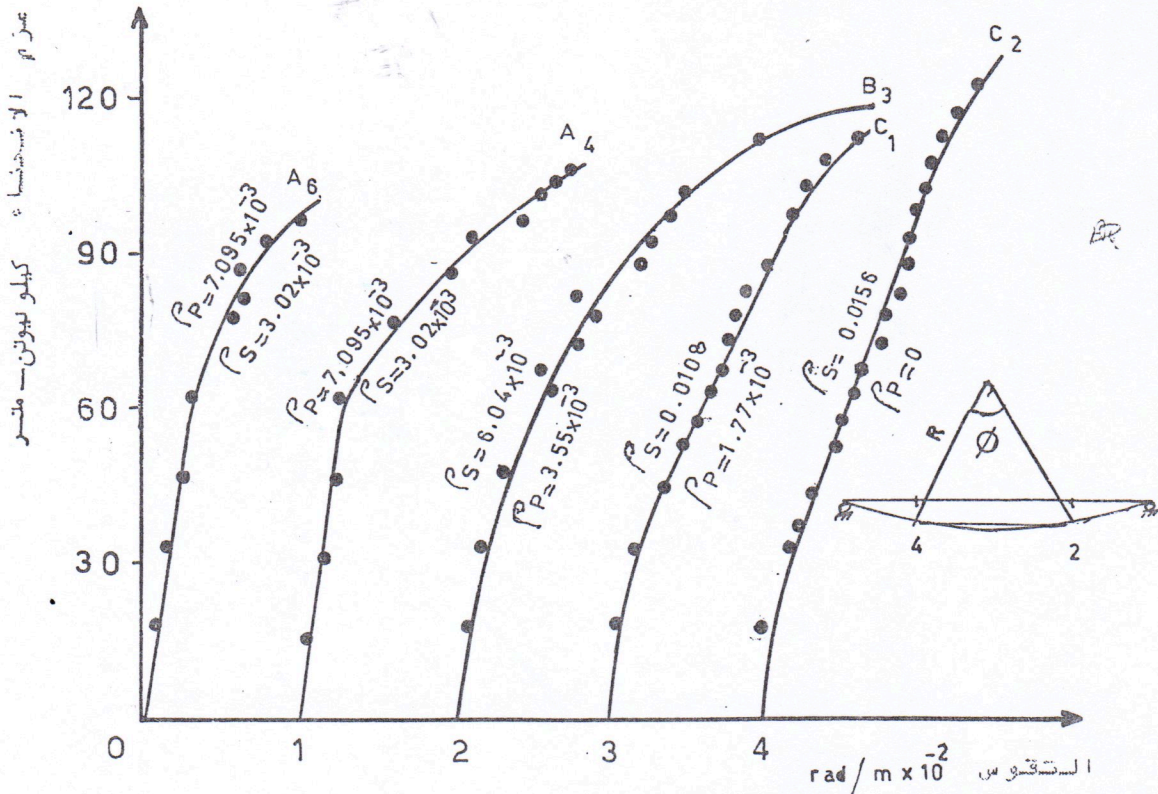


الشكل (٢٤-٥) علاقة عزم الانحناء مع التقوس للمجموعة (ب)



(٥-٢٥) علاقة عزم الانحناء مع التقوس للمناج

(D₂, D₁, C₂, C₁)



الشكل (٥-٢٦) علاقة عزم الانحناء مع التقوس للمجموعة ج

تحليل النتائج ومناقشتها

١ - ٦ مقدمة :-

يتضمن هذا الفصل دراسة تأثير المتغيرات في سلوك نماذج العتبات الخرسانية وتمرفها ومناقشة نتائج التحمل الاقصى والهطول والتقوس والانفعالات ونسب التسليح .

٢ - ٦ تأثير المتغيرات في التحمل الاقصى والكفاءة :-

١ - ٢ - ٦ تأثير نسبة الحديد مسبق الاجهاد :-

تبين من النتائج العملية ان زيادة نسبة الحديد مسبق الاجهاد في مقاطع النماذج الخرسانية (كما في المجموعة أ) له تأثير كبير في زيادة التحمل الاقصى بسبب زيادة قوة الاجهاد المسلطة على المقطع الخرساني ، الامر الذي يؤدي تبعا لذلك الى تأخير حدوث التشقق الاولي الذي تتأثر به مقاومة النماذج القموى .

ان المقاومة القموى للنموذج A_1 المسلح تسليحا عاديا يساوي ٣٧٧٥ كيلونيوتن - متر ، بينما النموذج A_2 المجهد بنسبة اجهاد جزئية تقدر بـ (٥٧ر٠) بنسبة التسليح العادي نفسها كان تحمله الاقصى يساوي ٧٢ كيلونيوتن - متر اي بزيادة تقدر بـ ٩٠ % عن النموذج A_1 .

وهذه النسبة تبدو اكثر وضوحا من مقاومة النموذج A_5 مع النموذج A_1 اذ بلغت نسبة الزيادة في التحمل الاقصى حوالي ٢٤٠ % بزيادة نسبة الحديد مسبق الاجهاد من الصفر الى (١٠ر٣ x ٧٠ر٩٥) مع بقاء نسبة التسليح العادي ثابتة .

والشكل (١-٦) يبين العلاقة بين التحمل الاقصى ونسبة الحديد

مسبق الاجهاد (p) لنماذج المجموعة أ .

وقد كانت النتائج العملية اكثر من النتائج النظرية اي ان الكفاءة التصميمية كانت اكثر من ١٠٠ % كما في الجدول (١ - ٥) ومن خلال مقارنة نسب الكفاءة التي تساوي نسبة عزم الفشل الى عزم التصميم (الذي تم حسابه بموجب معادلات الكود الامريكي (٣٤)) - مع التغير في نسبة الحديد مسبق الاجهاد (P_p) فقد تبين ان لنسبة مساحة حديد تسليح الشد العادي نفسها والحفاظ على قوة اجهاد المقطع ثابتة لجميع النماذج فان الكفاءة بزيادة نسبة الحديد مسبق الاجهاد (P_p) تقل ولكنها تثبت عند مستوى معين كما في الشكل (٢ - ٦) .

وبالمقابل فان الكفاءة تزداد بتقليل نسبة الحديد مسبق الاجهاد وتثبت نسبة حديد الشد العادي (P_s) اي عندما تزداد قيمة الاخير على الاول بمقدار لايتجاوز الضعف .

ويمكن تفسير ذلك بان الزيادة في الكفاءة تعزى الى التصلب الانفعالي Strain hardening للحديد العادي .

اما بالنسبة لنماذج المجموعة الثالثة (ج) التي لها التحمل الاقصى نفسه فقد كانت قيم الكفاءة متساوية تقريبا .

٢ - ٢ - ٦ تأثير نسبة حديد الشد العادي :-

من خلال استعراض النتائج العملية المستحتملة من هذا البحث فقد تبين ان التحمل الاقصى للعتبات الخرسانية المسبقة الاجهاد تزداد بزيادة نسبة حديد تسليح الشد العادي اذ عند ظهور التشققات تنتقل الاجهادات الناتجة عن عزوم الاحمال الخارجية المسلطة من الخرسانة الى الحديد الامر الذي يؤدي بالتالي الى زيادة المقاومة القموى . فمن خلال مقارنة نماذج المجموعة الثانية (ب) فقد كانت نسبة زيادة التحمل الاقصى للنموذج B₂ على النموذج B₁ حوالي ٦٢% بزيادة نسبة التسليح العادي من الصفر الى ٤٥٣ x ١٠-٣ ونسبة زيادة تحمل النموذج B₄ على النموذج B₁ حوالي ١٠٠% اي بزيادة نسبة التسليح من الصفر الى ٧٥٥ x ١٠-٣ .

ولاعطاء صورة اوضح فقد تم تمثيل العلاقة بين التحمل الاقصى والزيادة في نسبة حديد تسليح الشد العادي ولقيمتين مختلفتين من P_p اي نسبة الحديد مسبق الاجهاد بطريقة عملية واخرى نظرية بموجب الكود الامريكي وكانت العلاقتان متماثلتين . كما في الشكل (٦-٣) يمكن الاستفادة من هذا المنحني من الناحية التصميمية ان يتم افتراض قيم لنسب نوعي التسليح بالاضافة الى ابعاد المقطع وتغيرهما للحصول على العزم المطلوب الذي يشكل عاملا مهما في تحديد ابعاد المقطع .

ويمكن ملاحظة تاثير الحديد العادي في الكفاءة من خلال الشكل (٦-٤) ولقيمتين من نسب تسليح الحديد مسبق الاجهاد . وتبين ان الكفاءة التميمية لنسبة الحديد مسبق الاجهاد تقدر بـ $3-10 \times 3r55$ متماثلة لجميع النماذج .

اما عندما تكون نسبة الحديد مسبق الاجهاد تساوي $3-10 \times 1r77$ فان الكفاءة تقل بزيادة نسبة التسليح العادي عن تسليح الحديد مسبق الاجهاد بمقدار اكثر من الضعف .

ولبيان التأثير المشترك لنوعي التسليح في المقاومة القصوى للمقاطع الخرسانية فقد تم تمثيل العلاقة بين معامل التسليح (\bar{W}) الذي تم حسابه بموجب معادلات الكود الامريكي (٣٤) والمذكور في الفصل الثالث - الجدول (١ - ٣) والتحمل الاقصى للنماذج (العالي والنظري) كما في الجدول (٥-٣) والشكل (٦-٥) =

حيث تبين اقصى عزم انحناء يمكن ان تتحمله المقاطع يزداد بزيادة قيمة (\bar{W}) للعتبات المسبقة الاجهاد .

الا ان النماذج المسبقة الاجهاد كليا تعطي قيم عزوم انحناء منخفضة ويمكن تفسير ذلك انه لقيم من معامل التسليح (\bar{W}) نفسها فان العتبات الحاوية على تسليح عادي لها تحمل اقصى اكثر .

ويمكن الاستفادة من العلاقة اعلاه بين العزم ومعامل التسليح للاغراض التصميمية . وعند حساب نسبة الاجهاد الجزئي (PPR) بموجب المعادلة (٢ - ٢) عن طريق ايجاد اقصى اجهاد عند فشل المقطع

بطريقة نظرية بموجب ملحقات المعادلة (٣-٥) كما في الجدول (٣-٥) ا
 ودراسة علاقتها مع قيم التحمل الاقصى للنماذج العملية فقد
 تبين انه بزيادة (PPR) عن طريق زيادة نسبة مساحة الحديد مسبق
 الاجهاد تزداد المقاومة القصوى للمقاطع الخرسانية .

ومن هنا يمكن الاستنتاج بان زيادة نسبة مساحة الحديد مسبق
 الاجهاد مع تثبيت نسبة مساحة الحديد العادي تسبب انخفاض الاجهادات
 المتولدة في حديد مسبق الاجهاد عند فشل المقطع الخرساني .

اما اذا تم رفع نسبة الاجهاد الجزئي (PPR) عن طريق زيادة
 نسبة الحديد العادي فان ذلك يؤدي الى انخفاض التحمل الاقصى كما
 في الشكل (٦-٦)

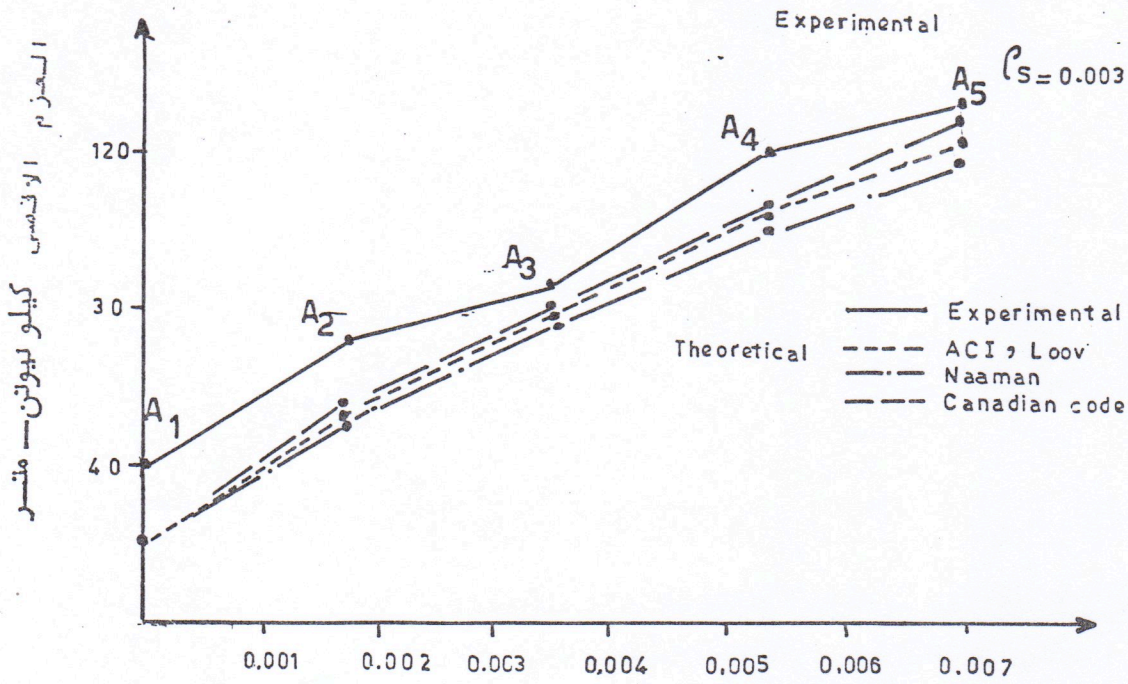
ويمكن تفسير ذلك عن طريق المعادلة (٢ - ٢) الخاصة بحساب
 قيمة (PPR) حيث ان بسط المعادلة سيبقى ثابتا نظرا لثبات مساحة
 الحديد مسبق الاجهاد ، اما القوة المتولدة في حديد الشد العادي
 فستزداد بزيادة نسبة مساحته وبما انها تشكل مقام المعادلة
 المذكورة فان نسبة الاجهاد الجزئي PPR تقل تباعا ولكن التحمل
 الاقصى يزداد نتيجة زيادة العزم الداخلي المقاوم .

٣ - ٦ تأثير المتغيرات في التشقق :-

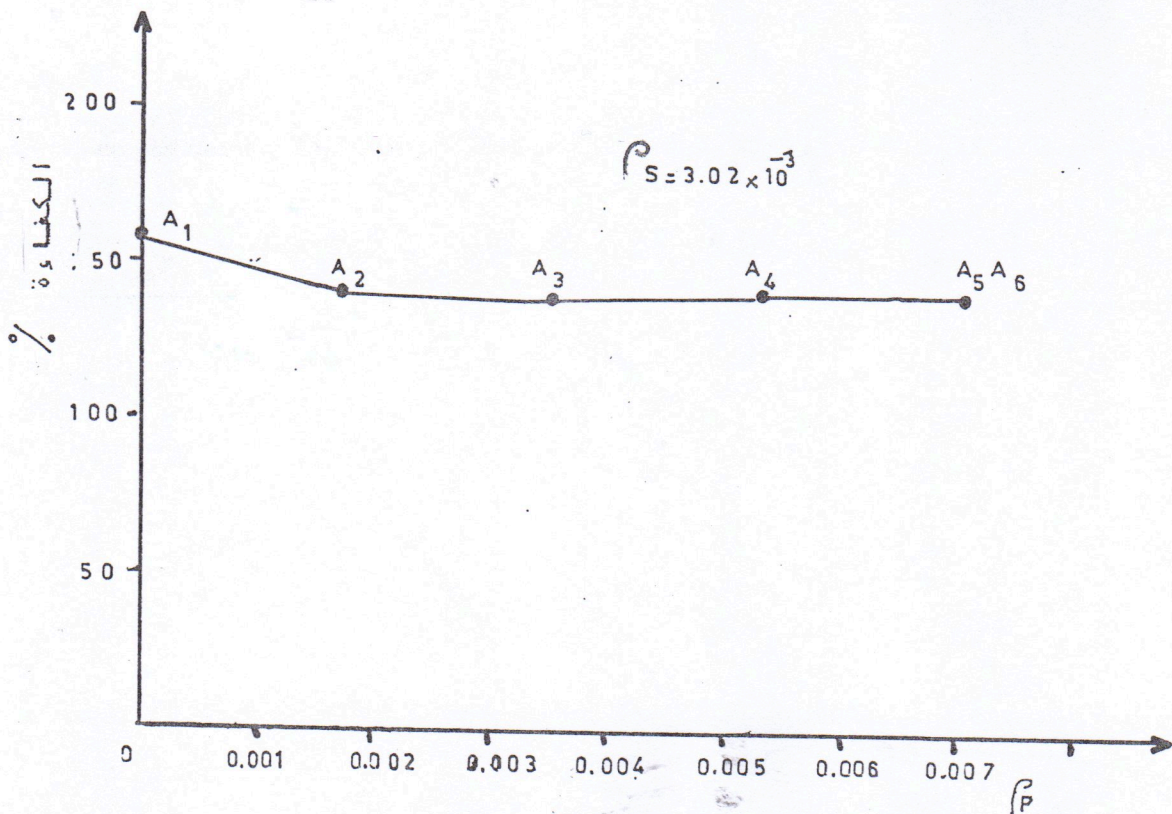
١ - ٣ - ٦ تأثير الحديد مسبق الاجهاد في التشقق :-

تم دراسة تأثير الحديد مسبق الاجهاد في التشقق من خلال
 المجموعة الرابعة (د) اذ لوحظ بان عزم التشقق الاولي يزداد
 بزيادة نسبة مساحة الحديد مسبق الاجهاد اي بزيادة قوة اجهاد
 المقطع الخرساني ، والسبب في ذلك هو انها تؤدي الى تقييد
 اجهادات الشد التي لها دور مؤثر في المقاومة القصوى للمقاطع
 الخرسانية .

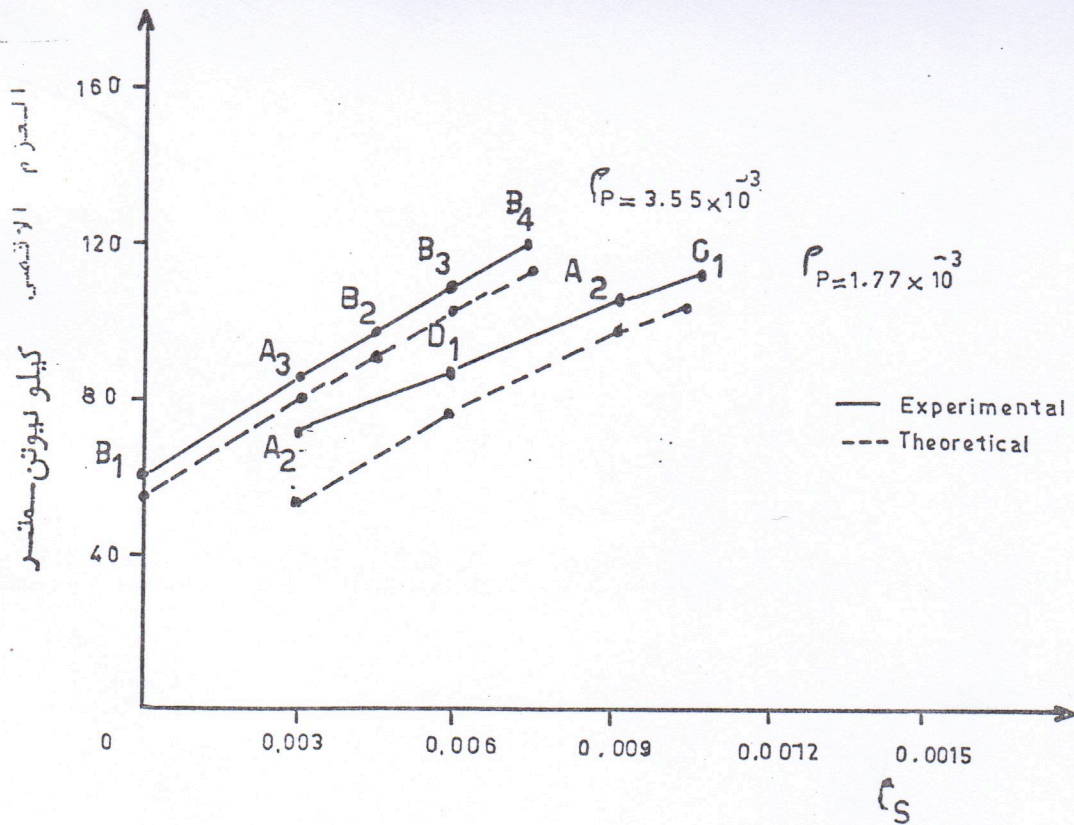
وقد كانت نسب عزم التشقق الاولي للنماذج A4, A3, A2, A1 الى عزم
 التشقق الاولي للنموذج (A6) هي ٢٣٢ر٠ ، ٤٤٩ر٠ ، ٦٥٦ر٠ ، ٨ر٠ على
 التوالي .



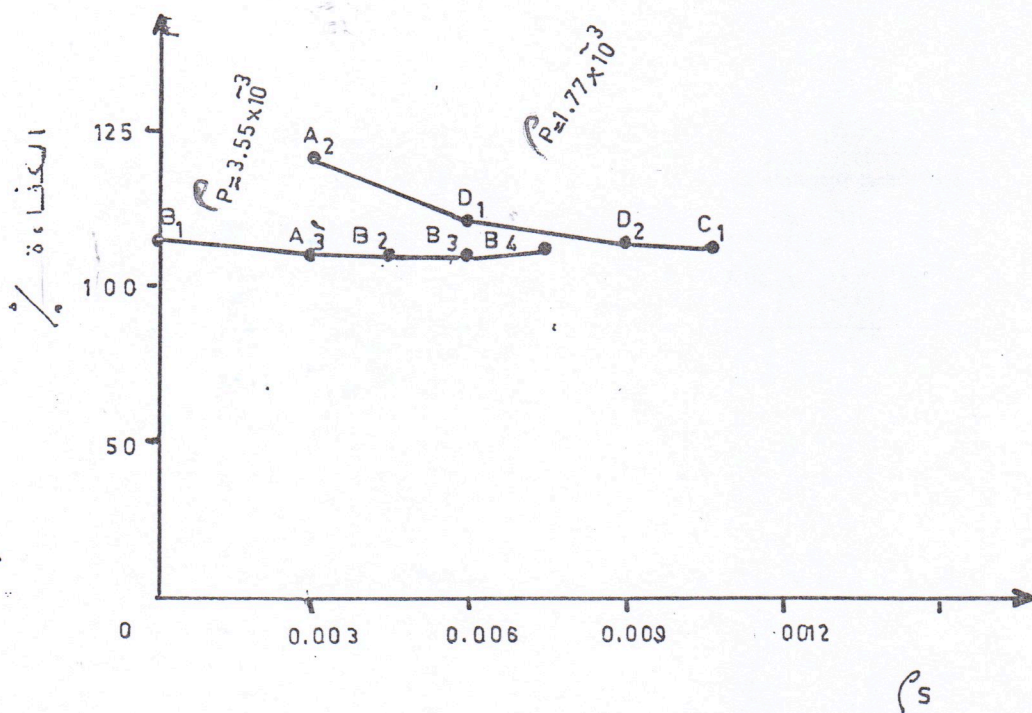
الشكل (٦-١) العلاقة بين العزم الاقصى ونسبة الحديد مسبق الاجهاد P_p لقيمة واحدة من نسبة الحديد العادي



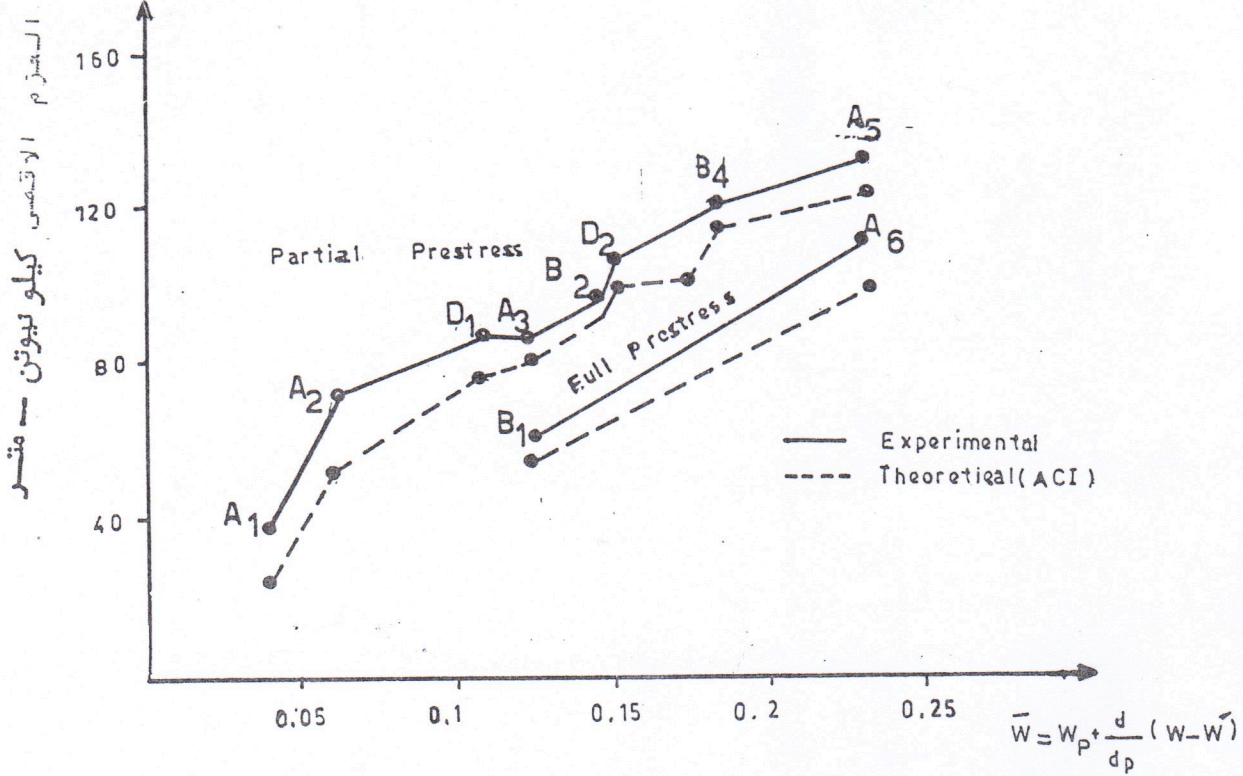
الشكل (٦-٢) العلاقة بين الكفاءة ونسبة الحديد مسبق



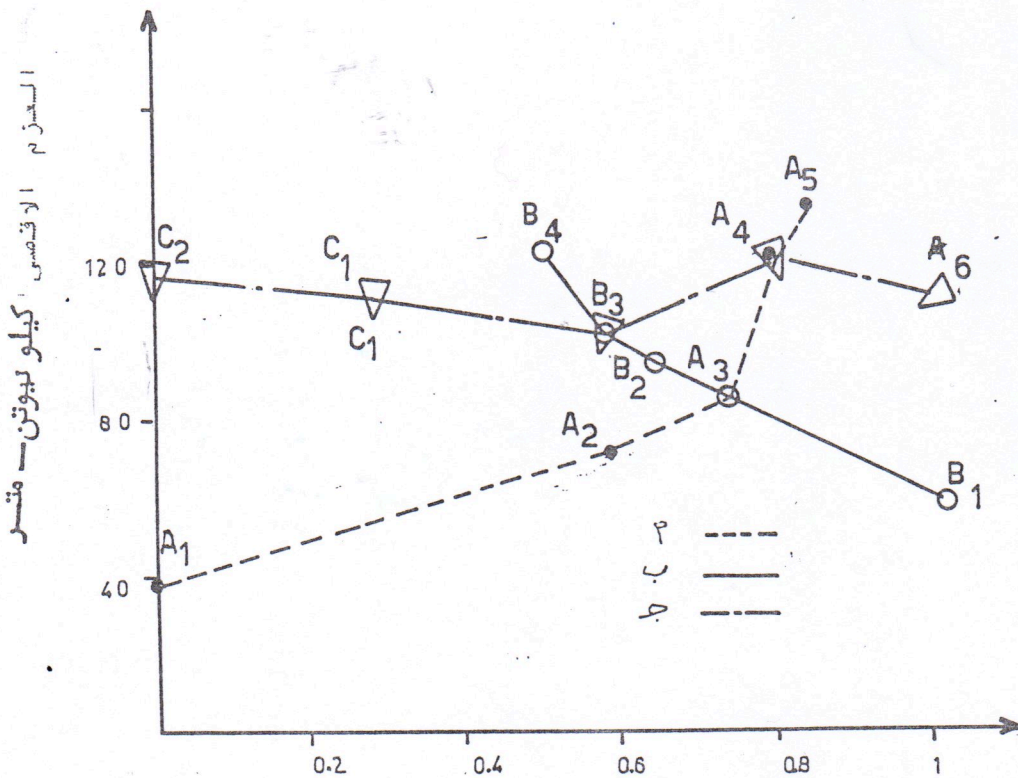
الشكل (٦-٣) العلاقة بين العزم الاقصى ونسبة الحديد العادي δ_s



الشكل (٦-٤) العلاقة بين الكفاءة ونسبة الحديد العادي δ_s



الشكل (٥-٥) العلاقة بين العزم الاقصى ومعامل التسليح الكلي \bar{W}



$$PPR = \frac{A_p f_p s}{A_p f_p s + A_s f_y}$$

الشكل (٦-٦) العلاقة بين العزم الاقصى ونسبة الاجهاد الجزئي PPR

ومن مقارنة هذه النسب مع نسب قوة اجهاد مقاطع النماذج اعلاه يظهر ان الزيادة في عزم التشقق للنموذج A2 عن النموذج A1 تساوي ٢٥ % تقريبا ويطبق الشيء نفسه على النماذج الاخرى ، وهي تساوي تقريبا الزيادة في قوة الاجهاد المسلطة على المقاطع بنسبة ٢٥ % .
الا ان هذه النسب لم تنطبق على التحمل الاقصى .

وقد كانت النتائج العملية اكثر من النتائج النظرية ، كما في

الجدول (١ - ٥)

ان شقوق الانثناء الاولى initial flexural cracks بدأت بالظهور بشكل عمودي في منطقة العزم الثابت وان اختلفت مواقعها باختلاف نماذج المجموعة فمن المنطقة نفسها وذلك لطول المسافة الحرجة التي يمكن ان تتجاوز فيها اجهادات شد الخرسانة معامل التمدد .

لقد ظهرت ثلاثة شقوق في النموذج (A6) المسبق الاجهاد كليا كانت جميعها في منطقة العزم الثابت بمسافات بينية تساوي العمق الكلي للنموذج تقريبا .

اما لنماذج العتبات (A5 - A1) فان عدد الشقوق في منطقة العزم الاقصى (الثابت) وفي المقاطع الاخرى قد زادت بتقليل نسبة مساحة الحديد مسبق الاجهاد اي تقليل قوة اجهاد المقطع وتقليل الفرق بين نسبة الحديد مسبق الاجهاد الى الحديد العادي باتجاه زيادة نسبة الاخير ، التي ادت كذلك الى تقليل عرض الشقوق ومسافات البيئية ، كما في الجدول (١ - ٦) ،

٢ - ٣ - ٦ تأثير نسبة حديد تسليح الشد :-

يظهر تأثير نسبة حديد التسليح العادي بشكل اوضح من النتائج

العملية للمجموعة الثانية (ب) .

حيث ظهرت ثلاثة شقوق في منطقة العزم الثابت للنموذج (B1)

المجهد كليا وبمسافات بينية يساوي معدلها تقريبا العمق الكلي

جدول ١ - ٦ نتائج فحص التشقق

النموذج	غرض الشقوق عند الفشل	المسافات البينية للشقوق ملم		العزم عند شق غرفة ٣، ملم عملي	نسبة العزم عند شق غرفة ٣، ملم إلى التحميل الأقصى	العزم عند شق غرفة ٣، ملم	العزم عند شق غرفة ٣، ملم
		أدنى	أقصى				
A ₁ A ₂ A ₃ A ₄ A ₅ A ₆	٧ر٤٥ ٥ر٣ ٤ر٤ ٥ر٥ ٥ر٥ ١٠ر٢	٣٥	٢٠	٢١ر٢١٥	٠ر٥٣	—	—
		٣٠	١٢	٣٧ر٧١٥	٠ر٥	٣٣ر٦	٢٧ر٨٦
		٢٢	١١	٥٢ر٧١٥	٠ر٥٩	٥٠ر٧٣	٤٣ر٢٤
		٣٠	١٢	٦٨ر١٨	٠ر٥٧	٦٨ر١٣	٥٨ر٩٢
		٢١	١٢	١٠٠ر٩٣	٠ر٧٤	٨٥ر٢٢	٧٤ر٣
		٣٥	٣٠	٩١ر٦٨	٠ر٧٥	—	—
B ₁ B ₂ B ₃ B ₄	٦ر٠ ١ر٥ ٣ر٠ ٢ر٦	٤٥	٢٨	٤٥ر٢١٥	٠ر٧٣	—	—
		٢٢	١٠	—	—	٦٦ر٦	٦٣ر٨٤
		٢٠	٧	٧٢ر٧٨	٠ر٦٥	٧٤ر٥	٧٥ر١٤
		١٦	٧	٨٠ر٧١٥	٠ر٦٤٦	—	—
C ₁ C ₂	١ر٩ ٤ر٠	٢٠	٨	٦٤ر٤٢	٠ر٥٥	٧٤	٨٢ر٤٧
		٢٣	٥	٤٠ر٤٣	٠ر٣٢	—	—
D ₁ D ₂	٣ر١٠ ٢ر٥٠	١٥	٦	٥٠ر٢١٥	٠ر٥٤	٤٩ر١٦	٤٦ر٨
		١٩	٨	٧٥ر٢٣	٠ر٦٧	٦٥ر٠	٥٧ر١٤

للمنموذج ، وهذا يشبه الى حد كبير سلوك النموذج A6 .
ان اضافة حديد التسليح العادي له اي زيادة نسبته على نسبة الحديد مسبق الاجهاد (P) ادى الى زيادة عدد الشقوق وتقليل عرضها ومسافاتهما البينية كما في الشكل (٧ - ٥) والجدول (١ - ٦) ويظهر تأثيره ايضا من خلال مقارنة النماذج A2, D1, D2 التي تم تقليل قوة اجهاد مقاطعها مقارنة مع المجموعة (ب) والتي فيها نسبة الحديد العادي اكبر بكثير من نسبة الحديد مسبق الاجهاد ، حيث زادت بشكل ملحوظ عدد الشقوق وقل عرضها وعمقها .
وكما ذكر سابقا تكون جميع الشقوق عمودية في المراحل الاولى ولكن في النماذج التي تزيد فيها نسبة الحديد العادي الى حديد مسبق الاجهاد بشكل كبير تبدأ الشقوق المتكونة خارج منطقة العزم الثابت بالانحناء بزواوية باتجاه نقاط التحميل في المراحل المتأخرة من الفحص .
ان تأثير الحديد العادي في الشقوق يعود الى قوة الترابط (bond) بين الحديد والخرسانة المحيطة به تلعب دورا كبيرا في السيطرة على التشقق crack control .
وكذلك فان الحديد العادي له مساحة سطحية اكبر نتيجة للخروز الموجودة فيه وهذا يعني مساحة اكبر من الترابط بينه وبين الخرسانة .
كما ان وضع الحديد العادي اسفل الحديد مسبق الاجهاد اي اقرب الى اجهادات الشد يؤدي الى توزيع الشقوق بشكل افضل مع تقليل عرضها .
ان العتبات المسبقة الاجهاد كليا لاتظهر فيها الشقوق عند الظروف الخدمية كما تبين من النماذج B1, A6 حيث كانت نسبة عزم التشقق الاولي الى المقاومة القموى تساوي تقريبا ٠.٦٦ ، ٠.٧٧٦ ، على التوالي .
في حين كل العتبات المماثلة للنموذج A6 من حيث التحمل الاقصى (C2, C1, B3, A4) انخفضت نسبة عزم التشقق الاولي الى المقاومة

القصوى بتقليل قوة اجهاد المقطع اي تقليل التقييد المفروض على الخرسانة ولكن زيادة نسبة التسليح العادي ادت الى زيادة عدد الشقوق وتناقص عرضها ومسافاتهما البيئية .

ولدراسة جانب من تصرف الخرسانة المسبقة الاجهاد جزئيا خلال تعرضها لاحمال الخدمية فقد تم اختيار نماذج المجموعة (الرابعة) (٥) في الجدول (٢ - ٤) وذلك بتحديد قيمة عليا لعرض الشقوق لالتزيد على ٣ر.ملم .

وقد اظهرت النتائج العملية اختلاف عزوم الانحناء المؤدية الى شق عرضه ٣ر.ملم باختلاف قوة الاجهاد المسلطة على المقطع الخرساني بالاضافة الى نسبة حديد التسليح العادي كما في الجدول (١ - ٦) . فعند تثبيت حديد تسليح الشد العادي مع زيادة قوة الاجهاد على المقطع ارتفع عزم الاحمال الخدمية المتسبب في تكوين شق عرضه ٣ر.ملم كما في النماذج A4, A3, A2 .

ولكن بزيادة نسبة حديد التسليح العادي مع تقليل نسبة الحديد مسبق الاجهاد اي تقليل قوة الاجهاد المسلطة على المقطع الخرساني كما في النموذج (D1) مقارنة مع النماذج A4, A3 فقد انخفض العزم عند شق عرضه (٣ر.ملم) ، ولكن تأخر وصول عرض الشق الى ٣ر.ملم على الرغم من ان عزم التشقق الاولي للنموذج D1 كان اقل من عزم التشقق الاولي للنموذجين A3 , A4 .

ان زيادة نسبة حديد التسليح العادي بنسبة ١٠٠ % ادت الى رفع قيمة عزم الانحناء اللازمة لشق عرضه ٣ر.ملم بنسبة ٣٣% التي ظهرت من خلال مقارنة النموذج D1 مع النموذج A2 لنفس قوة اجهاد المقطع الخرساني .

وبزيادة نسبة التسليح العادي بمقدار ٢٠٠ % كما في D2 مقارنة مع النموذج A2 فان عزم الانحناء لشق عرضه ٣ر.ملم زاد بنسبة ١٠٠% .

ومن مقارنة النماذج B3 مع A3 فقد تبين ان زيادة التسليح العادي بنسبة ١٠٠ % تؤدي الى زيادة العزم المذكور بنسبة ٣٨ % .

وبزيادة الحديد العادي بنسبة ٢٥٧% ارتفع العزم المذكور بنسبة ٧٠%.

وهذا يعزى بشكل رئيسي الى تحمل حديد التسليح العادي لاجهادات الشد .

ان هذه الخاصية مفيدة جدا في حماية الحديد مسبق الاجهاد من المدأ والتآكل وتقليل الفواقد .

وعند تحديد عرض الشقوق المسموح بها لمقاومة الظروف الخارجية وفي هذه الحالة يمكن تخمين النسبة الملائمة لحديد تسليح الشد العادي لضمان صلاحية المنشأ للتمرف في ظروف الاحمال الخدمية .

وقد كان النتائج العملية اكثر من النظرية ماعدا نتائج النموذج C₂ حيث كانت اقل كما في الجدول (١ - ٦) .

وقد تكون الاختلافات الناتجة بين القيم العملية والنظرية بسبب اهمال قيم الاجهادات المعتمدة على الزمن في الحديد العادي .

ومن خلال الشكلين (١٥ - ٥) ، (١٦ - ٥) يلاحظ بان انفعال الحديد العادي وعلاقته مع الاحمال المسلطة يمر بثلاث مراحل :-

الاولى قبل التشقق والثانية بعد التشقق والثالثة عندما يصل الحديد مرحلة الخضوع ويدخل في الحالة اللدنة للنموذجين (A₄, A₃) .

وقد كانت قيم الاحمال التي ادت الى خضوع حديد التسليح العادي عند انفعال قدره ٠,٢٦ ر، يساوي ١٢٤ ، ١٩٩ ر كيلونيوتن

للنموذجين A₄, A₃ على التوالي .

٤ - ٦ تأثير المتغيرات في انفعالات الخرسانية :-

وقد بينت نتائج قراءات الانفعال بان زيادة نسبة الحديد مسبق

الاجهاد في المقطع الخرساني وبالتالي زيادة قوة اجهاد المقطع

تؤدي الى زيادة انفعالات الشد المتولدة في الشرائح العليا من

النموذج وبالمقابل الى زيادة انفعالات الانفعال في الشرائح السفلى

من النموذج كما في الشكل (٣ - ٥) للنماذج من A₆ - A₂ .

اما بالنسبة للاختلاف الحاصل في انفعالات النموذجين (A₆, A₅)

فقد كان ناتجا من تأثير حديد التسليح العادي في النموذج (A5) في تقليل انفعالات الضغط في الشرائح السفلى من النموذج علاوة على تقليل اجهادات الشد في الشرائح العليا من المقطع .

وبالنسبة لنماذج المجموعة الثانية (ب) فان الزيادة في نسبة حديد التسليح العادي في منطقة الشد للمقطع الخرساني ادت الى تقليل اجهادات الضغط ، الا انها ادت في النموذج (B4) تغير اجهادات الشد في الشرائح العليا الى اجهادات انضغاط مع زيادة اجهادات الانضغاط في الشرائح السفلى .

اما نماذج العتبات (D2, D1, C1) فلم يحدث فيها تغير يذكر مقارنة مع النموذج (A2) .

وفي اثناء مرحلة التحميل كانت الانفعالات المتولدة هي انفعالات شد في الاسفل وانضغاط في الاعلى .

وتبين انه زيادة نسبة الحديد مسبق الاجهاد تسبب تناقص قيم الانفعالات المتولدة على طول المقطع كما في الشكل (١٠-٥) لنماذج المجموعة (أ) وتبعاً لذلك يزداد عمق محور التعادل مقاساً من الشريحة العليا كما ان انفعالات النموذج (A5) كانت اقل من تلك للنموذج A6 بسبب وجود الحديد العادي . وكان هذا التأثير واضحاً في نماذج المجموعة الثانية (ب) ماعداً بعض الحالات التي لم تعط نتائج صحيحة بسبب تكون الشقوق حول مواقع قراءات الانفعال الامر الذي ادى الى نتائج خاطئة .

٥ - ٦ تأثير المتغيرات في الهطول :-

يلاحظ من الشكل (١٧-٥) ، لنماذج المجموعة الاولى (أ) ان العلاقة بين الهطول والاحمال تكون على مرحلتين الاولى قبل التشقق وتكون بشكل خط مستقيم لتصرف الخرسانة في المجال المرن ، والثانية بعد التشقق بشكل منحنى لتصرف الخرسانة في المجال اللدن .

ويتبين من الشكل (٧-٦) ان قيم هطول النماذج المتفاوتة

بدرجة اجهادها تنحصر بين قيم هطول النموذج المسلح تسليحا عاديا والمتمثل بالعتبة A_1 ونسبة اجهاد جزئية (PPR) تساوي صفرا وقيم هطول العتبة A_6 المسبقة الاجهاد كليا اي انها ذات نسبة اجهاد جزئية تساوي ١ .

وبزيادة قوة الاجهاد المسلطة على المقطع فان ميل الخط المستقيم الذي يمثل المجال المرن يقل وبذلك يكون المقطع الخرساني اقوى واكثر جساءة ، وكذلك الجزء الاخر الذي يكون بشكل منحني تتناقص درجة ميلانه .

اي ان الهطول يزداد بتقليل نسبة مساحة الحديد مسبق الاجهاد كما في الشكل (٢٠-٥) ، الذي يوضح الهطول على طول النماذج لمستويات عزوم مختلفة .

ويظهر ذلك من خلال مقارنة النموذجين A_5 ، A_6 حيث ادت اضافة حديد التسليح العادي الى النموذج A_5 الى تقليل نسبة اجهاده الجزئي وهطوله مع زيادة التحمل .

وفي حالة زيادة نسبة الحديد العادي كما في نماذج المجموعة (ب) فان منحنى العلاقة بين الاحمال والهطول يكون بشكل ثلاث مراحل الاول بشكل خط مستقيم قبل التشقق والثانية بعد التشقق وتكون بشكل خط مستقيم ولكن في الحالة المرنة والثالثة تكون بشكل منحني اي في الحالة اللدنة .

ان المرحلة الثانية تكون بشكل خط مستقيم تبين ان حديد التسليح العادي مازال في الحالة المرنة ، وعند وصوله الى اجهاد الخضوع ينتقل الى المرحلة الثالثة . كما في الاشكال (١٨-٥)

(٦-٨)

ويتزايد وضوح المراحل الثلاث مع الزيادة في نسبة الحديد العادي كما في الشكلين (١٩-٥) ، (٢٠-٦) الذي يؤدي ايضا الى زيادة عمق محور التعادل مما يؤدي الى تقليل الهطول في اثناء مراحل التحميل .

اما بالنسبة لنماذج العتبات التي لها التحمل الاقصى نفسه تقريبا وتمثل المجموعة (ج) في الجدول (٢ - ٤) فان منحنيات الاحمال والهطول للنماذج المسبقة الاجهاد جزئيا كانت ضمن المدى المحمور بالعتبة C_2 المسلحة تسليحا عاديا والعتبة A_6 المسبقة الاجهاد كليا كما في الشكل (٩ - ٦) وحسب قيم نسب الاجهاد الجزئي. وهذه احدى ميزات الاجهاد الجزئي والتي تبين انه باختيار قوة الاجهاد الملائمة للمقطع الخرساني يمكن الحصول على اي قيمة مطلوبة للهطول محصورة ومحددة بقيم الهطول للعتبات المسلحة عاديا وتلك المجهدة كليا .

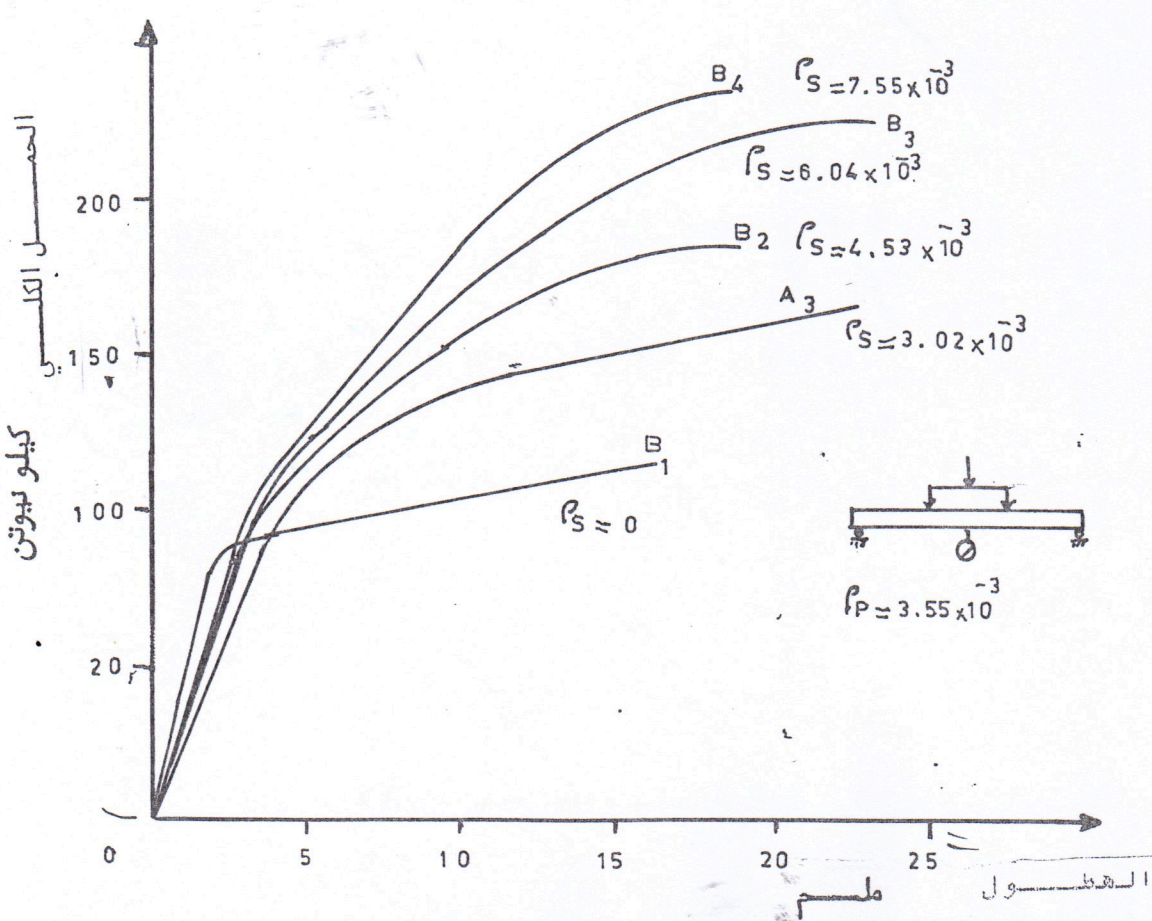
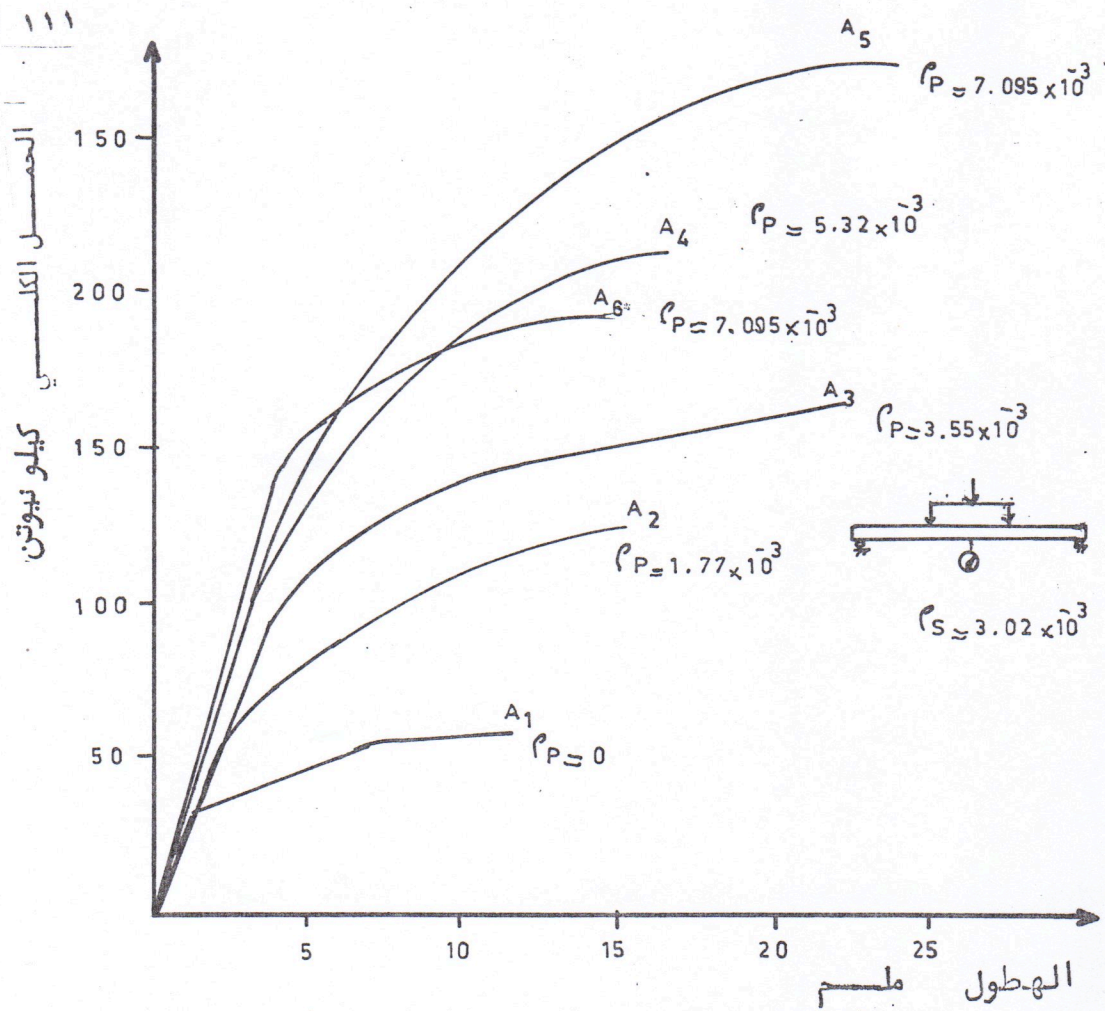
ولو تم حساب قيمة معامل التسليح (\bar{W}) بموجب متطلبات الكود الامريكي (٣٤) اي بموجب الجدول (١ - ٣) فانه يمكن الاستنتاج بان الهطول يقل بازدياد قيمة معامل التسليح .

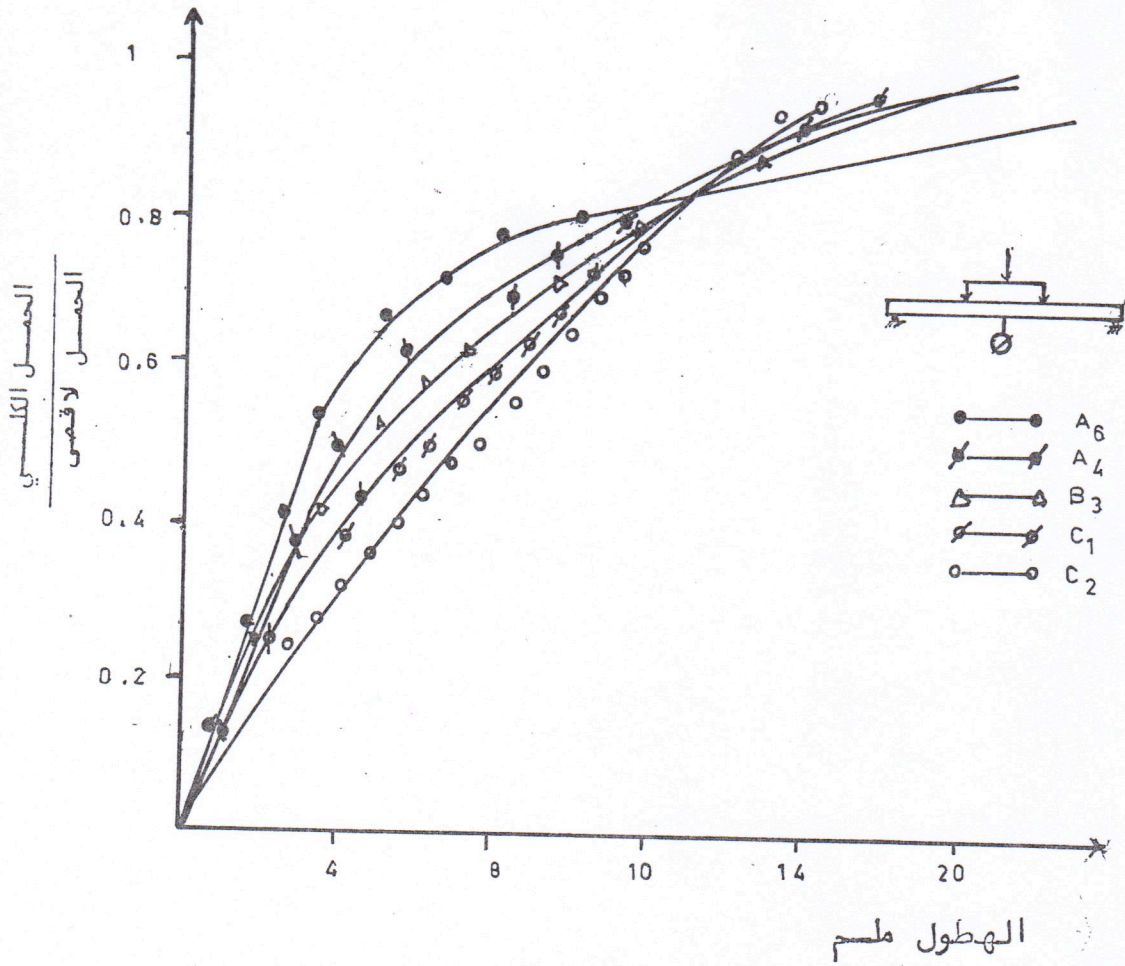
٦ - ٦ تأثير المتغيرات في التقوس :-

يلاحظ من الشكل (٣ - ٥) تأثير الحديد مسبق الاجهاد لنسب مختلفة من (P_p) تتراوح من صفر الى 7.09×10^{-3} ولنسبة ثابتة من حديد الشد العادي P_s تساوي 3.02×10^{-3} والتي تبين بان زيادة قوة اجهاد المقطع الخرساني الناتجة عن زيادة نسبة مساحة الحديد مسبق الاجهاد والتي ترفع من قيمة نسبة الاجهاد الجزئي (PPR) لها تأثير كبير على مطيلية المقاطع الخرسانية ، حيث ان التشوهات الناتجة عن عزوم الانحناء تتناقص اي ان لها تأثير سلبي على التشوهات .

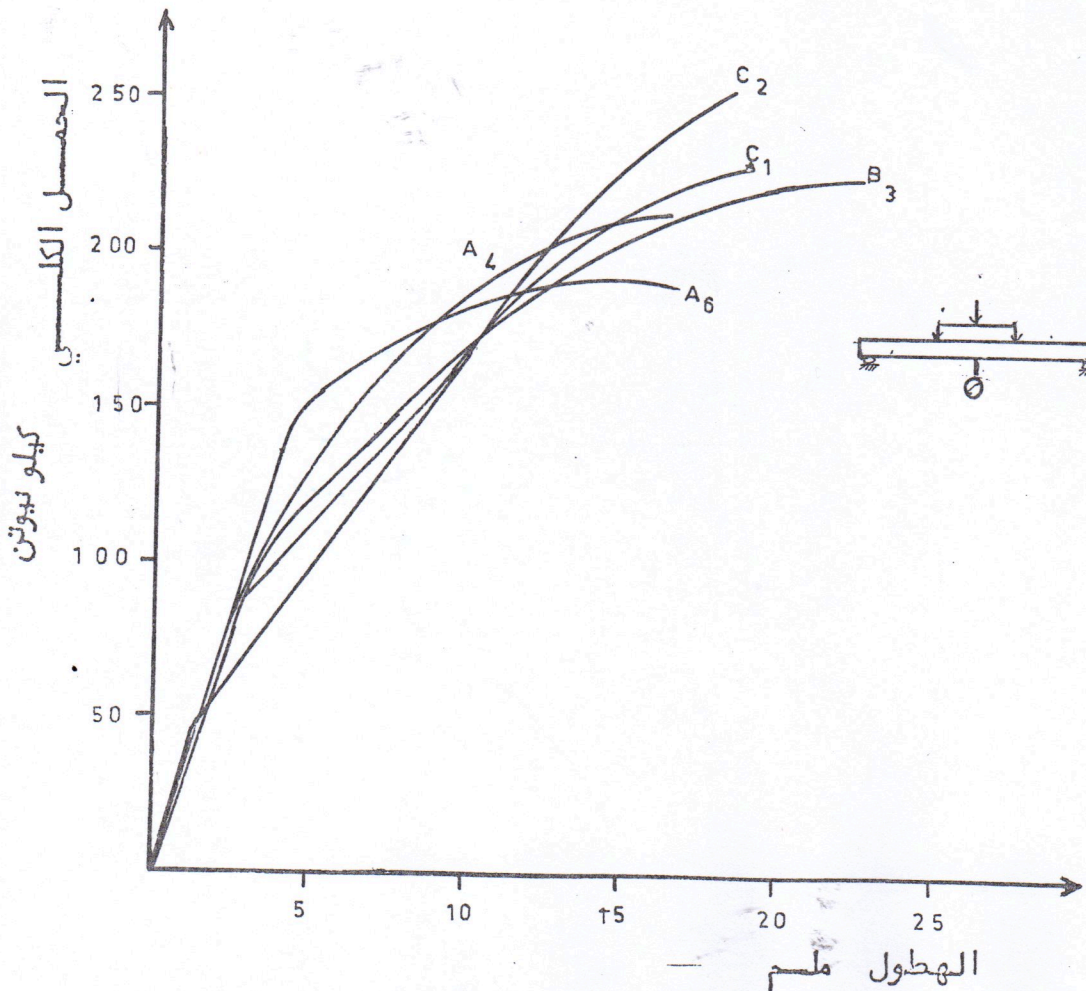
وكذلك تؤدي الى زيادة جساءة الانثناء flexural rigidity والذي هو ميل منحني العزم مع التقوس قبل التشقق اما بعد التشقق وبعد خضوع الحديد العادي تزداد التشوهات عند تغيرات قليلة في عزوم الانحناء .

اما في حالة عدم تغيير قوة الاجهاد المسلطة على المقطع

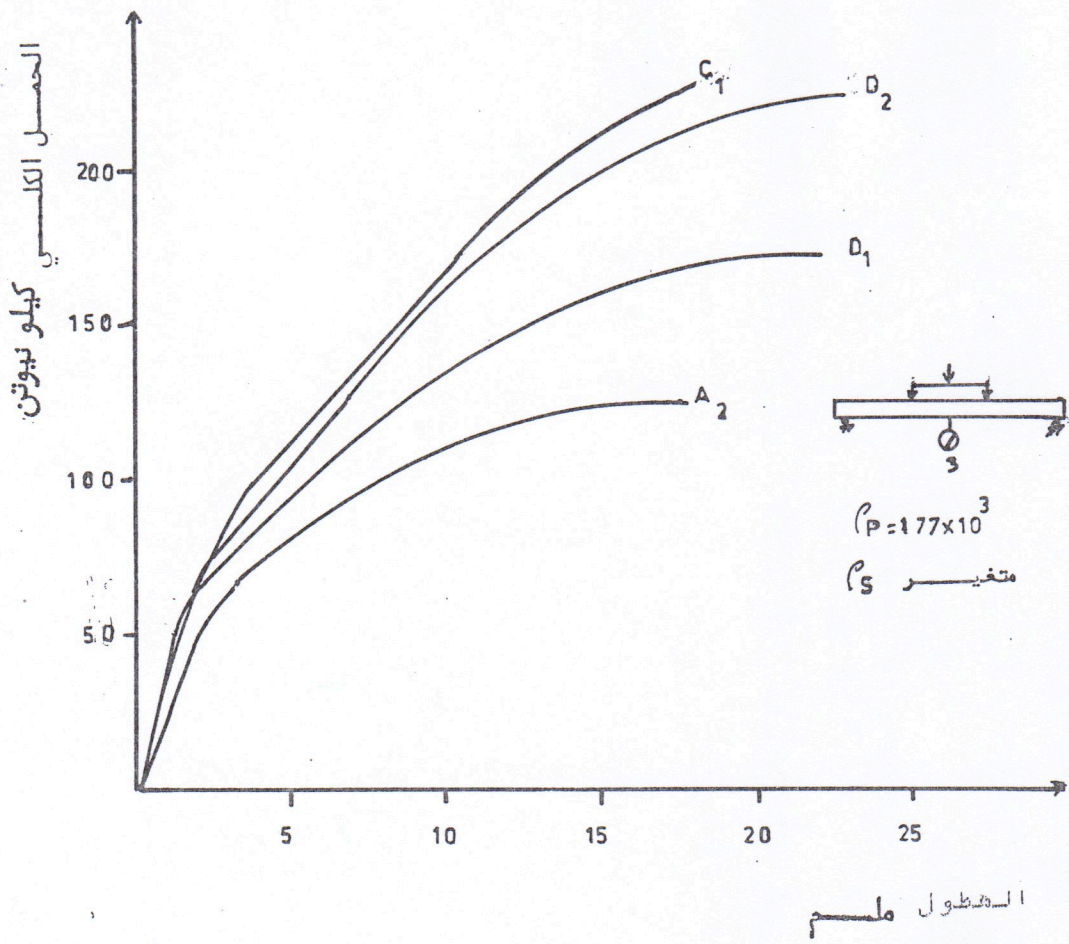




الشكل (٩-٦٦) مقارنة هطول مراكز نماذج المجموعة (ج)



الشكل (٩-٦٦) مقارنة هطول مراكز نماذج المجموعة ج



الشكل (٦-١٠) مقارنة هطول مراكز النماذج D₂, D₁, C₁, A₂

الخرساني كما في المجموعة (ب) فان زيادة نسبة حديد التسليح العادي تؤدي الى تقليل التشوهات والمطيلية .
وعند مقارنة نماذج العتبات المتماثلة تقريبا في تحملها الاقصى فان التشوهات بزيادة العزم في المراحل الاولى تكاد تكون متشابهة لجميع النماذج اي ان لها جساءة متساوية ، ومع زيادة عزم الانحناء يزداد التشوه وطيلية النماذج المجهددة بدرجة اقل وحاوية على نسبة تسليح عادي اكبر .

٧ - ٦ مقارنة النتائج العملية مع النتائج النظرية :-

تبين من مقارنة نتائج التحمل الاقصى الفعلية للبحث الحالي مع نتائج المعادلات النظرية التي اقترحها باحثون سابقون والتي وردت في الجدول (١ - ٥) بان المعادلات النظرية التقريبية تعطي نتائج متقاربة مع بعضها وكانت جميعها اقل من النتائج العملية .
وبإضافة نتائج البحث الحالي الى نتائج بحثين عمليين آخرين (١٠، ١١) لعتبات مسبقة الشد Prestensioned تبين بان المعادلات التي اقترحها الباحث نعمان (٩) هي اكثر الطرق ملائمة ان معدل نسبة نتائجها العملية الى النظرية تساوي ١٠١٦ بانحراف معياري مساوي الى ١٢٤ ، كما مبين في الجدول (٢-٦)
ومن تمثيل العلاقة بين عزم الفشل وبين عزم التصميم المحسوب بطريقة الكود الامريكي (٣٤) [المعادلة ٥-٣] كما في الشكل (١١-٦) تبين بأن معامل الارتباط البسيط

Simple Correlation Coefficient (r)

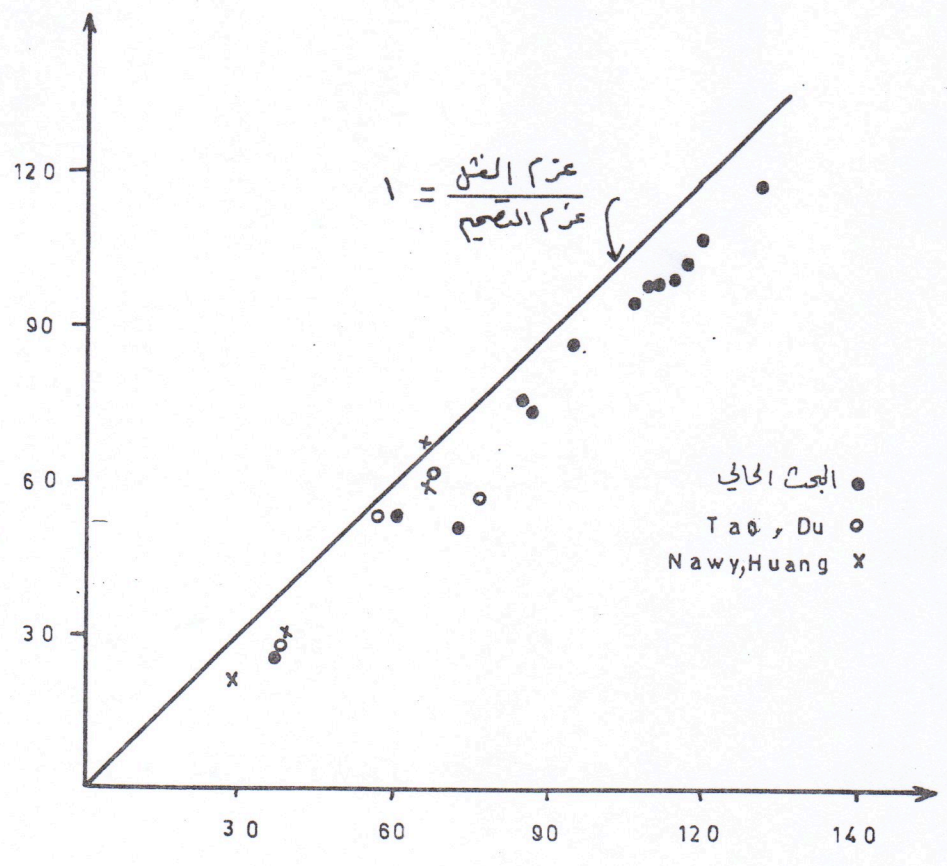
يساوي ٠٩٨ ، بموجب المعادلة (٦-١) التي هي:

$$r = \frac{N\sum XY - \sum X \sum Y}{\sqrt{[N\sum X^2 - (\sum X)^2] [N\sum Y^2 - (\sum Y)^2]}} \quad (٦-١)$$

الجدول ٦-٦ مقارنة النتائج العملية للبحر الحالي وبيوت اخرى مع نتائج الطرق النظرية

الباحث	النموذج	عزم الفشل كيلو نيوتن- متر	عزم التصميم ACI-83 ٣٤	عزم الفشل عزم التصميم	عزم التصميم Naa nan (٩)	عزم الفشل عزم التصميم	عزم التصميم LOOV	عزم الفشل عزم التصميم	عزم التصميم الكود الكندي ٣٦	عزم الفشل عزم التصميم
البحر الحالي	A1	٣٧٨٥	٢٥٥٥	صا	٢٥٥٥	صا	٢٥٥٥	صا	٢٥٥٥	صا
	A2	٧٣	٥١٦٨	١٤٠٧	٥١٦٧	١٣٩	٥٢١٦	١٣٨	٥١٦٧	١٤
	A3	٨٥٠	٦٦٠	١١٢	٧٥٧	١١٢	٧٧٦	١٠٩	٧٧٤٦	١١
	A4	١١٤٠٢	٩٩٦٥	١١٤	٩٨٨٥	١١٥	١٠١٦	١١٢	١٠٢٠٢	١١١
	A5	١٣١١	١١٨١٧	١١١	١١٨٠	١١١	١٢١٠٧	١٠٨	١٢٢٨	١٠٧
	A6	١٠٩٠	٩٨٧٠٥	١١١	٩٨٦	١١١	١٠٢١٦	١٠٧	١٠٢٣٣	١٠٨
	B1	٦٠٢	٥٣٦٢	١١٢	٥٤٣	١١١	٥٥٥٥	١٠٨	٥٥٨١	١٠٨
	B2	٩٥٠	٨٧٠١	١١١	٨٦٥٦	١٠٩	٨٨١١٦	١٠٨	٨٨٤	١٠٧
	B3	١٠٧٠	٩٧٠	١١١	٩٦٦٣	١١١	٩٦٨٤	١١١	٩٨٥٦	١٠٨
	B4	١١٩٠	١٠٧٣٤	١١١	١٠٧٠١	١١١	١٠٨٧	١٠٩	١٠٩٣٢	١٠٩
	C1	١١١٣١٥	٩٩٨٦	١١١	١٠٠٦٨	١١٠	١٠٠٧	١١٠	١٠٠٨٤	١١٠
	C2	١١٦٠	١٠٣١٤	١١٢	١٠٣١٤	١١٢	١٠٣١٤	١١٢	١٠٣١٤	١١٢
	D1	٨٦٠	٧٣٦	١١٧	٧٣٨٤	١١٦	٧٤٤	١١٥	٧٤٥٦	١١٥
	D2	١٠٦٠٥	٩٥٦٢	١١١	٩٥٦٧	١١١	٩٥٨	١١١	٩٦٤	١١١
المعدل			١١٦٩	١١٦٣		١١٤٦		١١٤٧		
الانحراف المعياري			٠١٢٤	٠١٣٢		٠١٣١٨		٠١٣٧		
Tao and Du (١٠)	D0	٥٧٥	٥٣٦٨	١٠٧	٥٣٦٨	١٠٧	٥٣٦٨	١٠٧	٥٣٦٨	١٠٧
	D1	٣٩١	٢٨٥	١٢٧	٢٩١	١٣٤	٢٨٧	١٣٦	٢٨١٧	١٣٩
	D3	٦٧١	٦١٤	١٠٩	٦٤٨	١٠٣٥	٦٢٨٧	١٠٦٨	٥٨٣٨	١١٥
	D10	٧٦٢	٥٦٦٢	١٣٤	٥٩٨٧	١٣٧	٥٧٦٤	١٣٢	٥٢١	١٤٦
	المعدل		١٢١٧	١١٧٨		١٢١٧		١٢٠٤		
الانحراف المعياري			٠١٥٩	٠١٤٩		٠١٥٧		٠١٥٧		
Nawy and Huang (٣٧)	B1	٢٩١٨٧	٢٢١١٥	١٣١	٢٢٢٣	١٣٢	٢٢٢٨	١٣٢	٢٢٠٨	١٣٢
	B3	٢٨٨	٢١١٨٨	١٣٥	٢٢٨٩	١٣٢	٢٢٨٦	١٣٤	٢٢٤٤	١٣٢
	B13	٦٦٤٤	٦٢٣١	١٠٧	٦٢٨٤	١٠٦	٦٢٤	١٠٦	٦٢٠٣	١٠٧
	B18	٦٦٨١٨	٦٨٨٢	٠٩٧	٦٨٤	٠٩٨	٦٨٠٤	٠٩٨	٦٧٩٧	٠٩٨
المعدل			١١٥	١١٣٥		١١٥٢		١١٥٢		
الانحراف المعياري			٠١٥٧	٠١٤٢		٠١٤١		٠١٤١		
المعدل الكلي للنماذج			١١٧٣	١١٦		١١٦٦		١١٦٦		
الانحراف المعياري			٠١٣١	٠١٣٤		٠١٣٤		٠١٣١		
معامل التغير %			١١١٨	١٠٦٩		١٢٣٥		١١٣٩		

عزم التشنج
كيلوبوتن - متر



عزم الفشل الفعلي كيلوبوتن - متر

الشكل (11-6) العلاقة بين عزم الفشل الفعلي وعزم التصميم

وتم ايضا تقدير حدود المطيلية لنماذج العتبات باستخدام العلاقات التي اقترحها باحثون سابقون كما في الجدول (٣-١)، واجريت المقارنة بينها على اساس احتساب نسبة حد المطيلية الى الحد الاقصى المسموح به حسب كل طريقة [الجدول (٣-٢)] وذلك بموجب مايلي:

١. مقترح الباحثون Skogman et al (١٣) لحساب حد المطيلية وايجاد نسبته من الحد الاقصى الذي هو $E_{cu} = 120$ والذي يساوي ٠.٣٦، بافتراض E_{cu} يساوي ٠.٠٣٠٠٣.
٢. مقترح دليل تفسير الكود الامريكي (٣٧) الذي قيمته القموى
$$= 0.36 \times \beta_1$$
٣. مقترح الباحث نعمان (١٧) الذي قيمته القموى = ٠.٤٢٥.
٤. مقترح الكود الكندي (٣٦) الذي قيمته القموى = ٠.٥٠
٥. مقترح الكود الامريكي (٣٤) الذي قيمته القموى = $0.36 \times \beta_1$

وتبين بان الطريقة الواردة في دليل تفسير الكود الامريكي (٣٧) هي الاكثر امانا "Most Conservative" اذ كانت نسبته من الحد الاقصى = ٦٧.٤%. وطريقة الكود الامريكي هي افضل الطرق من خلال مقارنة قيم الانحراف المعياري لنتائجها، اذ كانت نسبته من الحد الاقصى = ٦١.٨٧%.

اما الطريقة التي اقترحها الباحثون Skogman et. al (١٣) فهي اقل الطرق تعقيدا وتضم اهم عاملين لتقدير المطيلية وقد كانت نسبته من الحد الاقصى = ٥٦.٣%.

بموجب الطرق النظرية

النموذج	Skognan et.al		ACI.318 commentary		Naaman		Canadian code		ACI-code 83	
	حد المطيلية	النسبة من الحد الأقصى	حد المطيلية	النسبة من الحد الأقصى	حد المطيلية	النسبة من الحد الأقصى	حد المطيلية	النسبة من الحد الأقصى	حد المطيلية	النسبة من الحد الأقصى
A ₁	—	—	—	—	—	—	—	—	—	—
A ₂	٠,٠٨٦	٢٣ر٩	٠,٠٧٦	٢٨ر٤	٠,١١	٢٥ر٩	٠,٠٨٦	١٧ر٢	٠,٠٩٧	٣٥ر٨
A ₃	—	—	—	—	—	—	—	—	—	—
A ₄	٠,٢١٤	٥٩ر٤	٠,١٨	٦٩ر٤	٠,٢٨	٦٥ر٩	٠,٢١٤	٤٢ر٨	٠,١٨١	٦٩ر٩
A ₅	٠,٣	٨٣ر٣	٠,٢٩٨	٩٧ر٧	٠,٤	٩٥	٠,٣	٦٠	٠,٢٣٧	٧٧ر٨
A ₆	٠,٢٥	٦٩ر٤	٠,٢٣	٨٤ر٦	٠,٣٥٦	٨٣ر٧٦	٠,٢٥	٥٠	٠,٢٣٥	٨٦ر١
B ₁	٠,٠٧	١٩ر٤	٠,٠٦٤	٢٣ر٣	٠,٠٩٨	٢٣ر١	٠,٠٧	١٤	٠,١٢٦	٤٥ر٩
B ₂	٠,٢	٥٥ر٥٥	٠,١٧٦	٦٥ر٢	٠,٢٦	٦١ر٢	٠,٢	٤٠	٠,١٥١	٥٦
B ₃	—	—	—	—	—	—	—	—	—	—
B ₄	٠,٢١٤	٥٩ر٤	٠,١٨٧	٦٩ر٧	٠,٢٧٣	٦٤	٠,٢١٤	٤٣	٠,١٩٧	٧٣ر٤٥
C ₁	٠,٢٥٧	٧١ر٤	٠,٢٣	٨٣ر٩	٠,٣١٦	٧٤	٠,٢٥٧	٥١ر٤	٠,١٨٥	٦٧ر٥
C ₂	٠,٢	٥٥ر٥٥	٠,١٨	٦٩ر٩	٠,٢٣٨	٥٦	٠,٢	٤٠	٠,١٥٦	٥٣ر٩
D ₁	٠,٢٣	٦٤	٠,١٩٧	٧٩ر٥	٠,٢٨٦	٦٧	٠,٢٣	٤٦	٠,١٣٢	٥١ر٣
D ₂	٠,٢١	٥٨	٠,١٩	٧٠ر٤	٠,٢٦٤	٦٢	٠,٢١	٤٢	٠,١٧	٦٢ر٩٦
المعدل	٥٦ر٣		٦٧ر٤		٦١ر٦		٤٠ر٥٨			٦١ر٨٧
الانحراف المعياري	١٩ر٠,٣		٢٢ر٦٦		٢١ر٤٥		١٣ر٧			١٤ر٨٨

* تم احتساب الأرقام الواردة في الجدول أعلاه باستخدام معادلات

الجدول (٦-٣)

الاستنتاجات والبحوث المقترحة

١ - ٧ الاستنتاجات :-

من النتائج العملية ونتائج الطرق النظرية التي استخدمت في

هذا البحث لغرض المقارنة يمكن استنتاج ما يأتي :-

١ - ازدياد التحمل الاقصى للعتبات المسبقة الاجهاد كليا وجزئيا

بزيادة قيمة معامل التسليح \bar{W} .

٢ - عند زيادة نسبة الاجهاد الجزئي (PPR) بزيادة نسبة الحديد

مسبق الاجهاد (P_p) يزداد التحمل الاقصى للعتبات المسبقة

الاجهاد ، وتؤدي الى انخفاض التحمل الاقصى اذا تم زيادة نسبته

بزيادة نسبة حديد التسليح العادي .

٣ - اضافة حديد الشد العادي في العتبات المسبقة الاجهاد ذات الشد

اللاحق ادت الى زيادة التحمل الاقصى اذ ان زيادة مساحة

الحديد العادي بنسبة ٥٠% ادت الى زيادة التحمل الاقصى بنسبة

١٣% في العتبات المسبقة الاجهاد جزئيا . علاوة على تأثير

الحديد العادي في زيادة عزم التشقق الاولي المحسوب نظريا .

٤ - زيادة نسبة الاجهاد الجزئي تؤدي الى زيادة عزم التشقق الاولي

اضافة الى زيادة العزم المطلوب لتكوين شق بعرض ٣ر٠ ملم .

٥ - تثبيت قوة اجهاد المقطع الخرساني وزيادة مساحة حديد الشد

العادي ادت الى رفع قيمة العزم المطلوب لتكوين شق بعرض

٣ر٠ ملم فمثلا ارتفع العزم المذكور بنسبة ٣٣% بزيادة مساحة

الحديد العادي بنسبة ١٠٠% (لنفس نوع الحديد العادي) .

٦ - العتبات المسبقة الاجهاد جزئيا تمتاز عن المسبقة الاجهاد كليا

بانتظام توزيع الشقوق وتقليل عرضها ومسافات البينية .

فمثلا النموذج (A3) تراوحت المسافات البينية لشقوقه من

(١١ - ٢٢) ملم اضافة الى ان اقصى عرض لشقوقه عند الفشل كانت تساوي (٤ر٤) ملم في حين ان النموذج (A6) تراوحت مسافات الشقوق البينية فيه من (٢٠ - ٣٥) ، وكان اقصى عرض للشقوق = ١٠ر٢ ملم عند الفشل .

٧ - العتبات المسبقة الاجهاد جزئيا كان لها قيم هطول اكبر من المسبقة الاجهاد كليا فمثلا كان هطول النموذج (A3) عند حمل مقداره (١٥) كيلونيوتن يساوي (١٧ر٢٢) ملم في حين ان هطول النموذج (A6) المجهد كليا عند الحمل نفسه يساوي (١ر٥) ملم مقاسا في مركز العتبة .

٨ - بزيادة نسبة حديد تسليح الشد العادي ازداد وضوح المراحل الثلاث لتغير الهطول مع الحمل والتي هي المرحلة المرنة قبل التشقق والمرحلة المرنة بعد التشقق والمرحلة اللدنة بعد التشقق .

٩- الطريقة التي اقترحها الباحث نعمان (٩) تبدو افضل الطرق النظرية لتحليل العتبات مستطيلة الشكل (للنماذج التي تمت المقارنة بينها) ، وكان معدل نتائجها الى النتائج العملية تساوي ١ر١٦ بانحراف معياري قدره ١ر٢٤ [

١- الطريقة الواردة في دليل تفسير الكود الامريكي ٣٧ لتقدير المطيلية هي الاكثر امانا ، اذ كانت نسبة عامل المطيلية الى الحد الاقصى تساوي ٦٧% .

٢ - ٧ البحوث المقترحة :-

- لفرض الوصول الى صورة اوضح عن سلوك الخرسانة مسبقة الاجهاد جزئيا ، يقترح دراسة مايتي :-
- ١ - التشقق والهطول للعتبات المجهدة لاحقا والمرتبطة بالخرسانة bonded Post-tensioned beams .
 - ٢ - تأثير التغيرات المعتمدة على الزمن في اجهادات الحديد مسبق الاجهاد والعادي .
 - ٣ - العتبات المستمرة والعتبات ذات المقاطع غير المستطيلة باختلاف طرق التحميل بالاضافة الى الخواص الهندسية الاخرى .
 - ٤ - المسقط الجانبي للحديد مسبق الاجهاد Profile باستعمال عدة انواع منه .

References

1. E.W. Benett.
"Partial Prestressing - A Historical over view"
PCI. Journal, Vol. 29, No. 5, Sept/Oct. 1984, P.P 104-117
2. Daniel P. Jenny .
"Current status of Prestressing for Prentensioned
concrete Products in North America "
PCI - Journal, Vol.30, No.1, January/Feb.1985, P.P142-153 .
3. Antonie E. Naaman and Siriaksorn .
"Serviceability based design of Partially Prestressed
beams. "
PCI. Journal, Vol. 24, No. 2, March/April 1979, P.P. 64-79
4. T.Y. Lin and N.H. Burns .
"Design of Prestressed concrete structures"
Thired edition, wiley 1981 .
5. Christian Menn .
"Partiall Prestressing from the Designer's Point of view"
Concrete international, Design and construction, ACI Vol.
5, No. 3, march 1983, P.P. 52-59 .
6. Stanley G Hutton and Robert E. Loov
"Flexural behariour of Prestressed, Partially Prestressed,
and Reinforced concrete beams. "
ACI - Journal, Vol. 63, No. 12, Dec. 1966, P.P. 1401-1409
7. R.F. stevens .
"Test on Prestressed reinforced concrete beams. "
Concrete, Nov. 1969, P.P.457-462 .

8. Alfred G. Bishara, and Gurcharan S. Brar.
"Rotational capacity of Prestressed concrete beams. "
ASCE, Vol. 100, No. 9, Sept 1974, P.P. 1883-1895 .
9. Antoine E. Naaman and Mohamad H. Harajli
"Evaluation of Ultimate steel stresses in Partially
Prestressed flexural members. "
PCI - Journal, Vol. 30, No. 5, Sept/Oct. 1985, P.P.54-75
10. Xuekang Tao and Gong chen Du.
"Ultimate stress of Unbonded Tendons in Partially
Prestressed concrete beams. "
PCI - Journal, Vol.30, No. 6, Novem./Dec. 1985, P.P.72-91.
11. Kevin J. Thompson and Robert Park .
"Ductility of Prestressed and Partially Prestressed
concrete beam sections . "
PCI - Journal, Vol. 25, No. 2, March/April 1980, P.P.46-68
12. Antoine E. Naaman, Muhamed H. Harajli and James K. Wight.
"Analysis of ductility in Partially Prestressed concrete
flexural members. "
PCI - Journal, Vol. 31, No. 3, May/June 1986, P.P. 64-83
13. Brian C. Skogman, Maher K. Tadros and Ronald Grasmick .
"Ductility of Reinforced and Prestressed concrete
members. "
PCI - Journal, Vol. 33, No. 6, Nov./Dec. 1988 P.P. 94-107
14. K.M. Suri and W.H. Digler
"Crack Width in Partially Prestressed members. "
ACI - Journal, Vol. 83, No. 5, Sept/Oct. 1986, P.P.784-797

15. Arthur H Nilson.

"Flexural stress after cracting in Partially Prestressed beams."

PCI - Journal, Vol. 21, No. 4 , July/Aug. 1976, P.P.72-81

16. A. H. Nilson

" Design of Prestressed concrete . "

John Wiley and Sons, Inc. Seconed Edition 1987 .

17. Antoine E. Naaman

"ultimate analysis of Prestressed and partially Prestressed sections by strain compatability . "

PCI - Journal, Vol. 22, No. 1, Jan./Feb. 1977, P.P. 31-51

18. Amin Gahli and Maher K.Tadros

"Partially Prestressed concrete structures"

ASCE - Journal of structural engineering, Vol. 111, No.8, August 1985, P.P. 1846-1864

19. Troels Brondum - Nielsen .

"Ultimate Flexural capacity of Fully Prestressed, Partially Prestressed, and NonPrestressed Arbitrary concrete sections under Symmetric bending . "

ACI - Journal, Vol.83, No.1 Jan/Feb. 1986 , P.P. 29-35

20. K. M. Suri and Walter H. Dilger

"Steel stresses in Partially Prestressed concrete members."

PCI - Journal, Vol. 31, No. 3, May/June 1986, P.P.88-113

21. Brian C. Skogman, Maher K. Tadros and Ronald Grasmick.

"Flexural strength of Prestressed concrete members."

PCI - Journal , Vol. 33 , No.5, Sep/Oct 1988 , P.P.96-123

22. Robert E. Loov

"A General Equation for the steel stresses for bonded prestressed concrete members."

PCI - Journal, Vol. 33, No.6, Nov./Dec. 1988 P.P.108-137

23. Amin Ghali .

"A unified approach for serviceability design of Prestressed and nonprestressed reinforced concrete structures ."

PCI - Journal, Vol. 31, No. 2, March / April 1986, P.P.118-135

24. Troels Brondum - Nielsen

"Serviceability limit state Analysis of cracked Partially Prestressed or Reinforced sections under Symmetric loading. "

ACI - Journal, Vol.83, No.4, July / Aug. 1986, P.P.547-552 .

25. Antoine E. Naaman.

"An Approximate Nonlinear Design Procedure for Partially Prestressed concrete beams ."

Computers and structures, Vol. 17, No. 2, 1983 P.P.287-299 .

26. Hugo Bachmann .

"Prestressed concrete structures based on Swiss - Experiences . "

PCI - Journal, Vol. 29 , No. 4, July/Aug. 1984, P.P.84-97

27. A. S. G. Bruggeling

"Partially Prestressed concrete structures - A Design challenge ."

PCI - Journal, Vol. 30, No. 2, March / April 1985, P.P.140-170 .

28. David N. Peterson and Maher k.Tadros.
"Simplified Flexural Design of Partially prestressed concrete members . "
PCI - Journal, Vol. 30, No. 3, May/June 1985, P.P.50-69
29. Metric design Manual
Precast and Prestressed concrete
Canadian Prestressed Concrete Institute
1987 second Edition .
30. M. Z. cohn, and M. Bartlett .
"Computer - simulated Flexural Tests of Partially Prestressed concrete sections . "
ASCE. Journal of structural Division .
Vol. 108, No. ST12, December 1982, P.P. 2747 - 2765
31. Antoine E. Naaman
"Prestressed concrete - Analysis and Design. "
Mc Graw - Hill 1982
32. Nigel cooke, Robert Park, and Philip Yong
"Flexural strength of Prestressed Concrete Members with Unbonded Tendons . "
PCI - Journal, Vol. 26, No.6, Nov./Dec. 1981, P.P.52-80
33. Edward G. Nawy and P.T. Huang
"Crack and Deflection control of Pretensioned Prestressed Beams . "
PCI - Journal, Vol. 22, No.3, May/June 1977, P.P. 31-47
34. ACI Committee 318, "Building code Requirements for Reinforced concrete (ACI - 318-83) "
American concrete Inistutue, Detroit, Michigan .
35. CEB - FIP Joint commetiee, International Recommendations for the Design and construction of concrete structures,
Cement and concrete Asociation, London, June 1970

ABSTRACT

The behaviour and ultimate strength of bonded post-tensioned partially prestressed concrete beams with partial prestressing ratio varying from zero to one is considered.

Fourteen rectangular beams 175X350mm in cross section, simply supported on 3000mm span and loaded at third points and tested to failure.

They were divided into four groups to study the effects of varying the amounts of prestressed and nonprestressed reinforcement, different levels of partial prestressing ratio (PPR) at constant ultimate strength and the serviceability behaviour for crack width equal to 0.3mm.

Test results show that the increase of 50% of nonprestressed reinforcement resulted in an increase of 13% in the ultimate strength.

It was also found that the increasing of the percentage of nonprestressed steel resulted in a decrease in the crack width, crack spacing, and the bending moment causing 0.3mm crack width.

Comparison of results obtained as well as other available results with four of the analytical methods showed that the methods give similar results, but Naaman's method appear to be the most appropriate.

The most conservative method to describe ductility was that presented in the 1986 supplement to ACI 318-83 commentary.

THE BEHAVIOUR AND ULTIMATE
STRENGTH OF PARTIALLY PRESTRESSED
CONCRETE BEAMS

ATHESIS

SUBMITTED TO THE DEPARTMENT OF BUILDING AND
CONSTRUCTION ENGINEERING
UNIVERSITY OF TECHNOLOGY - BAGHDAD - IRAQ

IN PARTIAL FULFILLMENT TO THE REQUIREMENTS FOR
THE DEGREE OF THE MASTER OF SCIENCE IN STRUCTU-
RAL ENGINEERING

BY

ALAN S. ABDUL RAHMAN

SEPTEMBER 1989